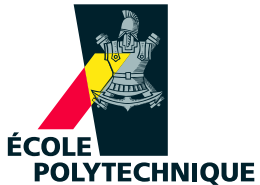


Lecture 4: Proximity search

INF562, 28 janvier 2014

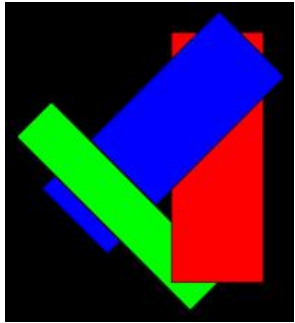
Luca Castelli Aleardi



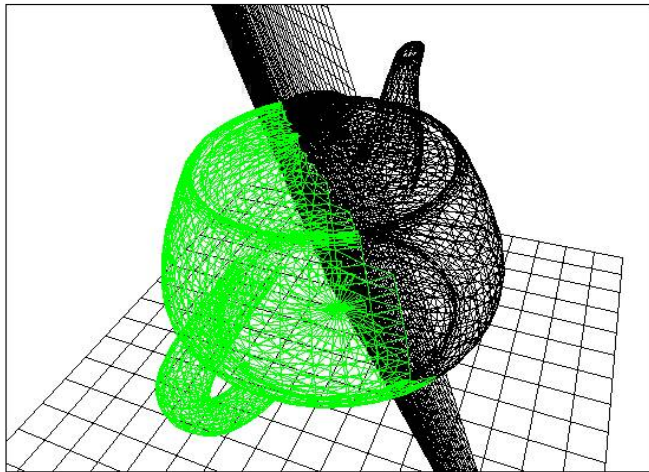
Motivation

Geometric proximity search: applications

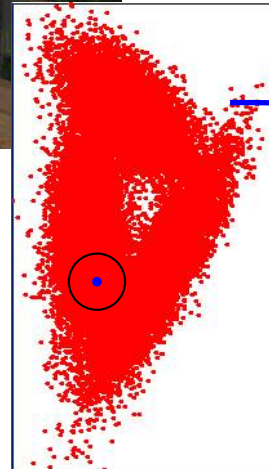
Painter's algorithm



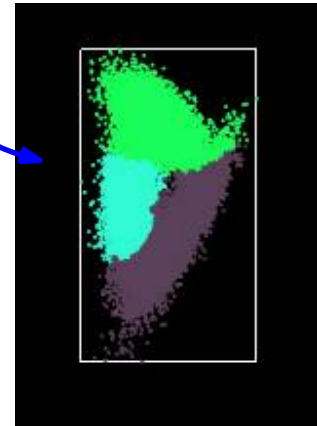
BSP for 3D rendering
(Doom)



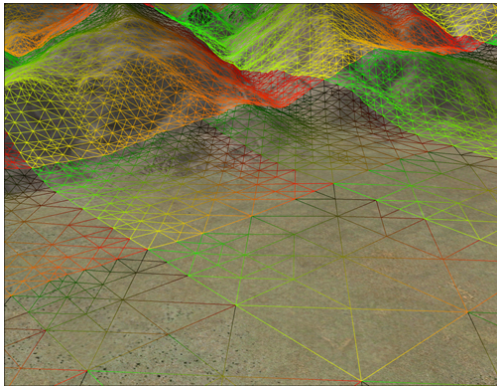
Collision detection



Clustering

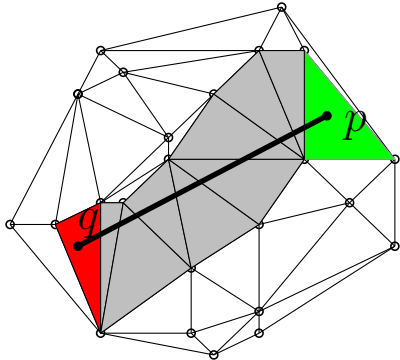
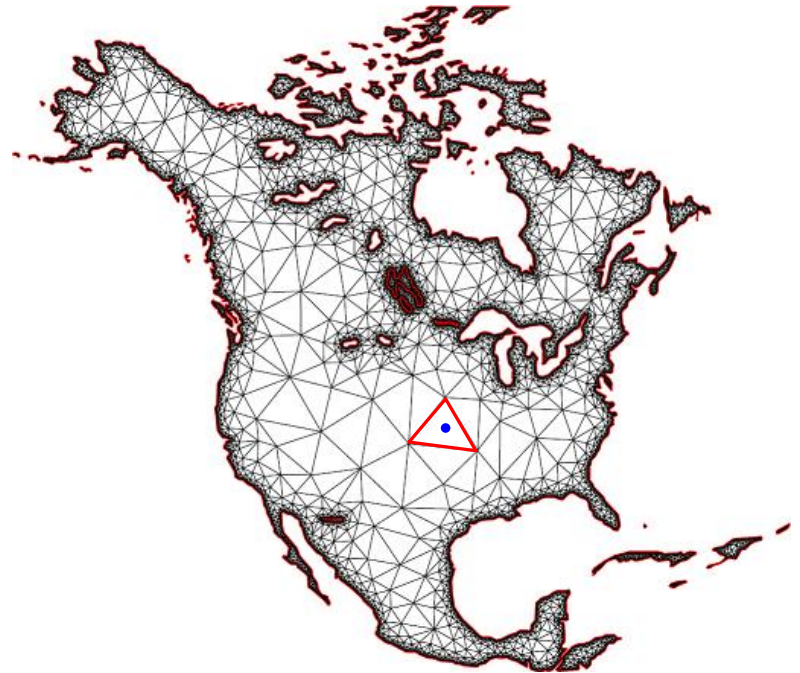


Planar point location: geographic localisation

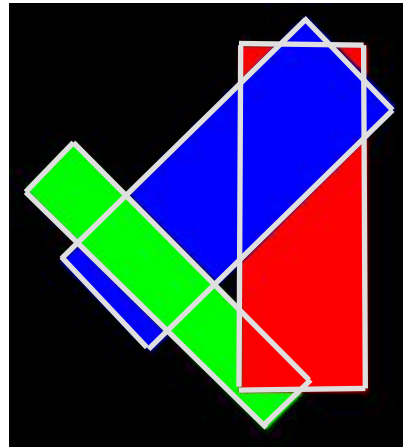
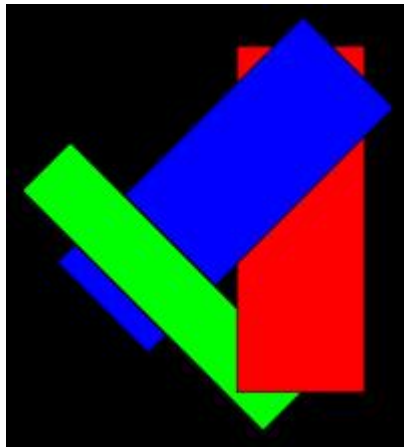


MS flight simulator

Maillage de L. Rineau, M.
Yvinec



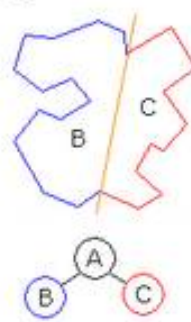
Binary space partitions: painter's algorithm



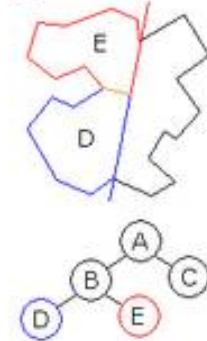
1.



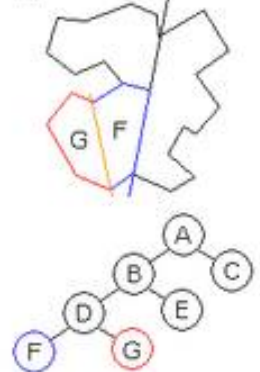
2.



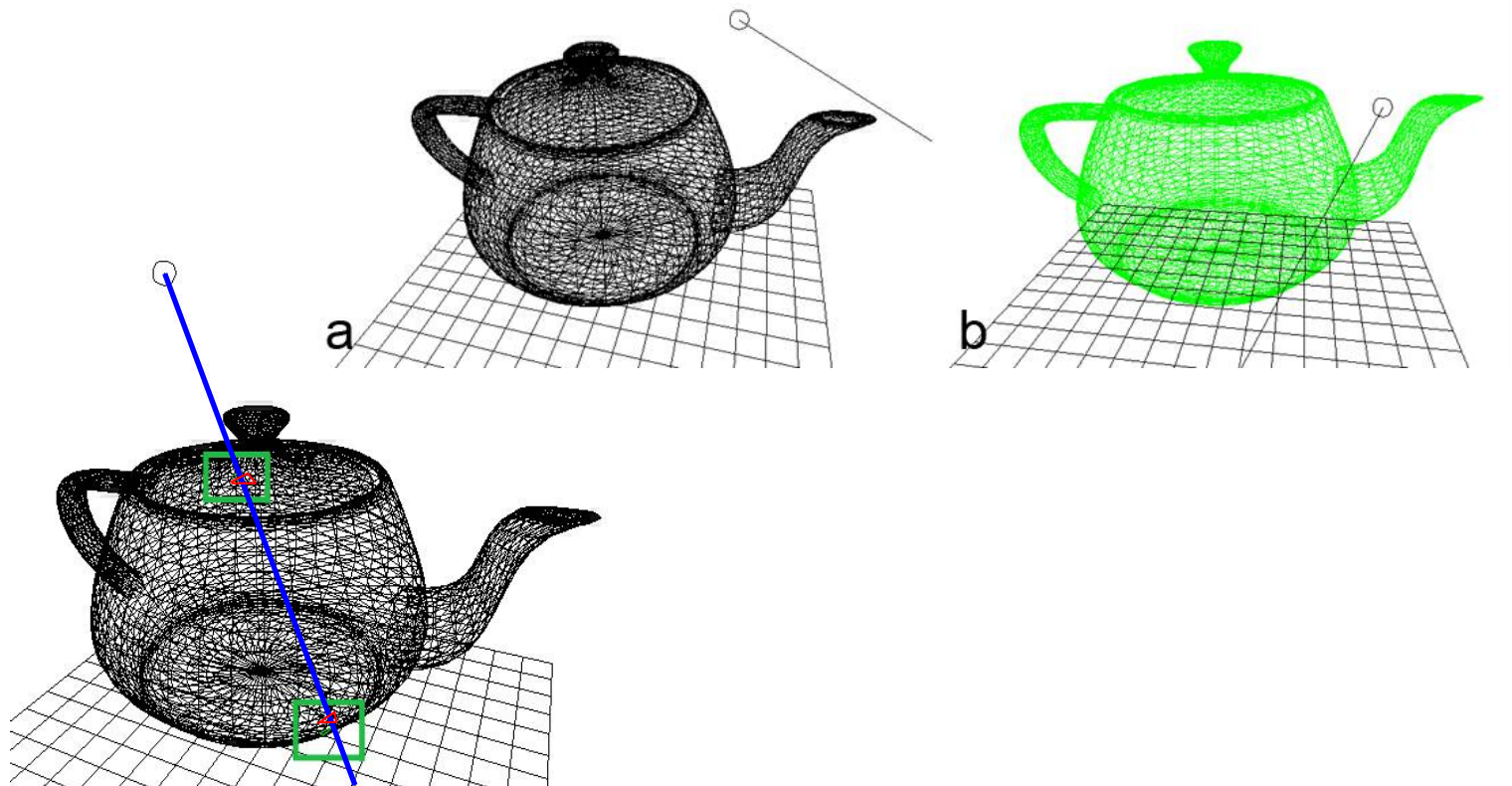
3.



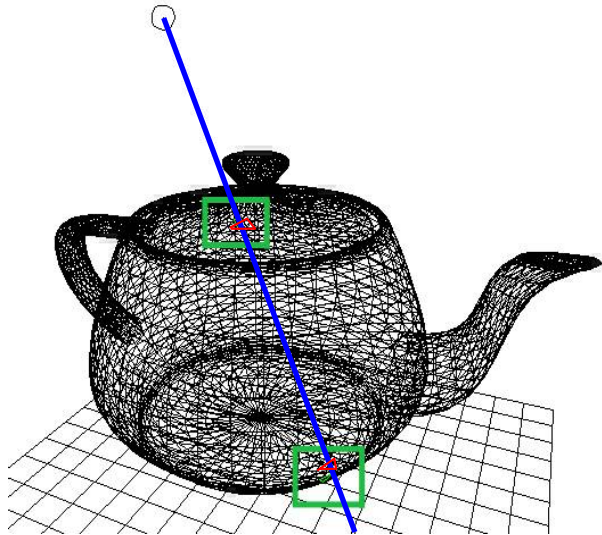
4.



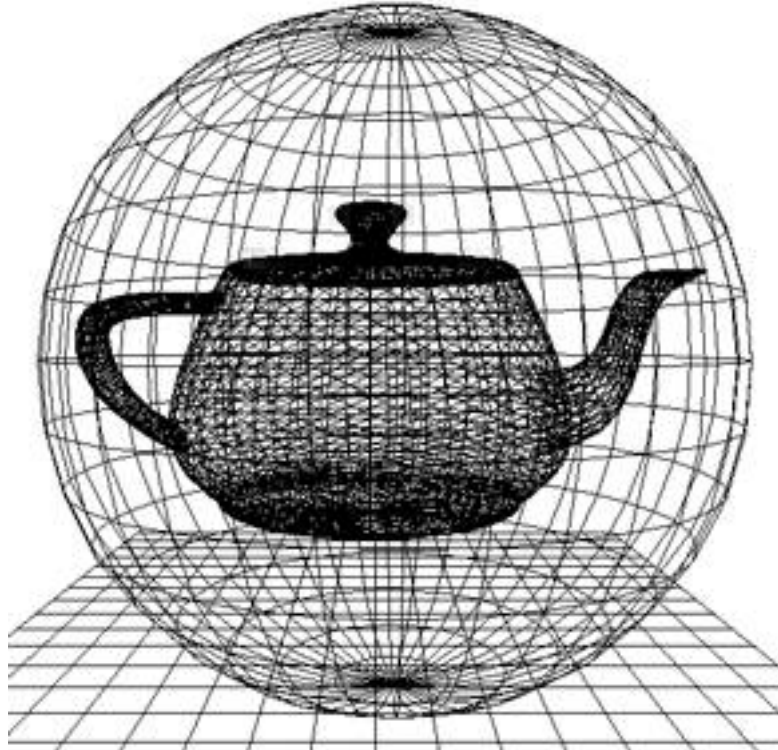
Binary space partitions: ray tracing, collision detection



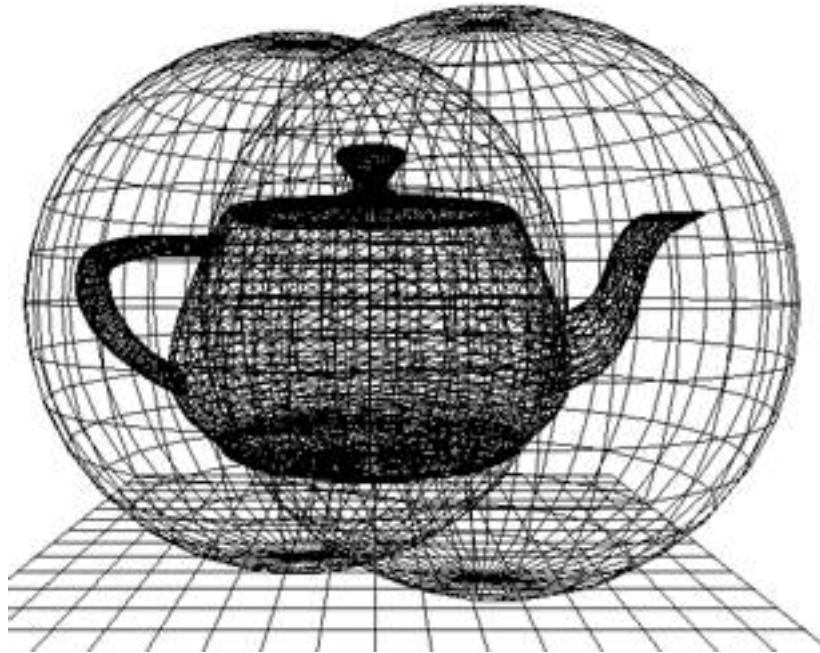
Binary space partitions: ray tracing, collision detection



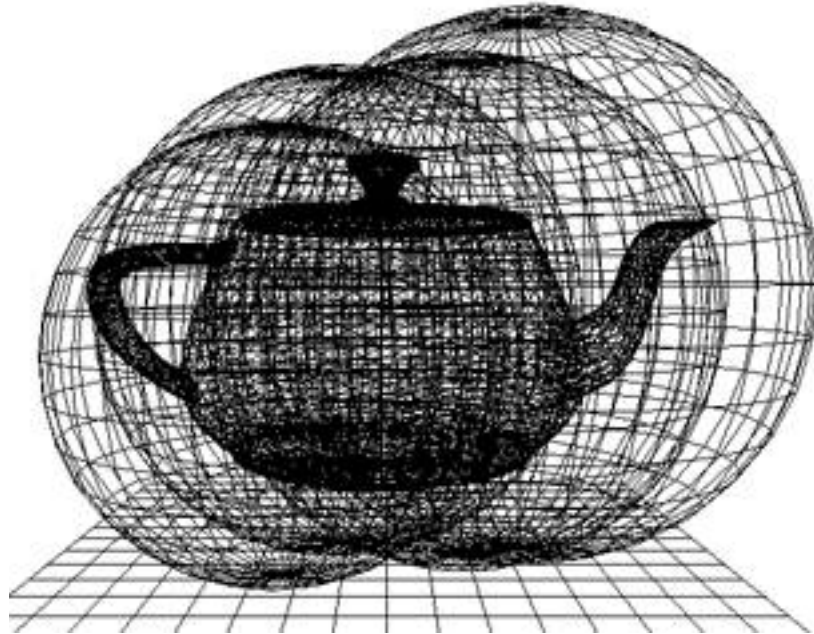
Binary space partitions: ray tracing, collision detection



Binary space partitions: ray tracing, collision detection



Binary space partitions: ray tracing, collision detection



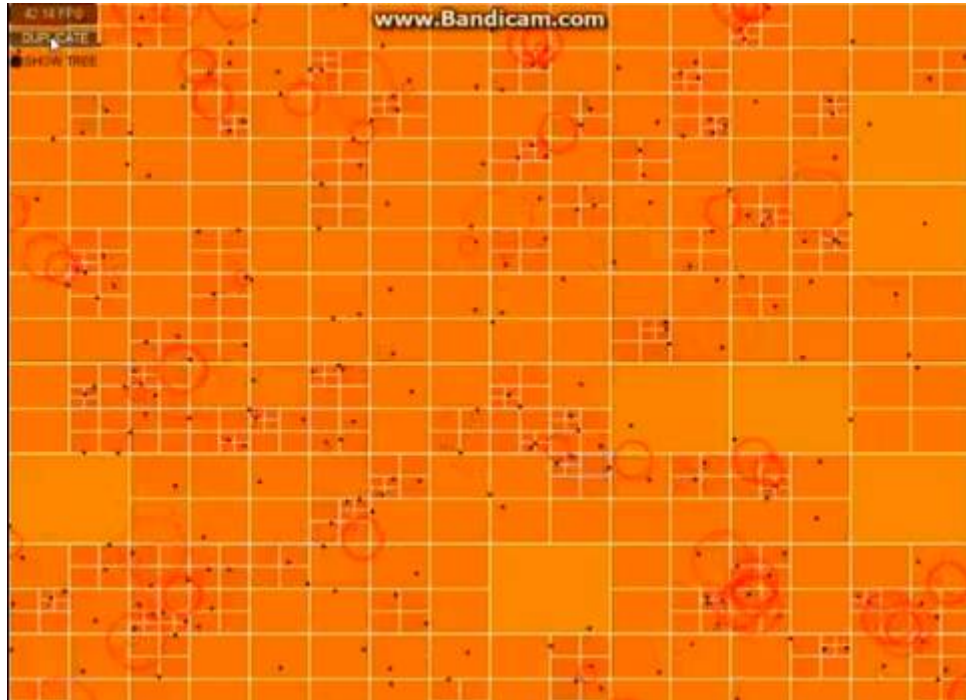
Collision detection in 2D

Balls: 623
Calculations: 0
Quad-tree Nodes: 0

FPS: 37



Collision detection in 2D



Nearest neighbor search (Kd-Trees)

Clustering et segmentation d'images

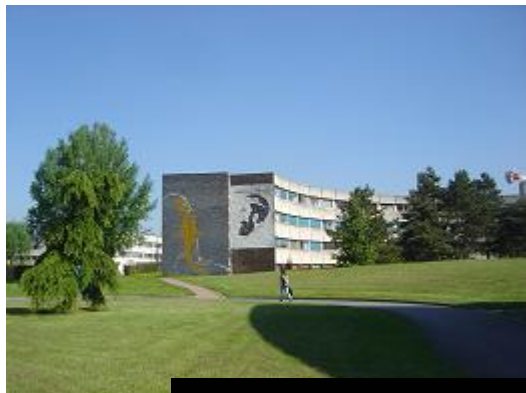


segmentation

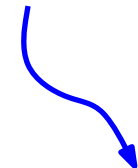


Nearest neighbor search (Kd-Trees)

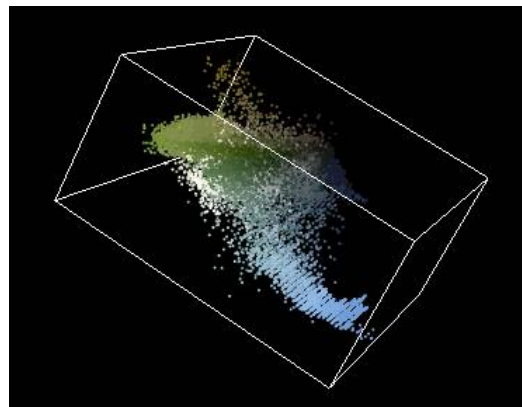
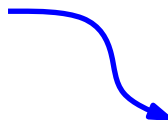
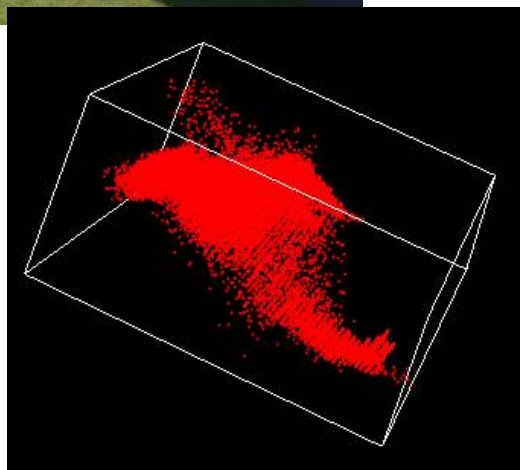
Clustering et segmentation d'images



segmentation

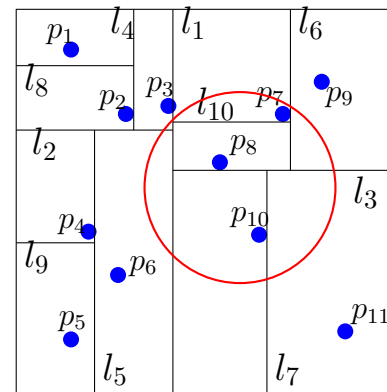
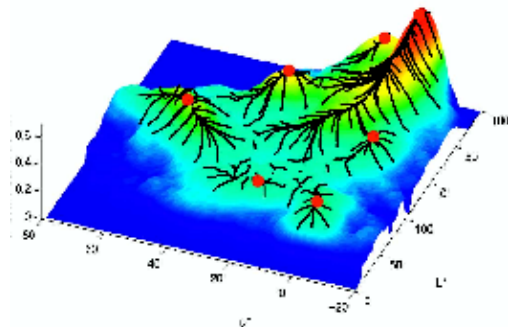
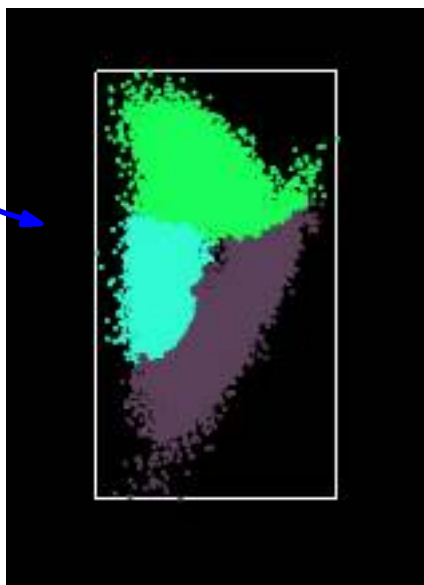
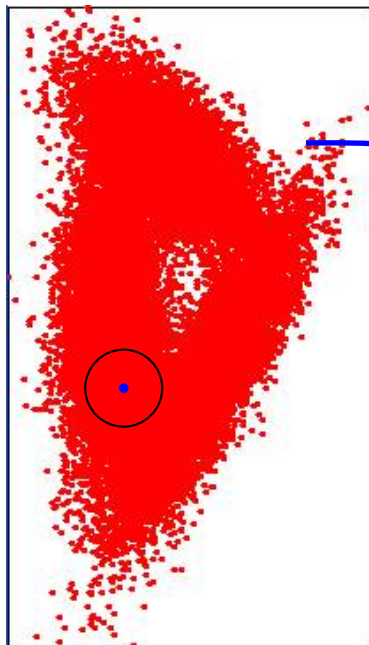


Luv



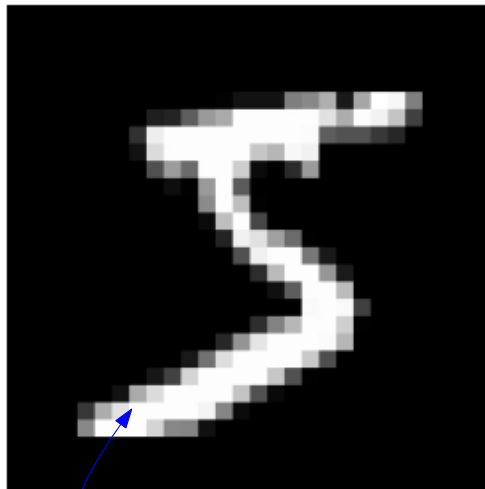
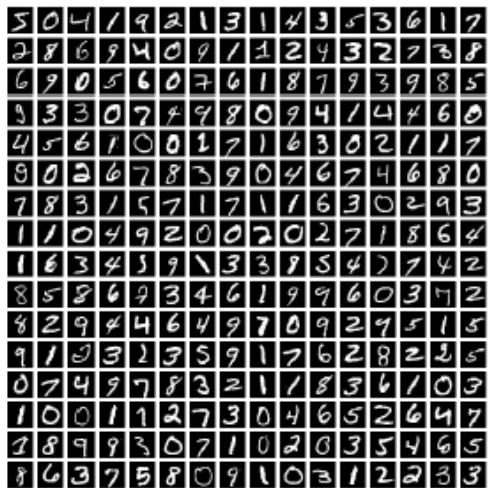
Nearest neighbor search (Kd-Trees)

Clustering et segmentation d'images

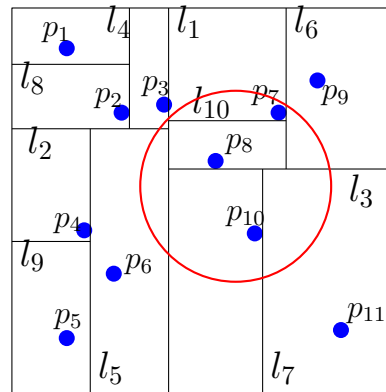


K-Nearest neighbors (Kd-Trees)

Pattern recognition (OCR)



$$p_i \in 256^{28 \times 28}$$

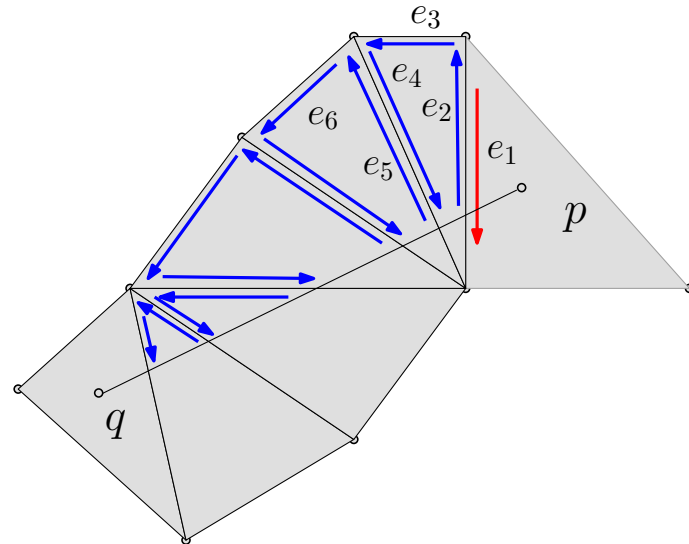
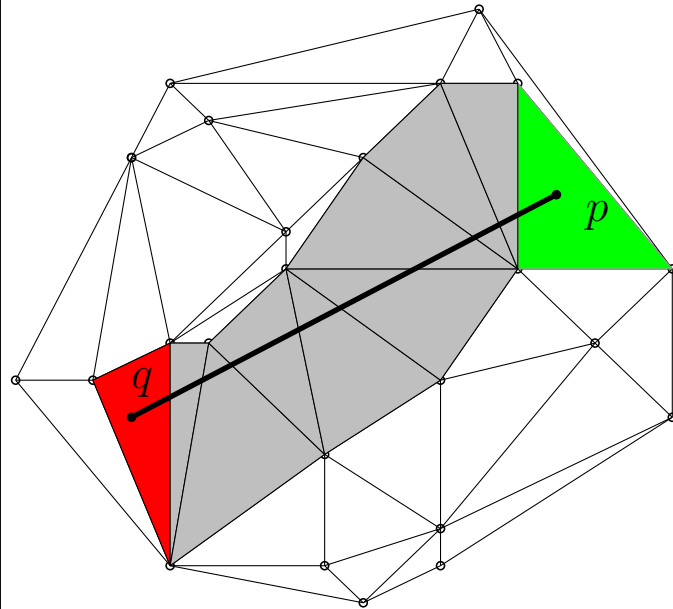


Part I: planar point location

Point location in planar subdivisions

(visibility walk)

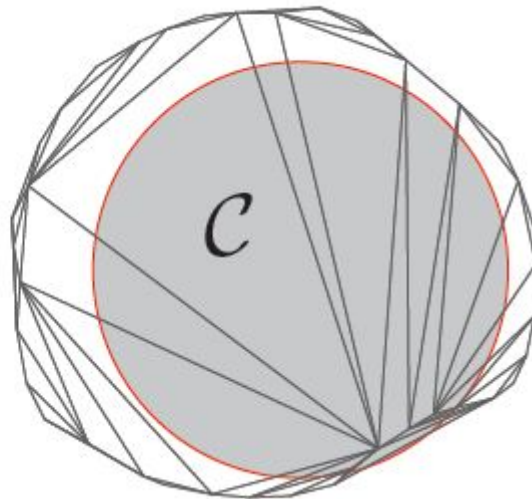
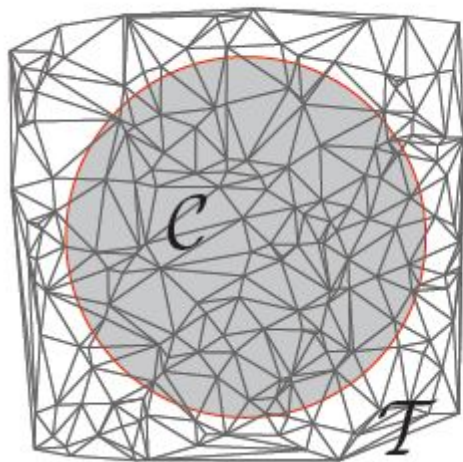
complexité $\mathbf{O}(\sqrt{n})$



Point location in planar subdivisions

(visibility walk)

complexité $\mathbf{O}(\sqrt{\mathbf{n}})$



Point location in planar subdivisions

(Jump and Walk)

$$k = n^{\frac{1}{d+1}}$$

complexity $O(n^{1/3})$

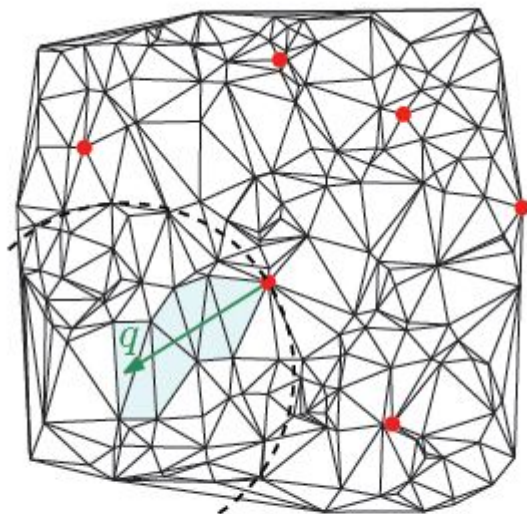


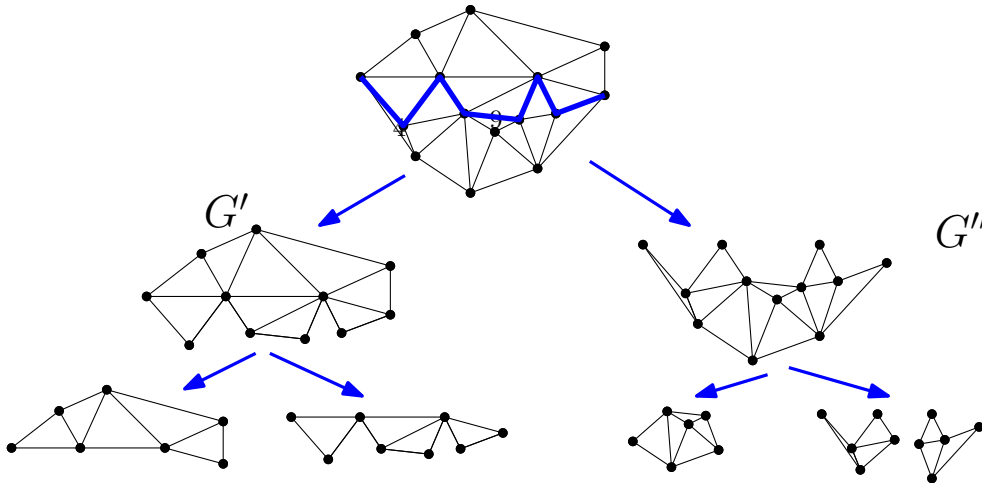
Figure 5: **Jump & Walk.** *The walk starts from the nearest landmark (represented by dots above) with respect to the query. Then it ends at the cell containing the query.*

Point location in planar subdivisions

$O(\log^2 n)$

Thm (Edelsbrunner, Guibas, Stolfi)

Etant donnée une triangulation planaire de taille n , on peut effectuer la localisation d'un point en temps $O(\log^2 n)$, la construction de la structure de données se faisant en espace $O(n^2)$.



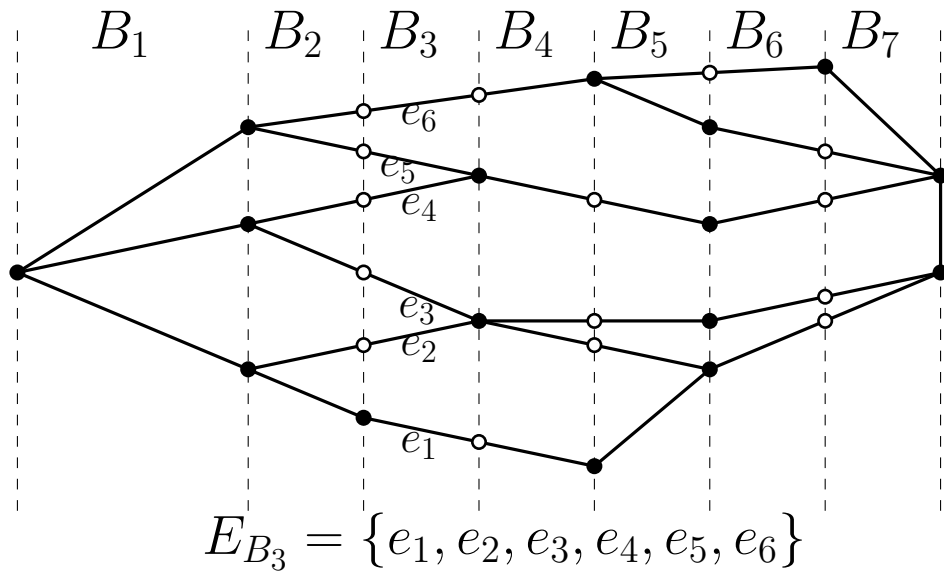
Methode du *Slab*

Methode du *Slab*

$O(\log n)$

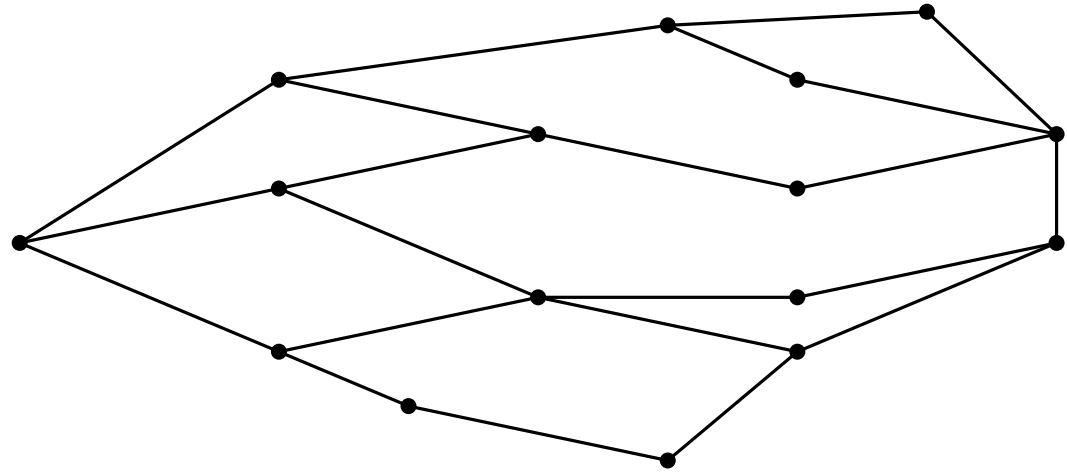
Thm (Dobkin, Lipton '76)

Etant donnée une subdivision planaire de taille n , on peut effectuer la localisation d'un point en temps $O(\log n)$, la construction de la structure de données se faisant en temps $O(n^2 \log n)$. La taille de la structure est $O(n^2)$.



Methode du *Slab*

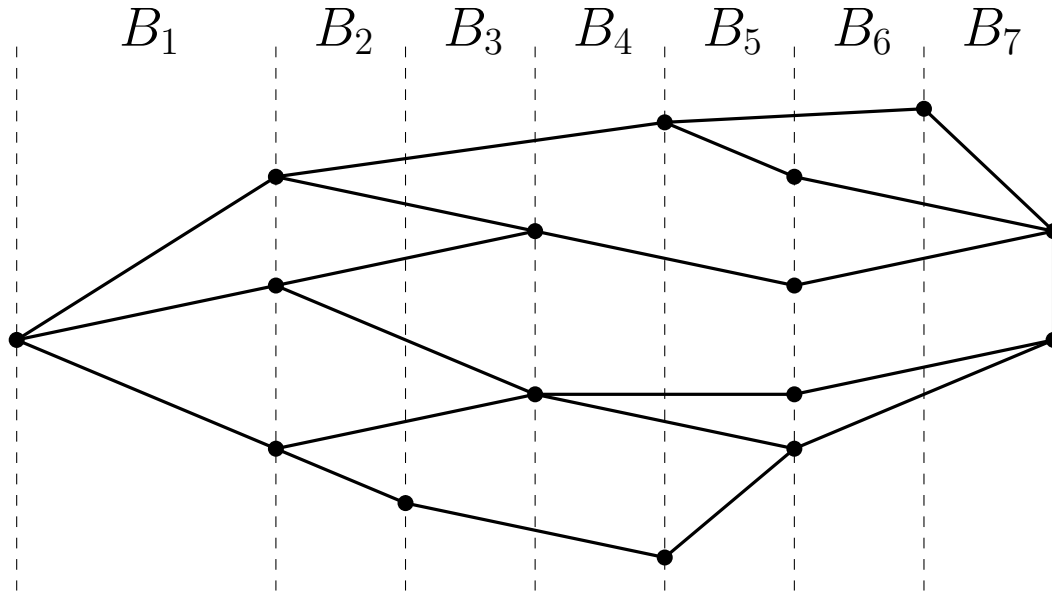
$O(n)$ sommets, faces et aretes



Methode du *Slab*

$O(n)$ bandes verticales

$O(n)$ sommets, faces et aretes

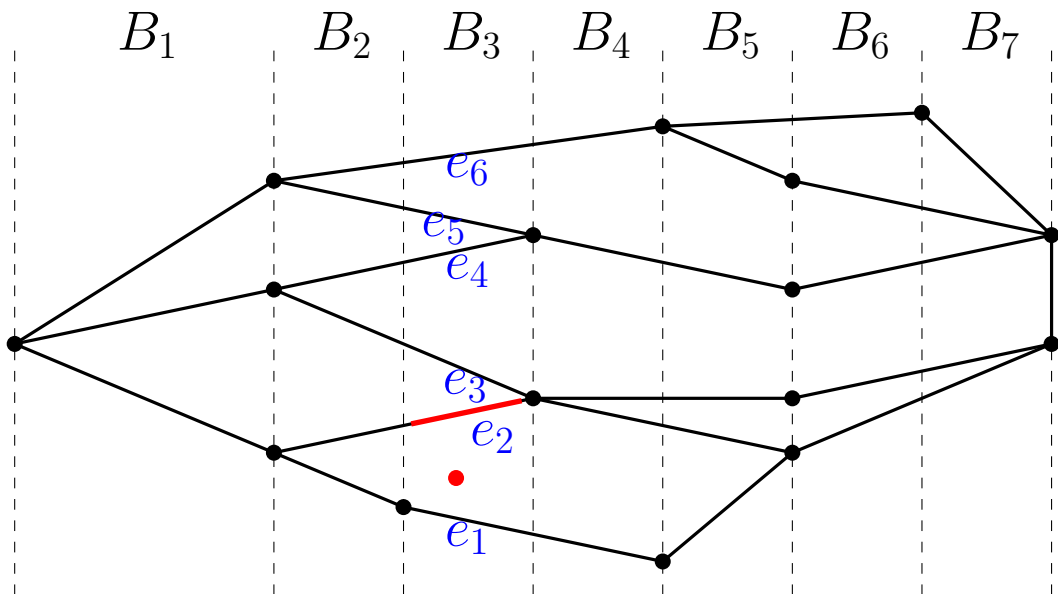


Methode du *Slab*

$O(n)$ aretes et faces dans chaque bande

$O(n)$ bandes verticales

$O(n)$ sommets, faces et aretes



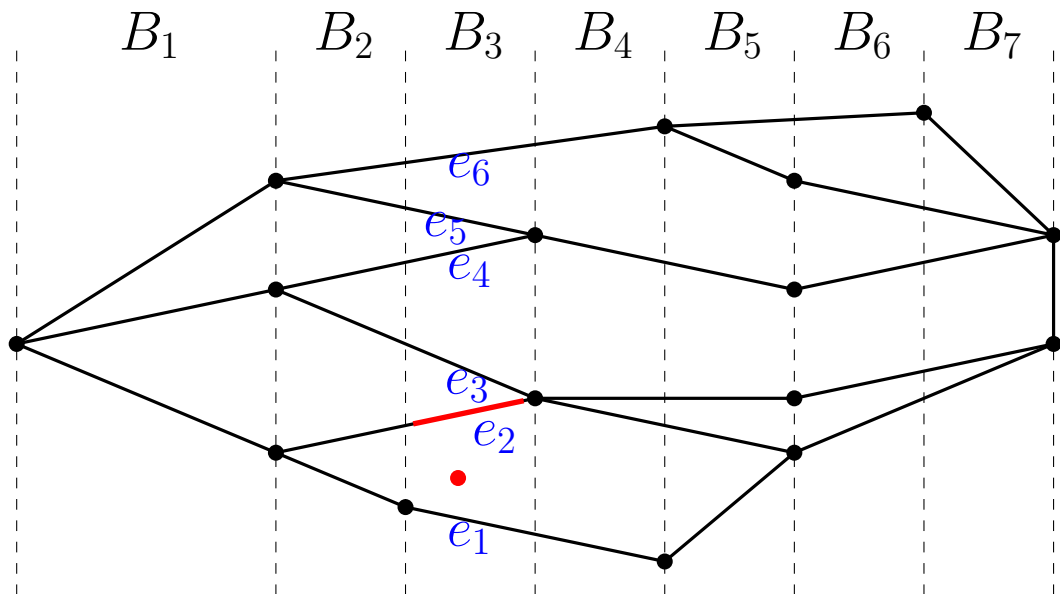
$$E_{B_3} = \{e_1, e_2, e_3, e_4, e_5, e_6\}$$

Methode du *Slab*

$O(n)$ aretes et faces dans chaque bande

$O(n)$ bandes verticales

$O(n)$ sommets, faces et aretes



$$E_{B_3} = \{e_1, e_2, e_3, e_4, e_5, e_6\}$$

temps $O(\log n)$ pour localiser B_3

temps $O(\log n)$ pour localiser e_2 dans E_{B_3}

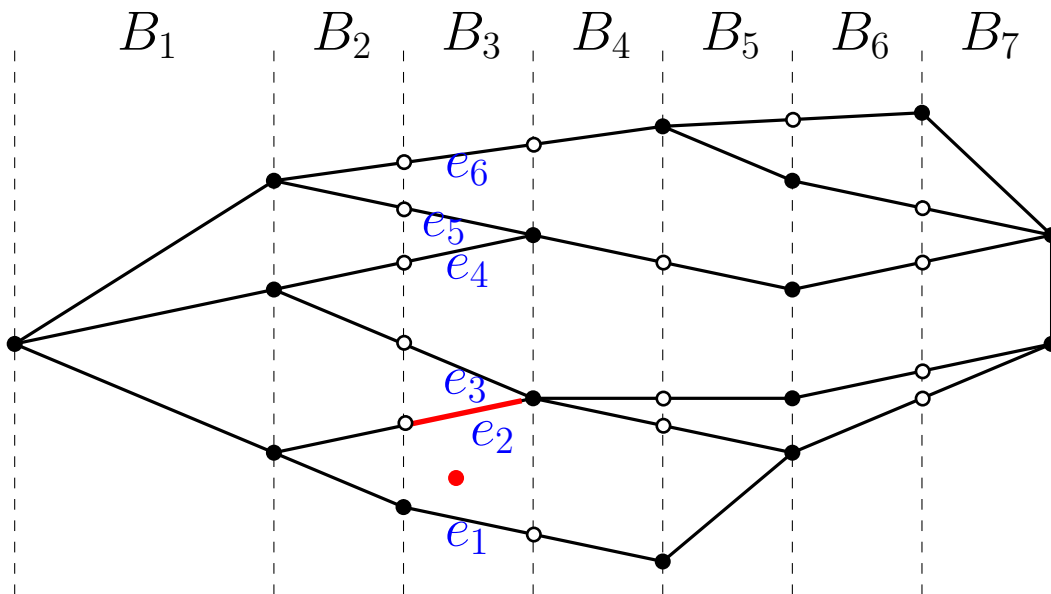
Methode du *Slab*

quadratic space in worst case

$O(n)$ aretes et faces dans chaque bande

$O(n)$ bandes verticales

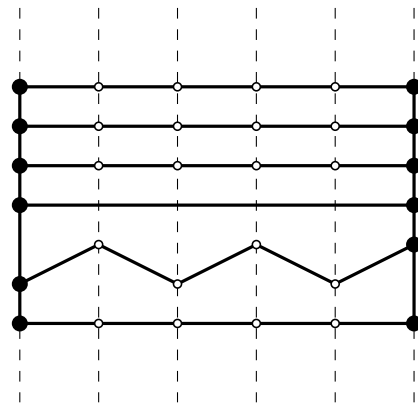
$O(n)$ sommets, faces et aretes



$$E_{B_3} = \{e_1, e_2, e_3, e_4, e_5, e_6\}$$

la subdivision S' est de taille $O(n^2)$

$O\left(\frac{n}{4}\right)$ faces

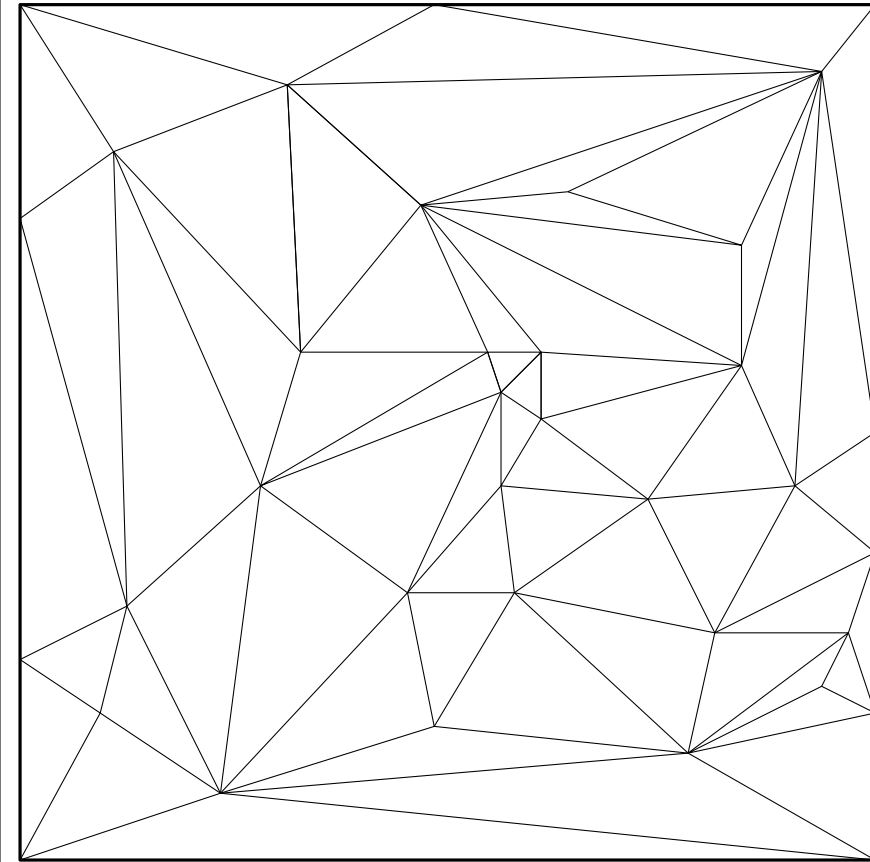


$\frac{n}{4}$ bandes verticales

Quad trees and planar point location

Quad trees and planar point location

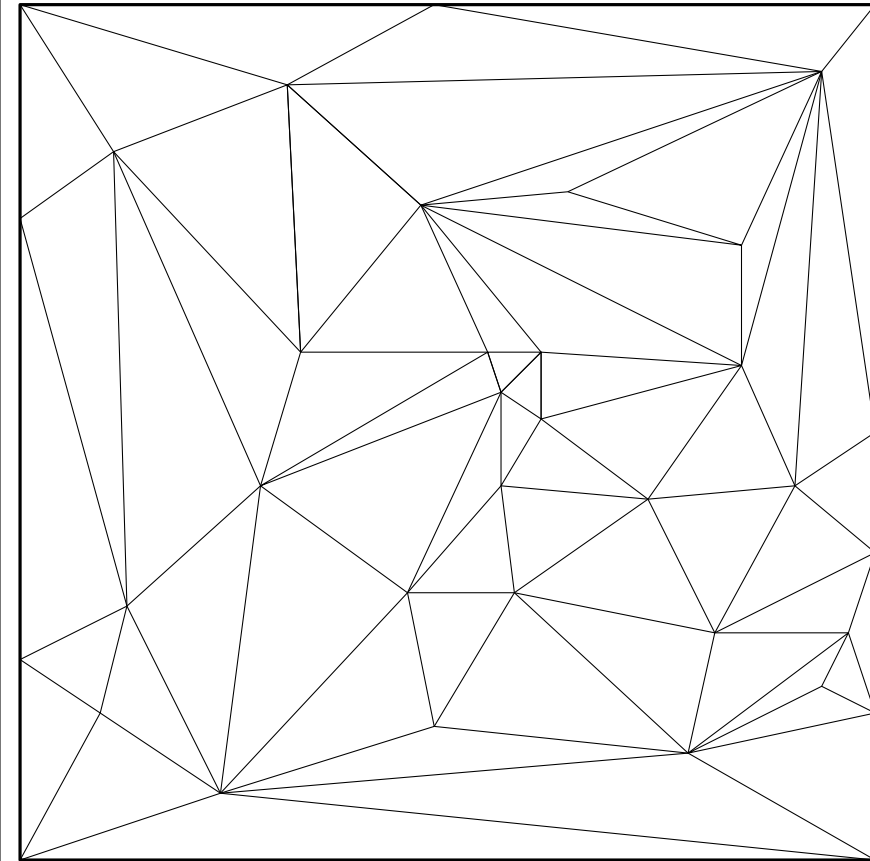
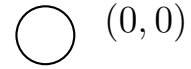
(some images are by S. Oudot)
(following Har-Peled's notes)



$(0,0)$

Quad trees and planar point location

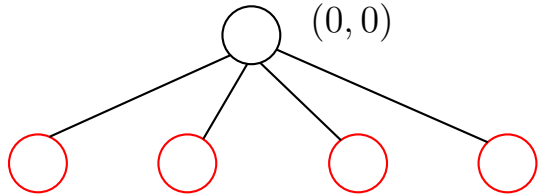
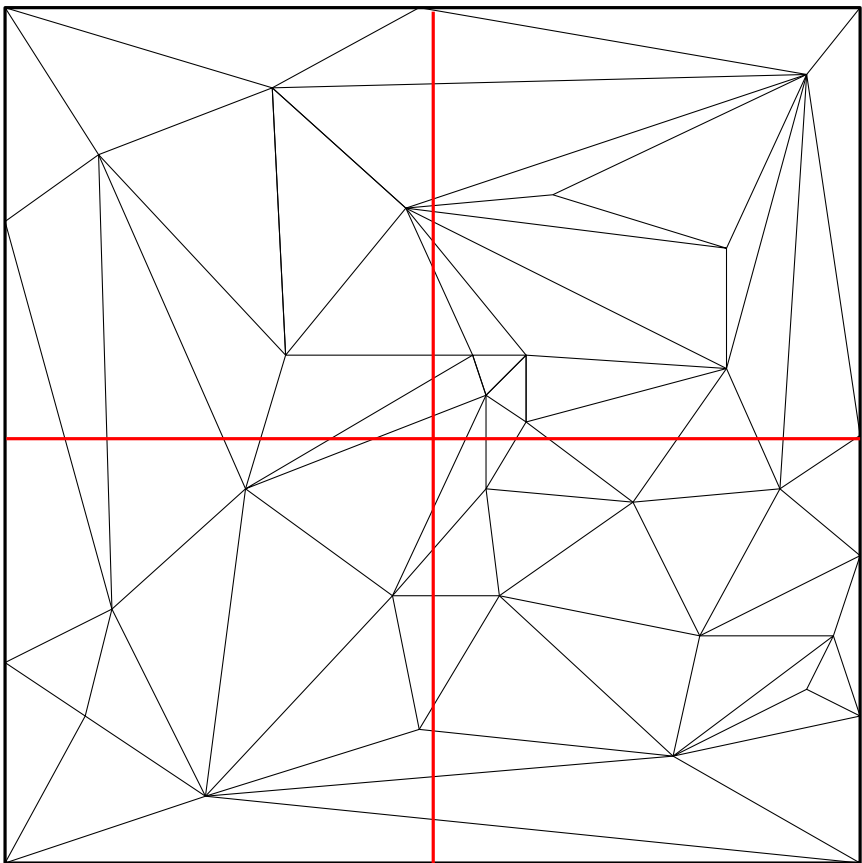
(some images are by S. Oudot)
(following Har-Peled's notes)



$(0,0)$

Quad trees and planar point location

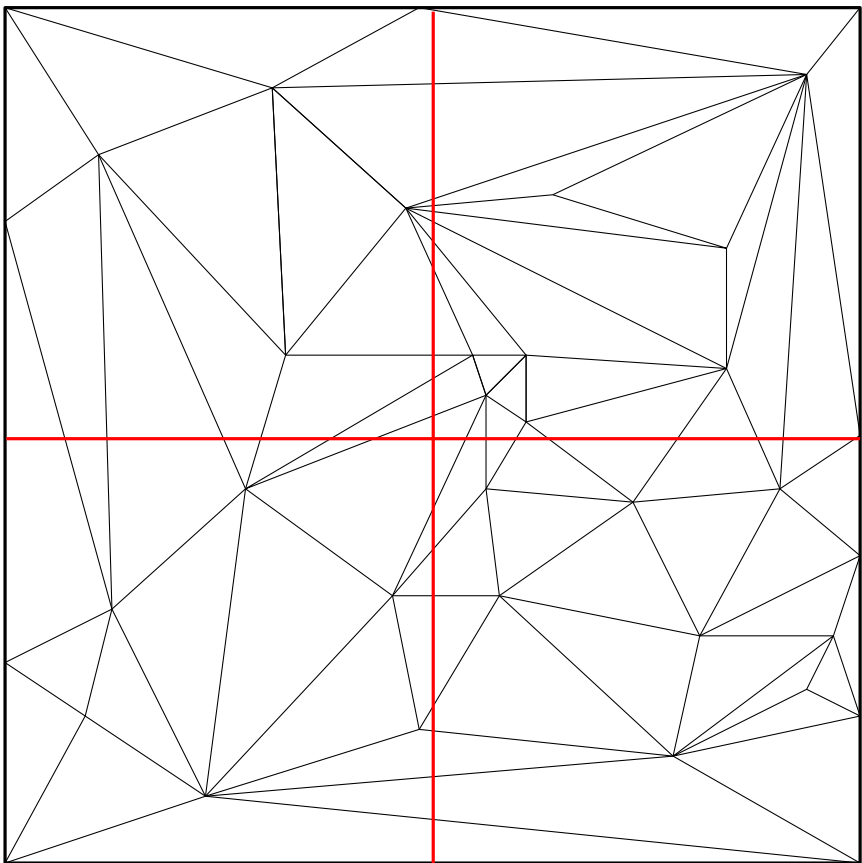
(some images are by S. Oudot)
(following Har-Peled's notes)



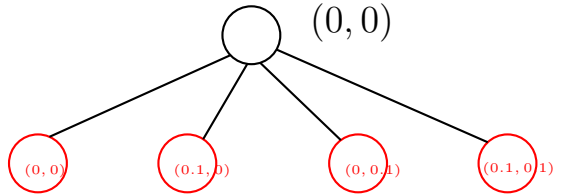
$(0,0)$

Quad trees and planar point location

(some images are by S. Oudot)
(following Har-Peled's notes)

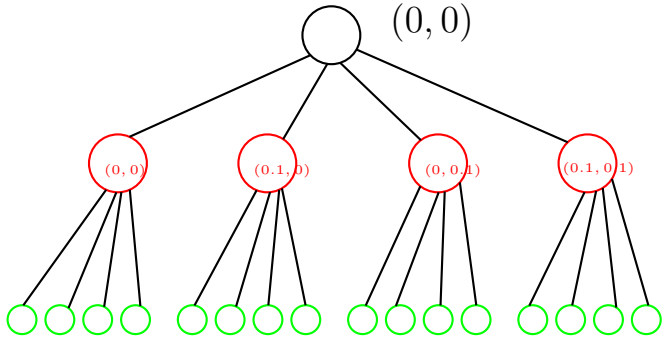
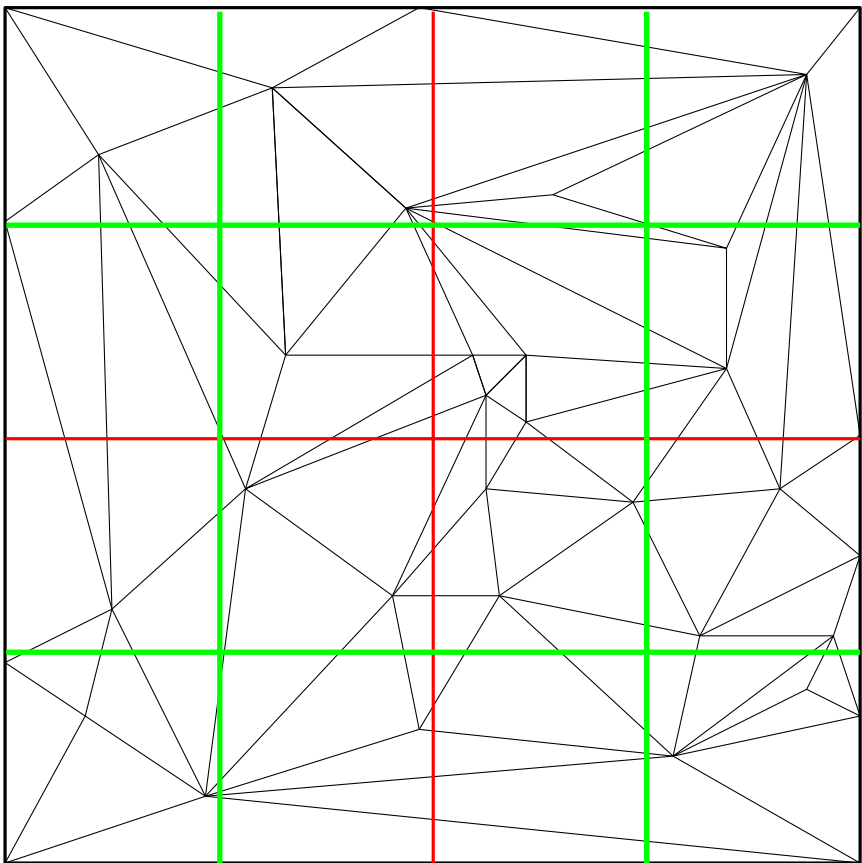


$(0,0)$



Quad trees and planar point location

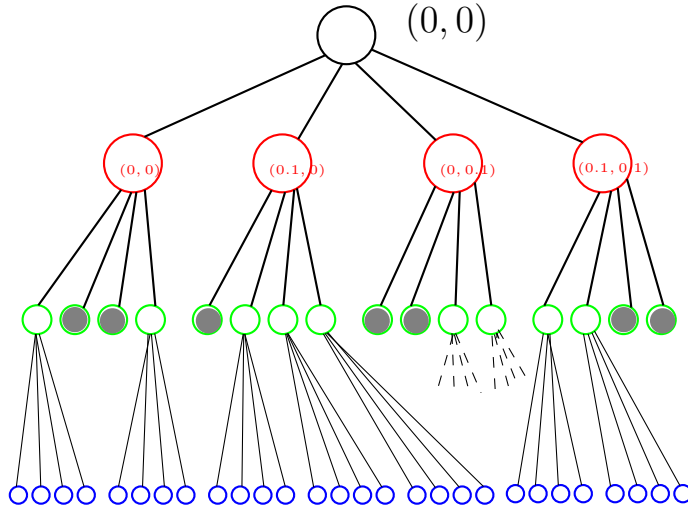
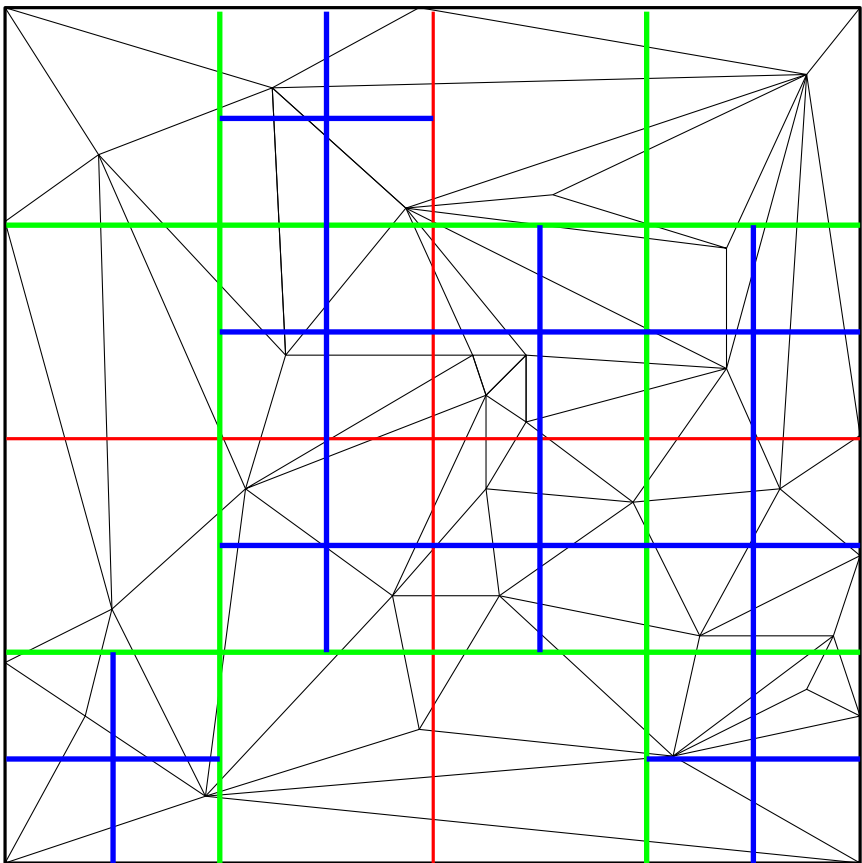
(some images are by S. Oudot)
(following Har-Peled's notes)



(0,0)

Quad trees and planar point location

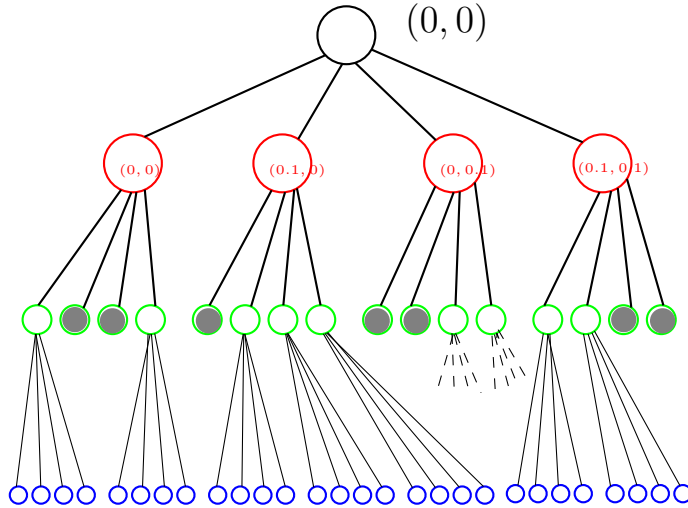
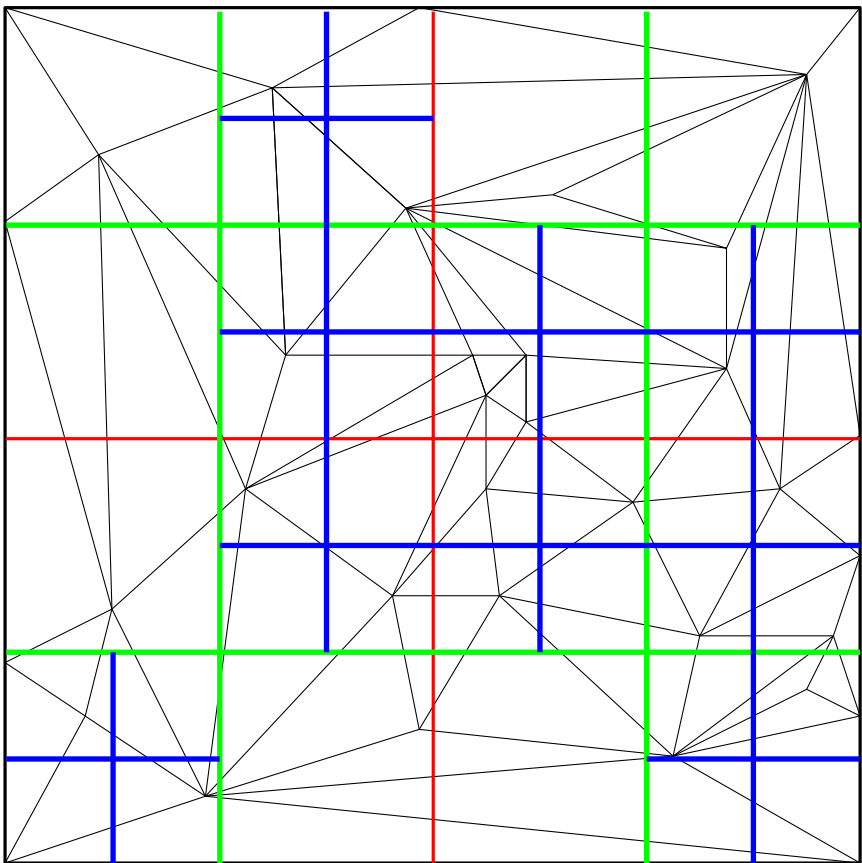
(some images are by S. Oudot)
(following Har-Peled's notes)



(0,0)

Quad trees and planar point location

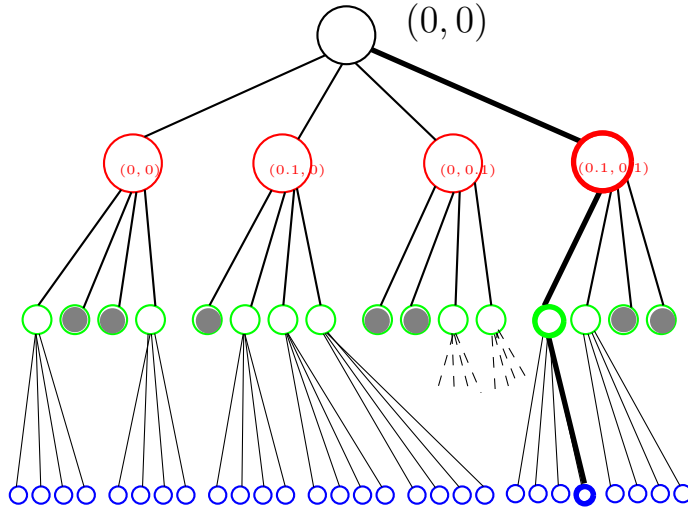
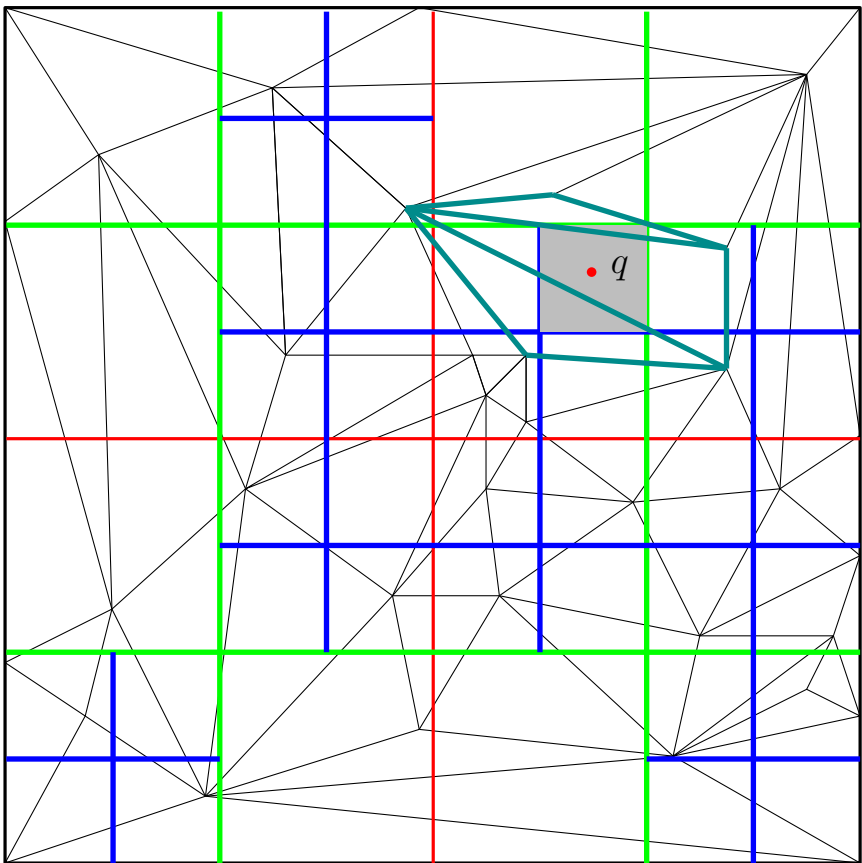
(some images are by S. Oudot)
(following Har-Peled's notes)



Idea: *construct a quaternary tree
where leaves intersect at most C triangles*

Quad trees and planar point location

(some images are by S. Oudot)
(following Har-Peled's notes)



How to perform *point location*:

- Search in the quadtree node v (a leaf)
- search among triangles intersected by \square_v

requires $O(C + h)$ time

h is the *depth of the tree*

(some images are by S. Oudot)

(following Har-Peled's notes)

Quad trees and planar point location

Use *geometric hashing* to speed-up the search

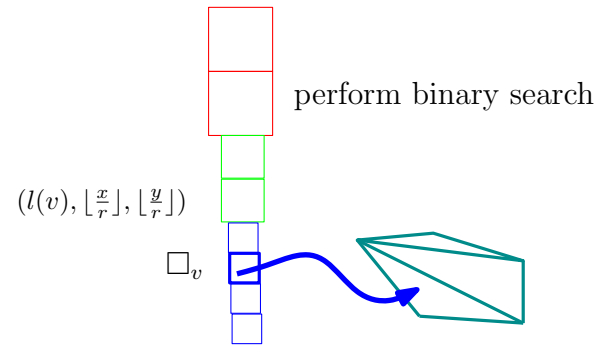
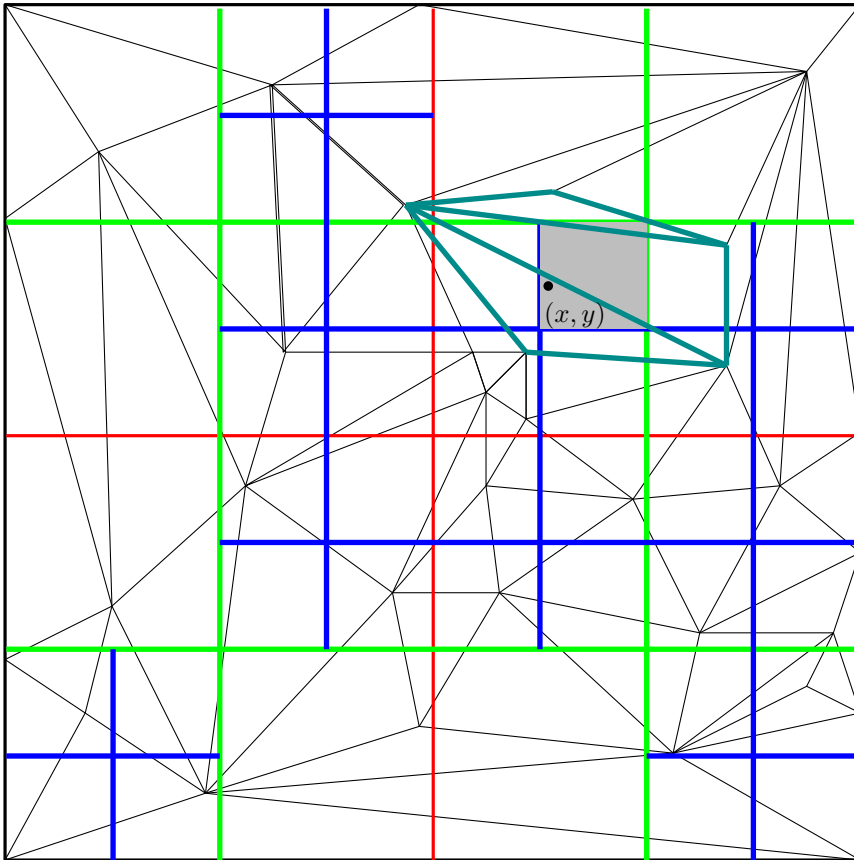
Idea: store every node in an *hash table*

\square_v is a *canonical square* of side 2^{-i}

$l(v) = -i$ is the *level* of node v

Remark: every node can be uniquely identified by

$$id(v) = (l(v), \lfloor \frac{x}{r} \rfloor, \lfloor \frac{y}{r} \rfloor)$$



requires $O(\log h)$ time

$O(\log \log n)$ time , when $h = O(\log n)$

Hierarchical triangulations

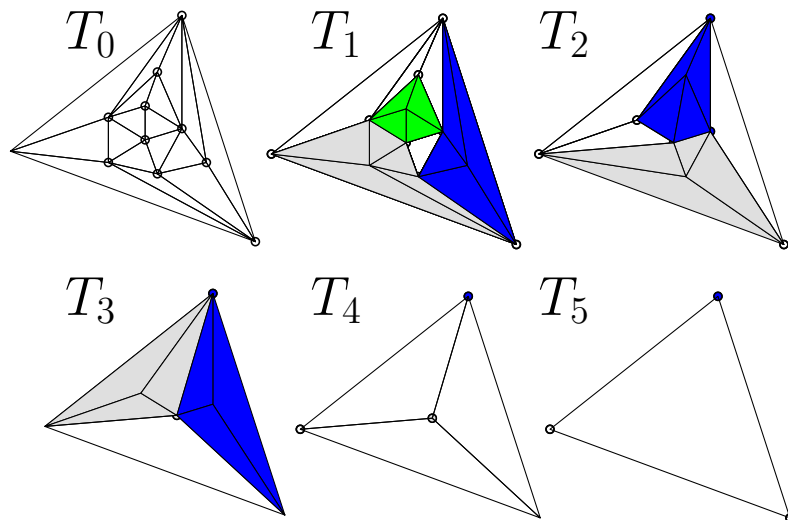
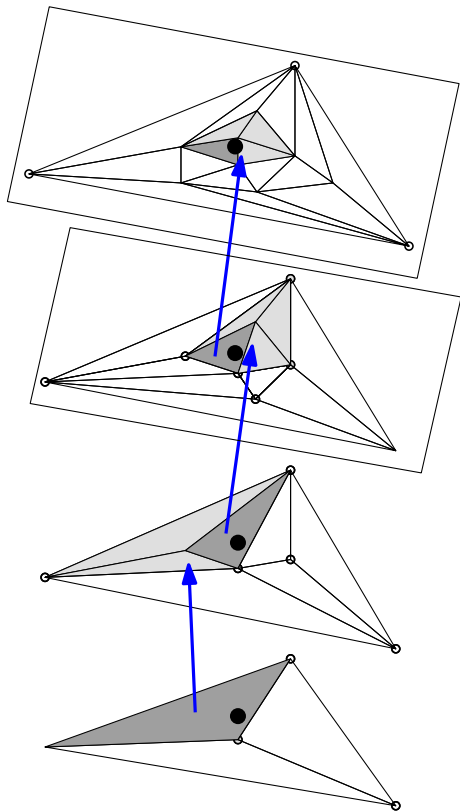
planar point location in optimal time and space

Hierarchical triangulations

Hierarchical triangulations

Thm (Kirkpatrick, '83)

*Etant donnée une triangulation planaire de taille n ,
la localisation d'un point se fait:
en temps $O(\log n)$, **espace** $O(n)$*



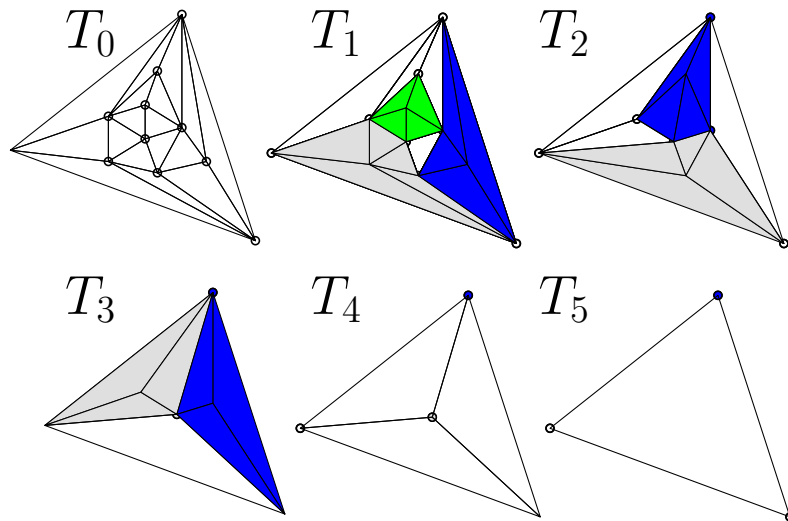
Hierarchical triangulations

Thm (Kirkpatrick, '83)

*Etant donnée une triangulation planaire de taille n ,
la localisation d'un point se fait:
en temps $O(\log n)$, **espace** $O(n)$*

Idea: *construct a sequence of triangulations T_0, T_1, \dots, T_k*

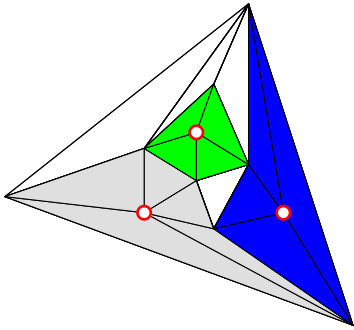
- $T_0 = \mathcal{T}$
- $k = O(\log n)$
- $|T_k| = 1$
- $T_{i+1} = T_i \setminus E_{ind}^i$



Hierarchical triangulations

Lemme 1 (ensemble independants)

Il existe un ensemble independant de sommets de taille au moins $\frac{n}{18}$, chaque sommet ayant degré au plus 8.



$$e = 3n - 6 \quad \sum_v \deg(v) = (2e) = 6n - 12$$

(from Euler formula)

Claim

$$|\{\text{sommets } \deg \leq 8\}| \geq \frac{n}{2}$$

$$\sum_{v \in V} \deg(v) = \sum_{v \in V_9} 9 + \sum_{v \in V \setminus V_9} \deg(v) > 9 \frac{n}{2} + 3 \frac{n}{2} = 6n > 6n - 12$$

(contradiction)

$E_{ind} :=$ independent set

$$|E_{ind}| \geq \frac{n}{2} / 9 = \frac{n}{18}$$

Hierarchical triangulations

Lemme 1 (complexité de la structure)

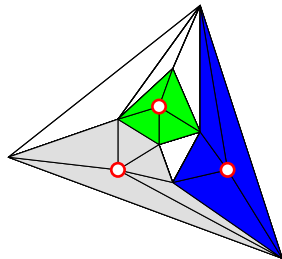
Le nombre de niveaux est $k = O(\log n)$, et le cout de la structure est $O(n)$.

$$T_{i+1} = T_i \setminus E_{ind}^i \qquad |E^i| = \Omega(n)$$

$$|T_i| \leq C|T_{i+1}|$$

$$|T_0| \leq C^k$$

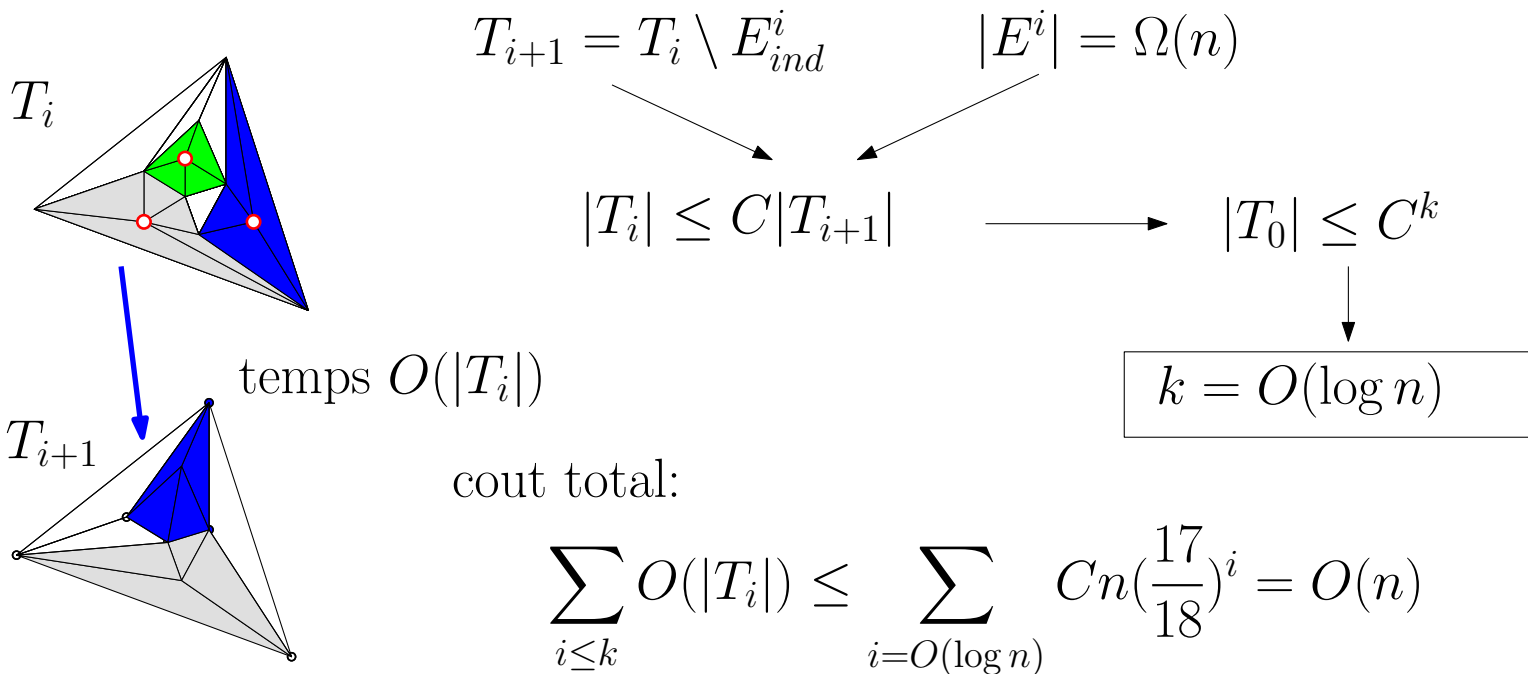
$$k = O(\log n)$$



Hierarchical triangulations

Lemme 1 (complexité de la structure)

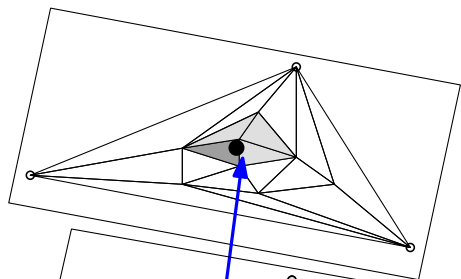
Le nombre de niveaux est $k = O(\log n)$, et le cout de la structure est $O(n)$.



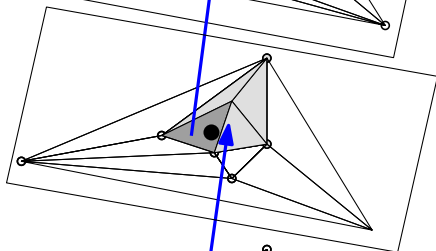
Hierarchical triangulations

Lemme 3 (complexité de la localisation)

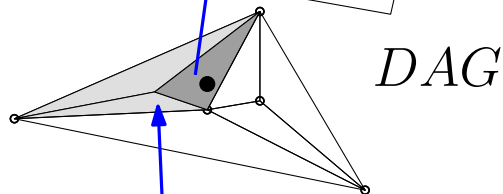
La localisation se fait en temps $O(\log n)$.



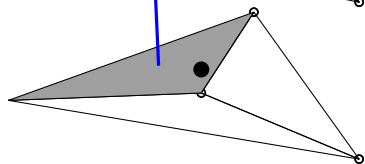
$$k = O(\log n)$$



les sommets dans E_{ind}^i ont degré borné



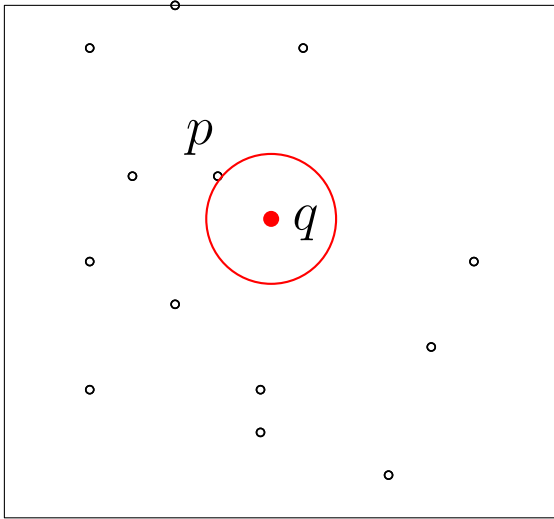
DAG



Part II

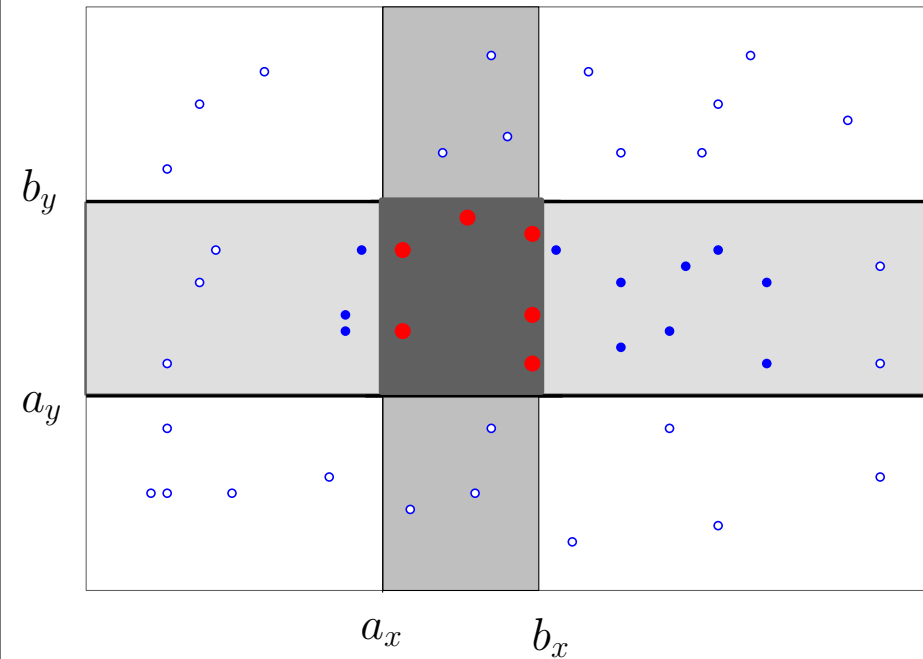
Proximity queries on points

Nearest Neighbor



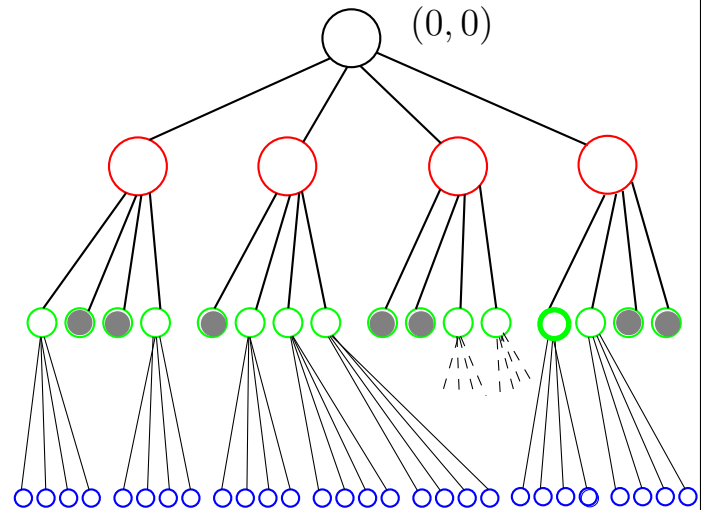
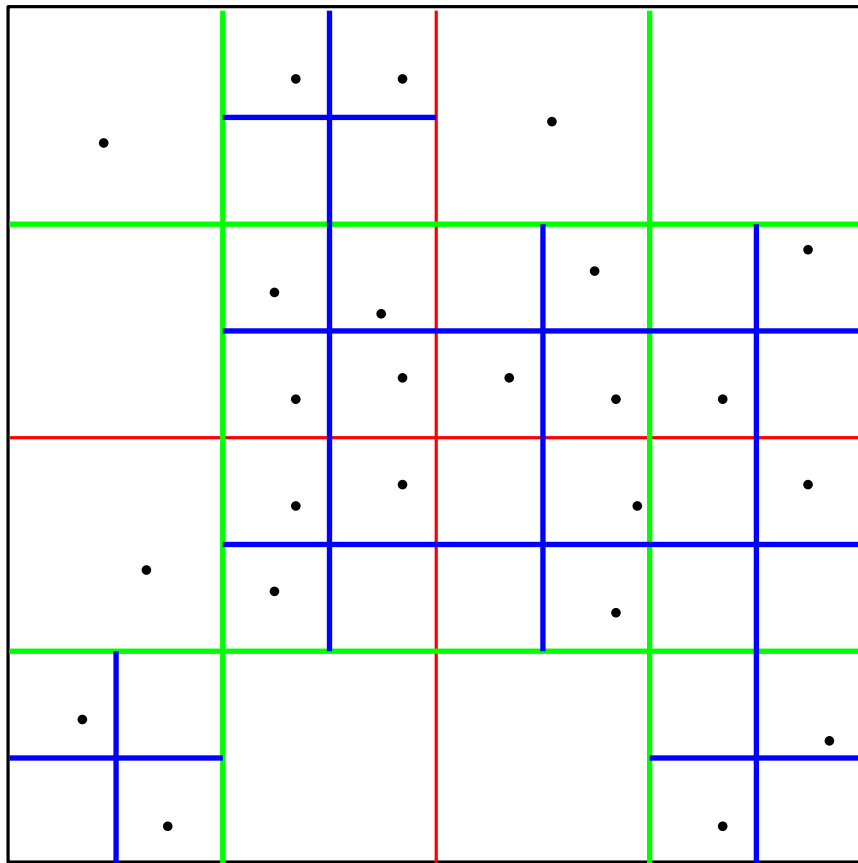
Range Queries

$$R = [a_x, b_x] \times [a_y, b_y]$$

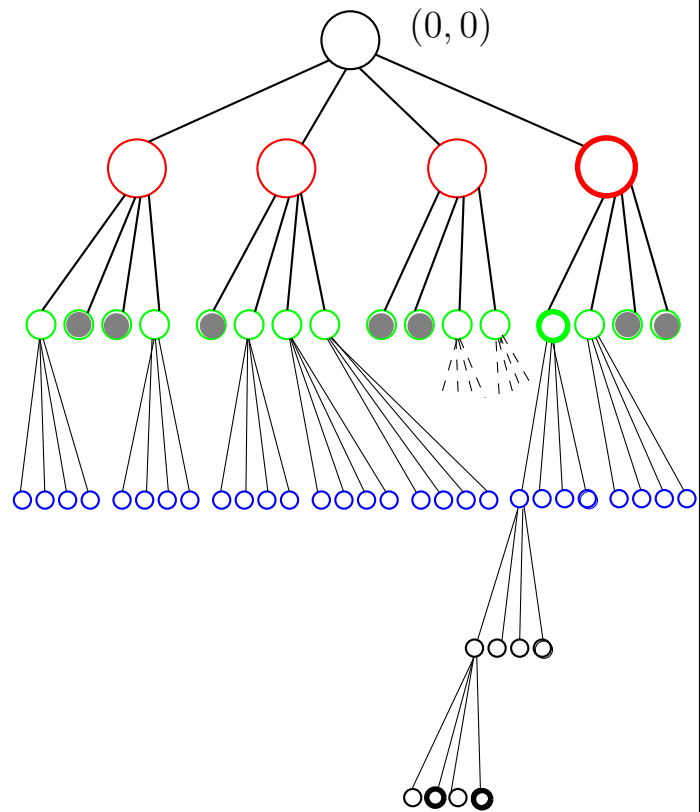
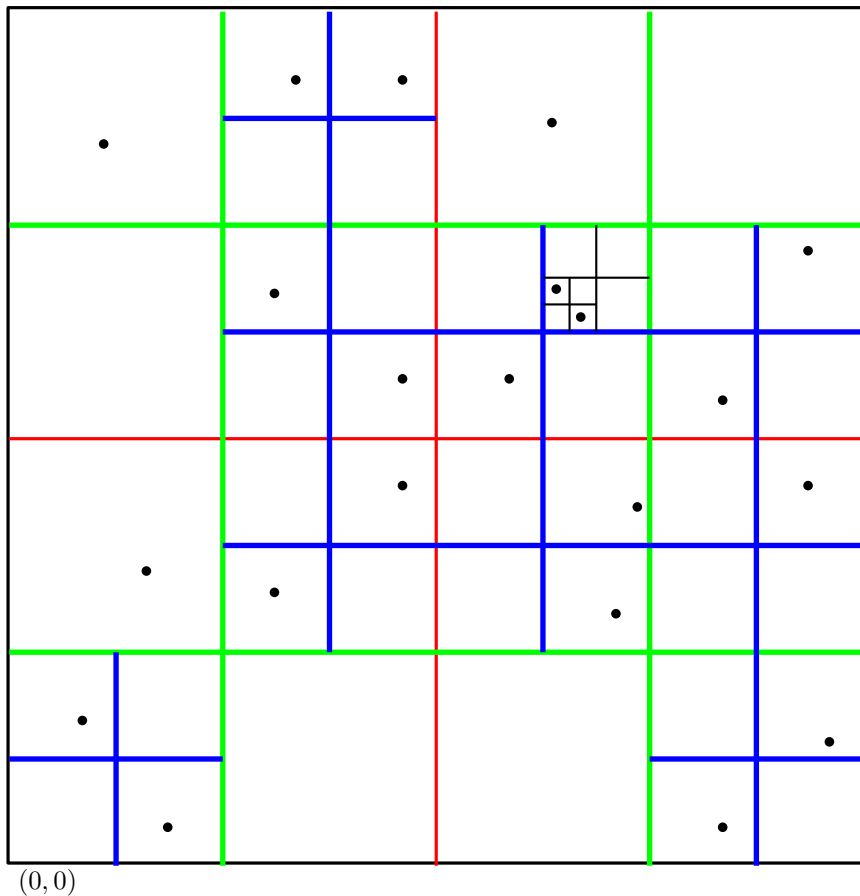


Quad-trees and point sets

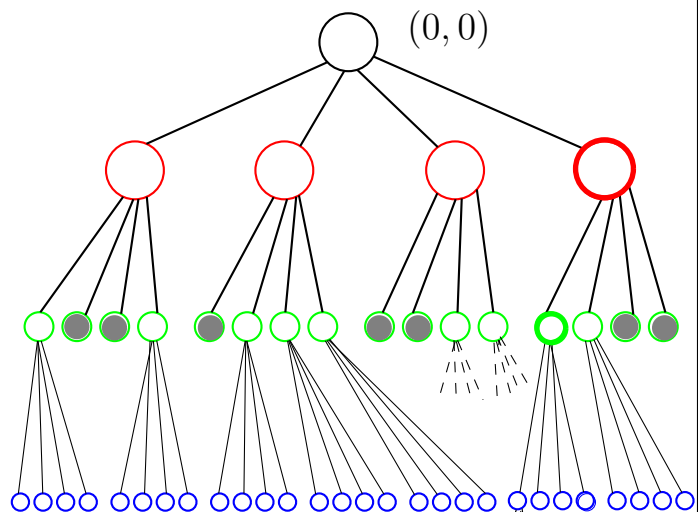
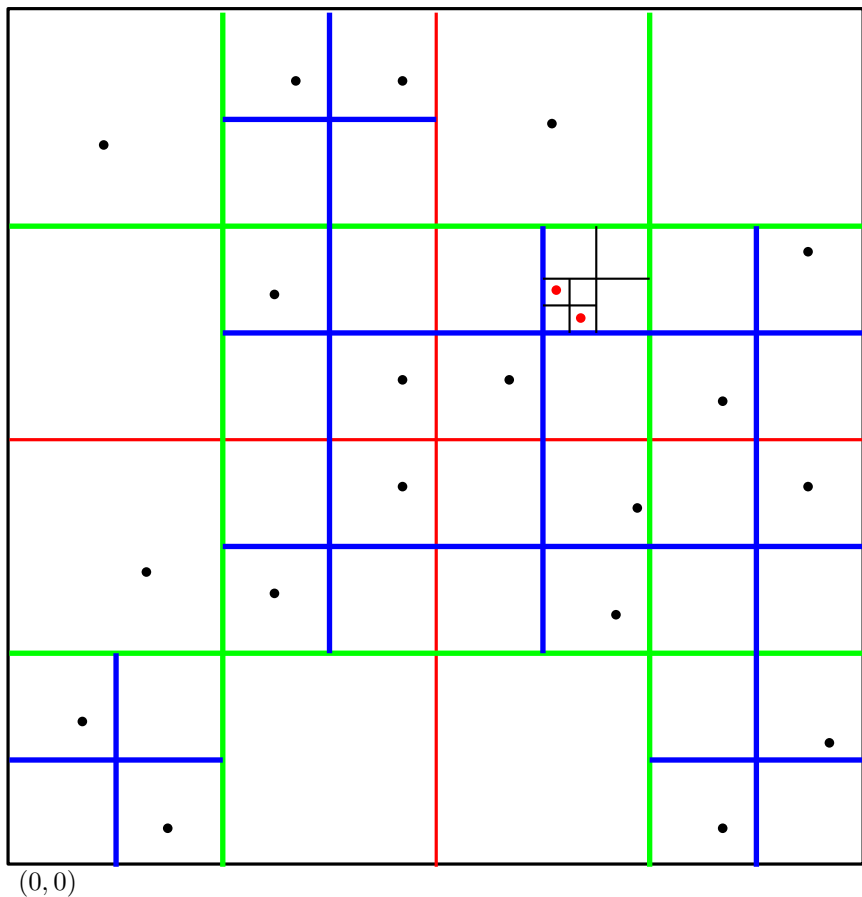
Quad-trees and point sets



Quad-trees and point sets



Quad-trees and point sets

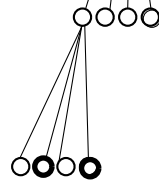


spread of a point set

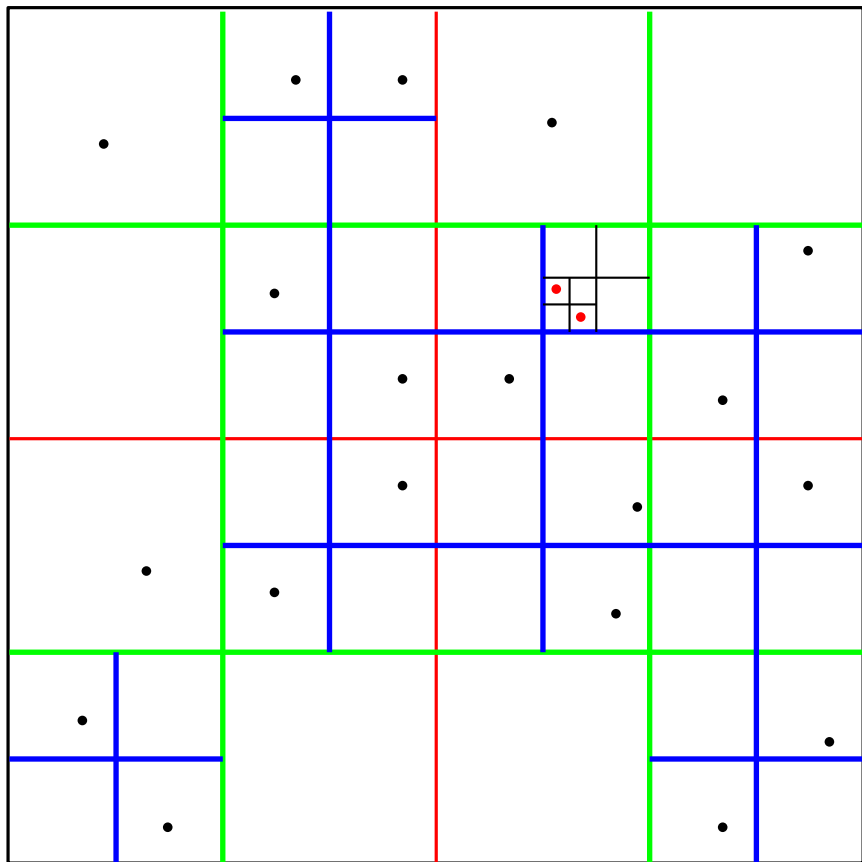
$$\Phi := \frac{\text{diam}(\mathcal{P})}{\text{dist}(CP(\mathcal{P}))}$$

$$\Phi := \frac{\max_{p,q} \|p-q\|}{\min_{p,q} \|p-q\|}$$

$CP(\mathcal{P}) :=$ closest pair of points in \mathcal{P}

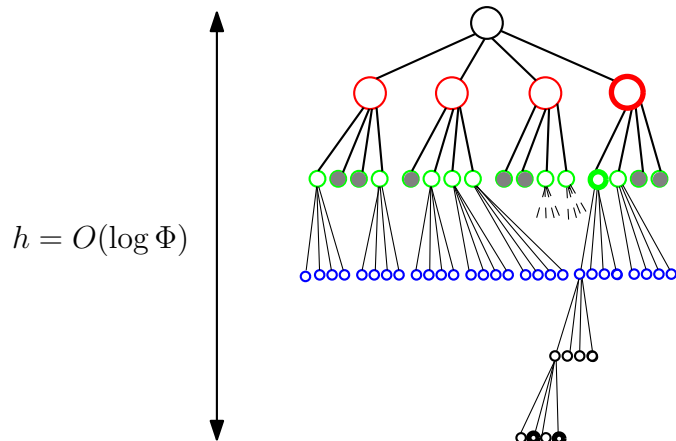


Quad-trees and point sets



(0,0)

Lemme: Soit \mathcal{P} tel que $diam(\mathcal{P}) \geq \frac{1}{2}$. Alors, la profondeur d'un quad-tree (chaque feuille avec un seul point) est au plus $O(\log \Phi)$.



$$h = O(\log \Phi)$$

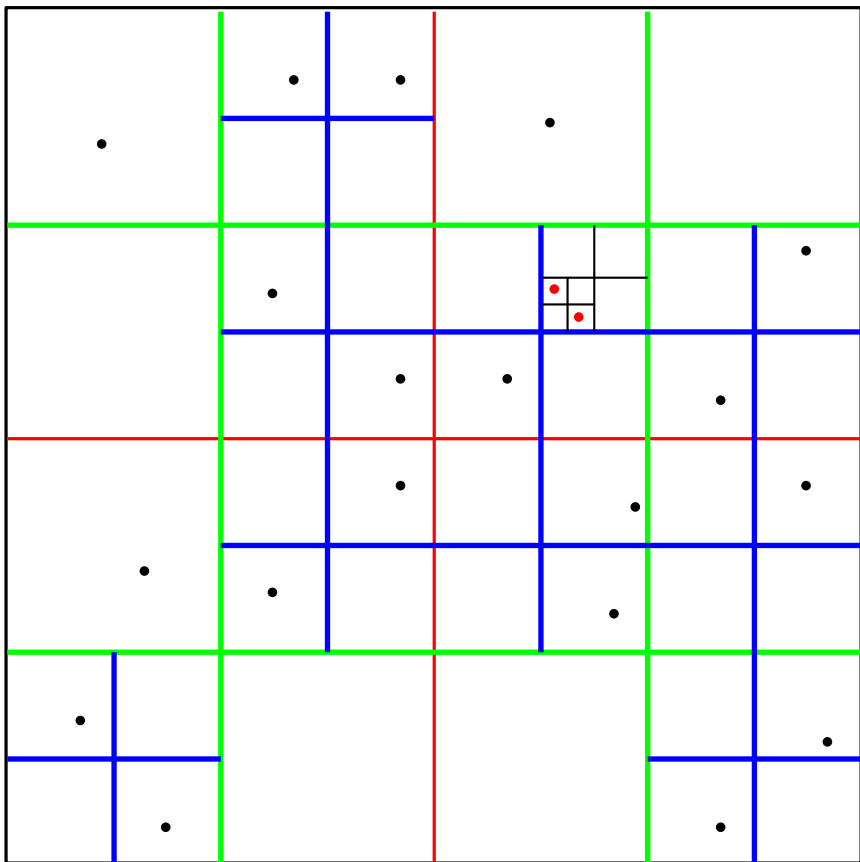
spread of a point set

$$\Phi := \frac{diam(\mathcal{P})}{dist(CP(\mathcal{P}))}$$

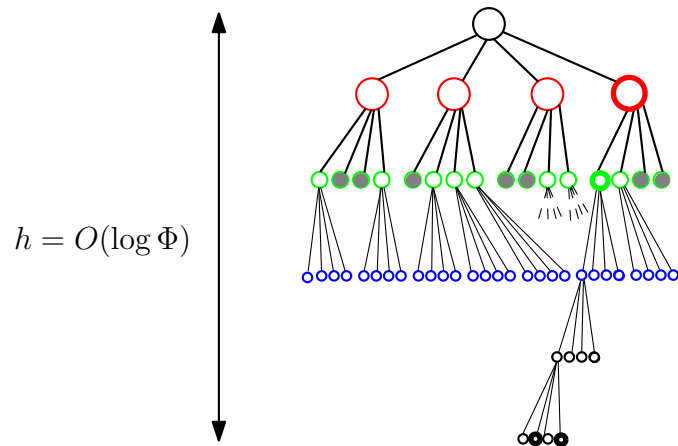
$$\Phi := \frac{\max_{p,q} \|p-q\|}{\min_{p,q} \|p-q\|}$$

Quad-trees and point sets

Lemme: Soit \mathcal{P} tel que $diam(\mathcal{P}) \geq \frac{1}{2}$. Alors, la profondeur d'un quad-tree (chaque feuille avec un seul point) est au plus $O(\log \Phi)$.



(0,0)



$$h = O(\log \Phi)$$

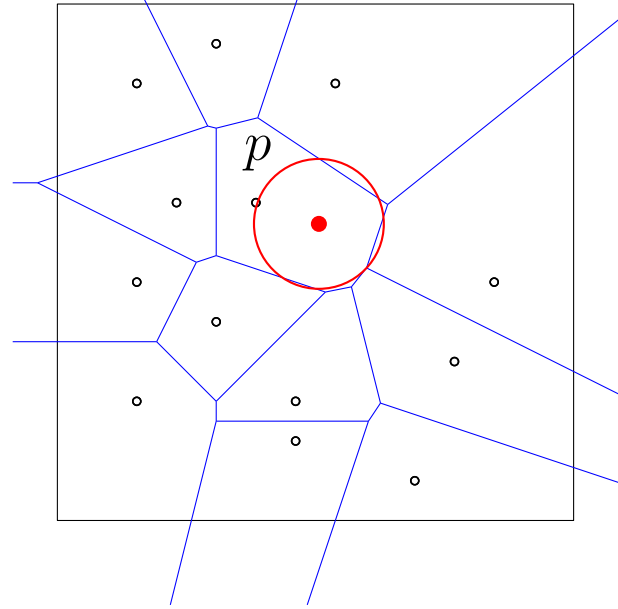
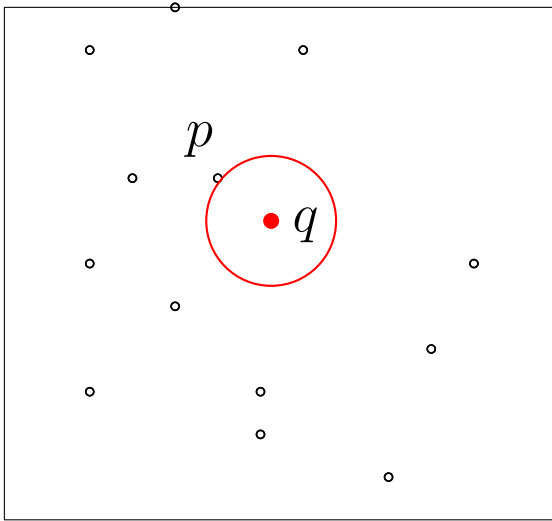
$$size(\square_v) = \frac{s}{2^i} \quad s := \text{side length of the initial square}$$

$$\max dist(p, q) \leq s \frac{\sqrt{2}}{2^i}$$

max distance between points in \square_v

$$s \frac{\sqrt{2}}{2^i} \geq d_{min} \quad i \leq \log \frac{s\sqrt{2}}{d_{min}} = \log \Phi + \frac{1}{2}$$

Nearest Neighbor: simple solution in 2D



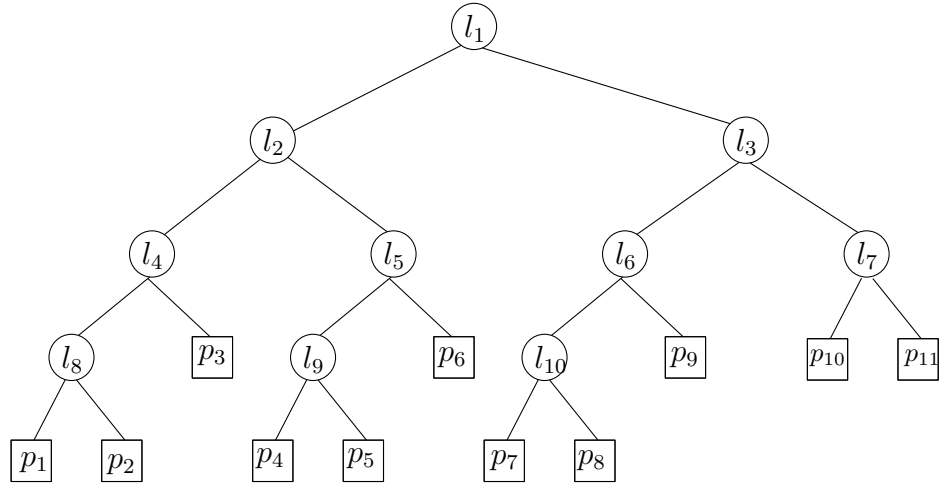
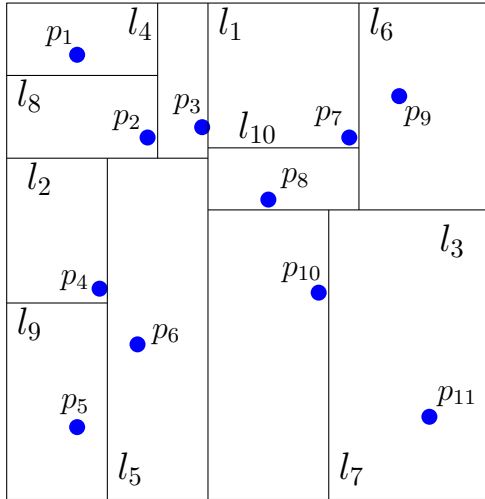
Solution:

temps de requete: $O(\log n)$

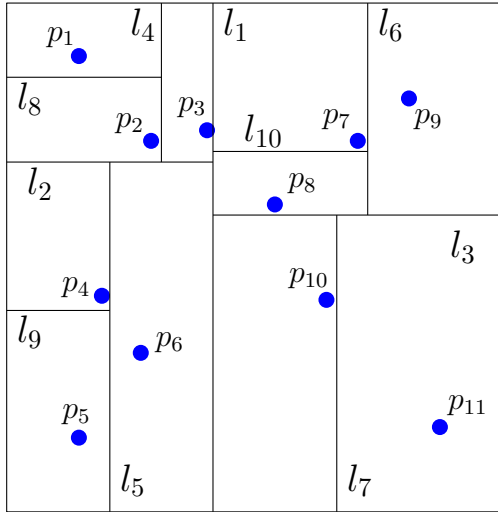
pretraitement: $O(n \log n)$

Kd-Trees

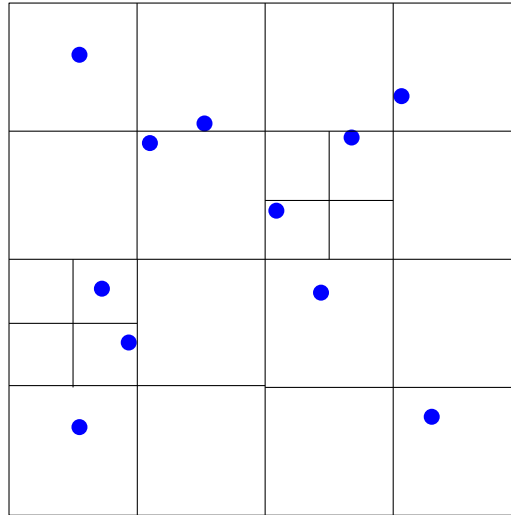
Kd-Trees et Nearest Neighbor Problem



Binary space partitions

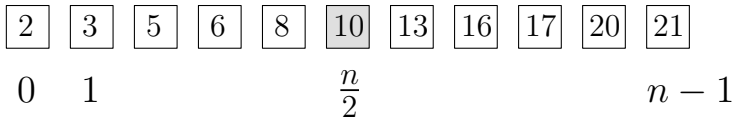
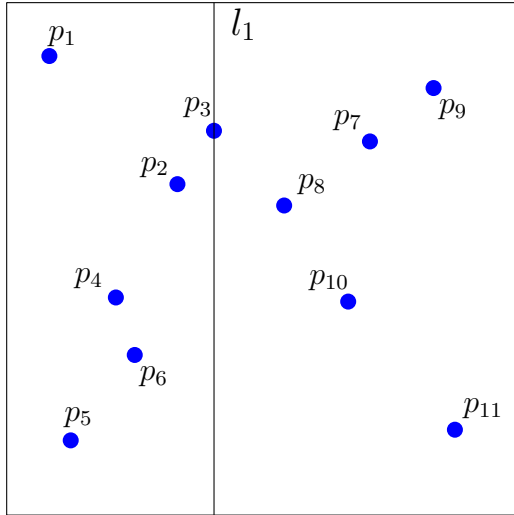


Kd-Tree



QuadTree

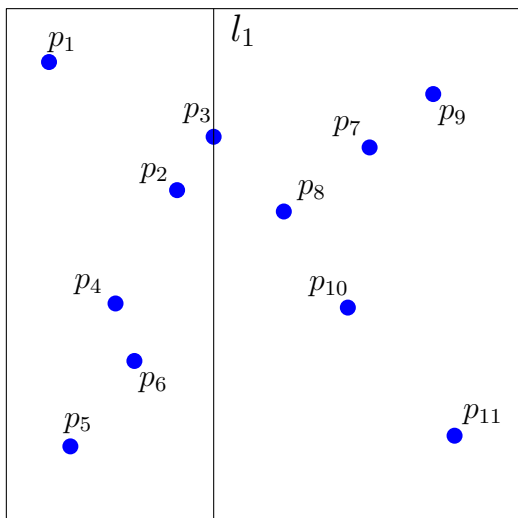
Calcul de la médiane



Si les nombres sont triés

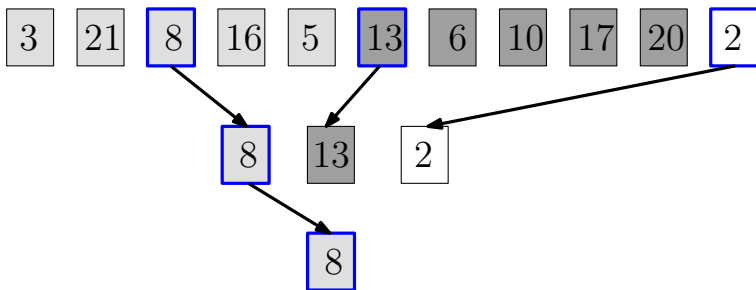
Calcul de la mediane en temps linéaire

(si les nombres ne sont pas triés)



fonction $median(\text{Tableau } A)$

- Partitionner le tableau en $\lfloor \frac{n}{5} \rfloor$ groupes de taille 5 plus éventuellement un groupe de taille $n \bmod(5)$
- Calculer la mediane de chacun des $\lfloor \frac{n}{5} \rfloor$ groupes avec une methode quelconque (exemple: tri par insertion)
- Appeler recursivement $median(L_0)$ pour calculer la mediane des $\lfloor \frac{n}{5} \rfloor$ medianes

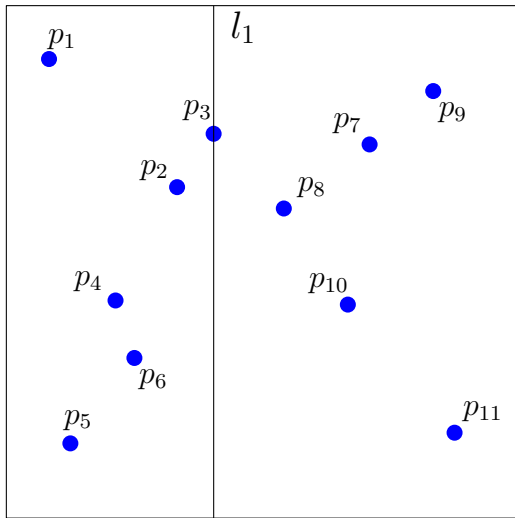


$$A_0 = A$$

L_0 : liste des medianes

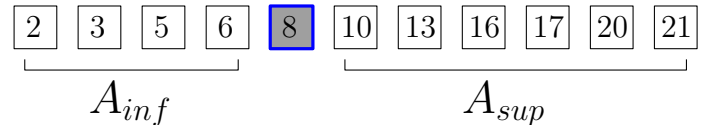
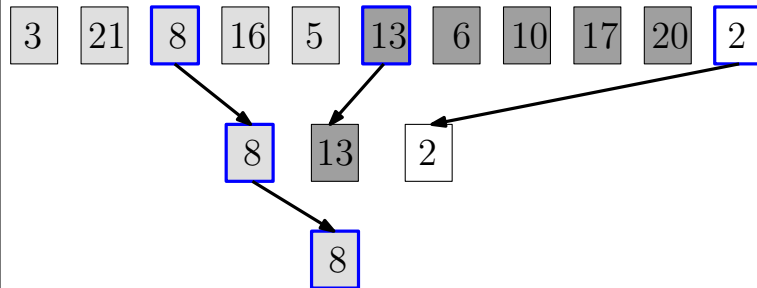
$$A_1 = median(L_0)$$

Calcul de la mediane en temps linéaire

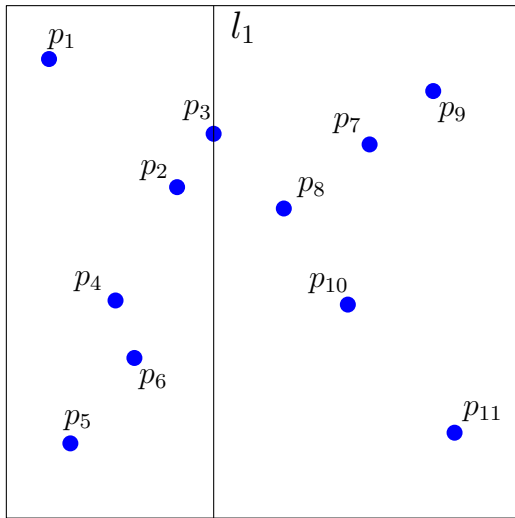


fonction $median(Tableau A)$

- Partitionner le tableau en $\lfloor \frac{n}{5} \rfloor$ groupes de taille 5 plus éventuellement un groupe de taille $n \bmod 5$
- Calculer la mediane de chacun des $\lfloor \frac{n}{5} \rfloor$ groupes avec une methode quelconque (exemple: tri par insertion)
- Appeler recursivement $median(L_0)$ pour calculer la mediane des $\lfloor \frac{n}{5} \rfloor$ medianes

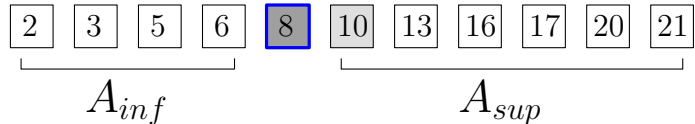


Calcul de la mediane en temps linéaire

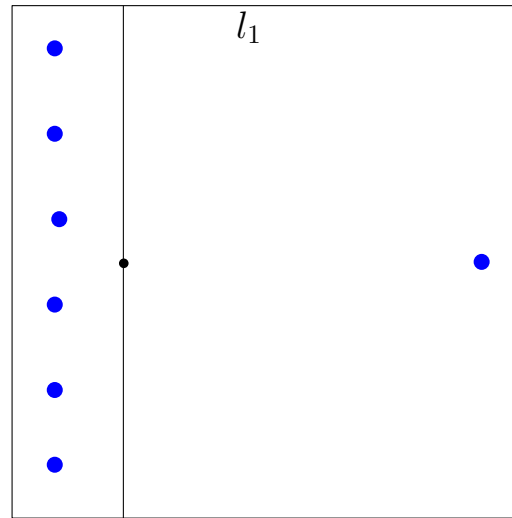
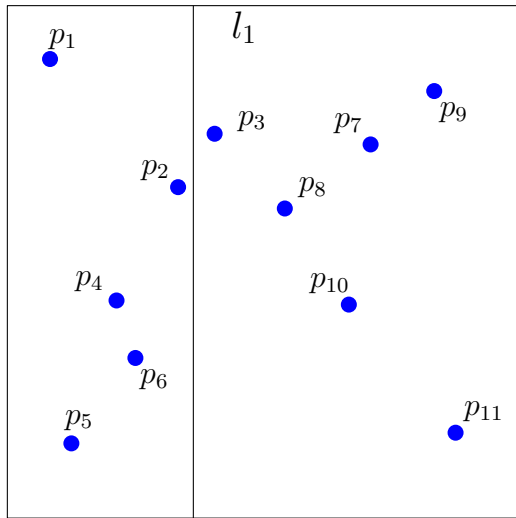


fonction $median(\text{Tableau } A)$

- Partitionner le tableau en $\lfloor \frac{n}{5} \rfloor$ groupes de taille 5 plus éventuellement un groupe de taille $n \bmod(5)$
- Calculer la mediane de chacun des $\lfloor \frac{n}{5} \rfloor$ groupes avec une methode quelconque (exemple: tri par insertion)
- Appeler recursivement $median(L_0)$ pour calculer la mediane des $\lfloor \frac{n}{5} \rfloor$ medianes
- partitionner A autour de $median(L_0)$ en deux sous-tableaux, de taille k et $n - k$
- appeler recursivement $median()$ sur A_{inf} (ou A_{sup}) selon que $\frac{n}{2} \leq k$ (ou $\frac{n}{2} > k$)

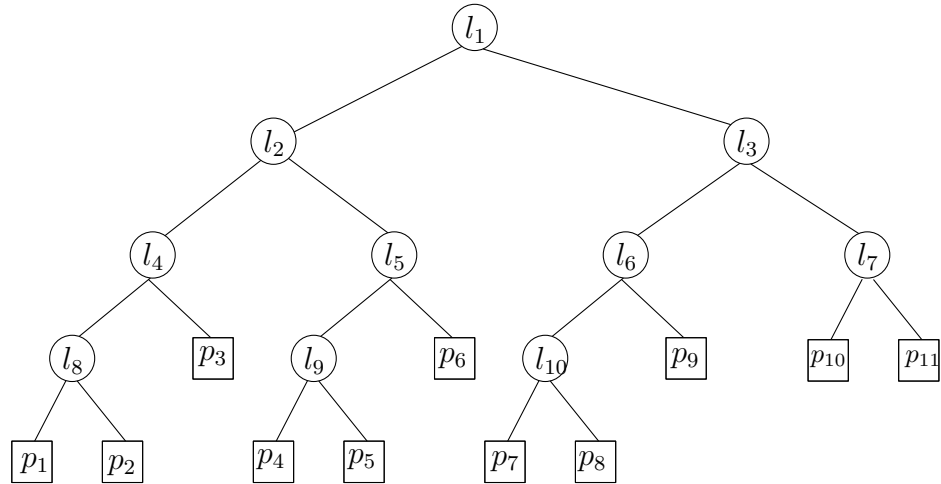
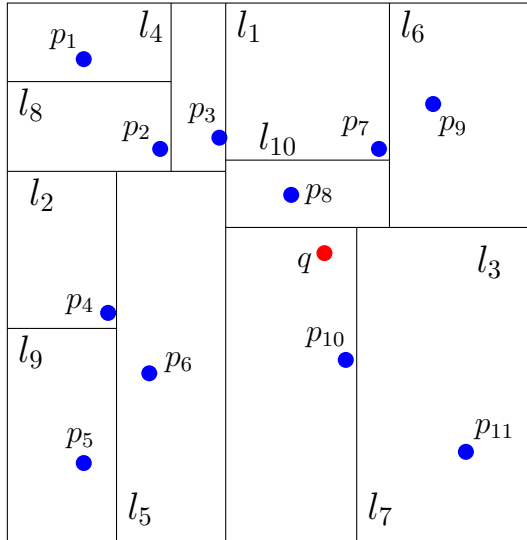


Calcul du plan séparateur avec barycentre



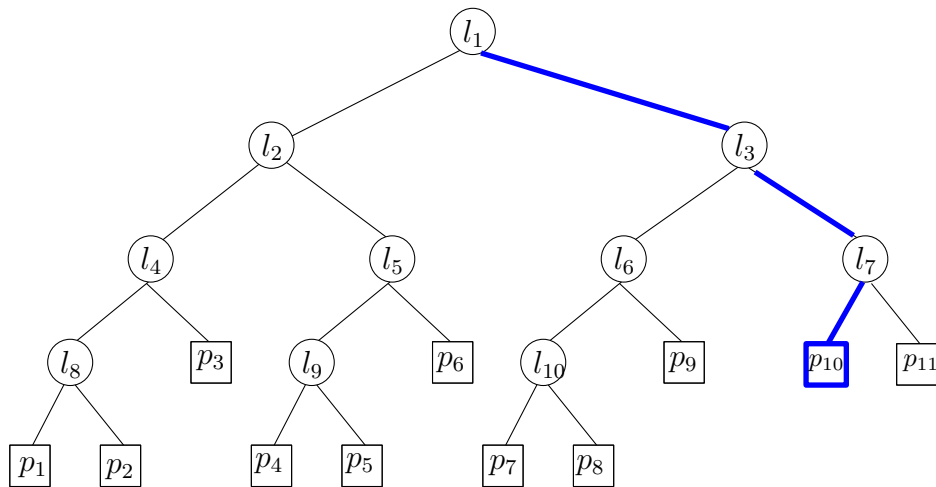
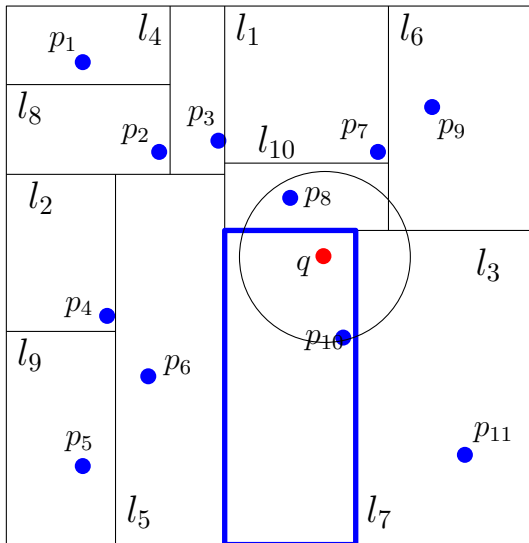
Nearest Neighbor Search

On commence une visite recursive de la racine



Nearest Neighbor Search

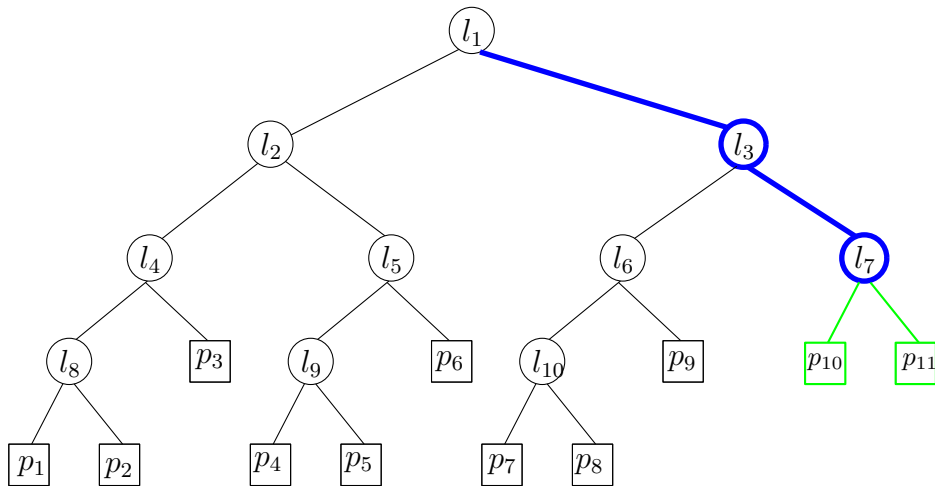
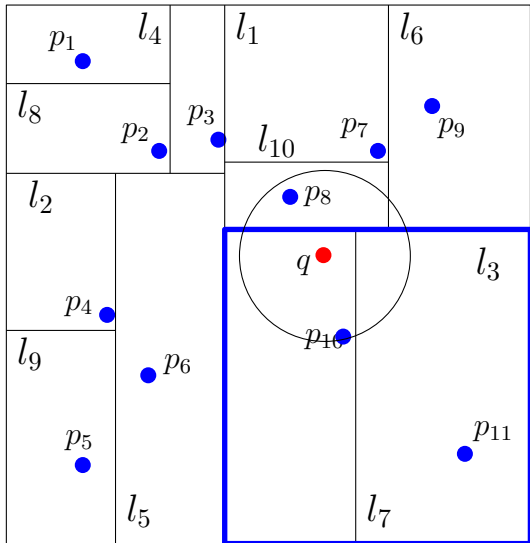
$$NN(q) = p_{10}$$



We perform a recursive visit in order to find the leaf containing q

Nearest Neighbor Search

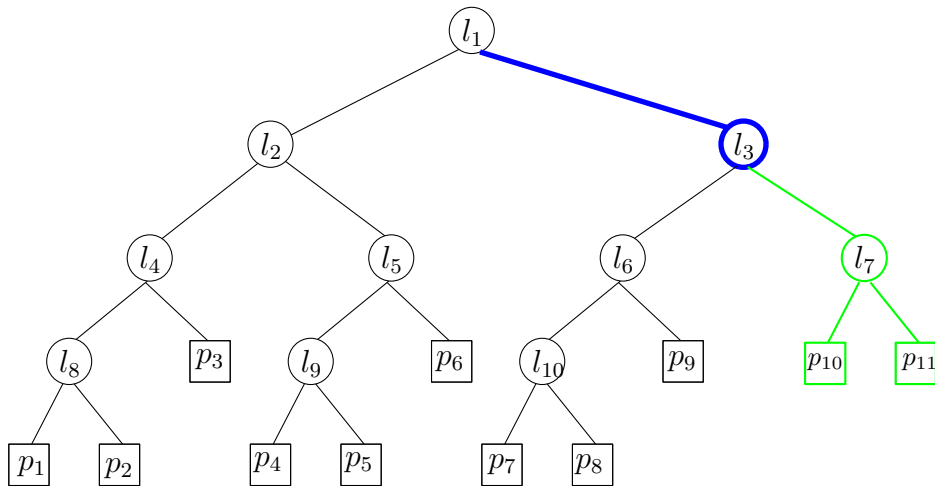
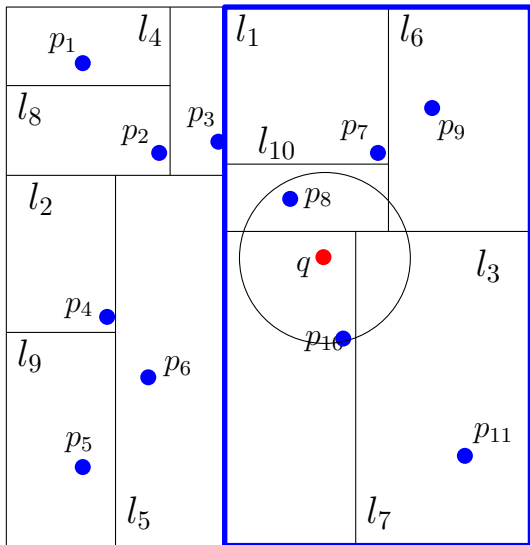
$$NN(q) = p_{10}$$



After the recursive call, we search in the neighboring cells for closer neighbors

Nearest Neighbor Search

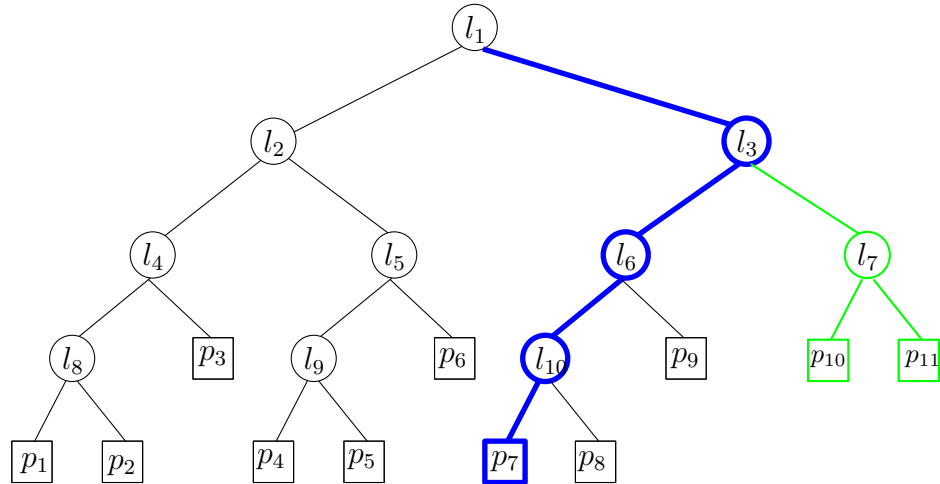
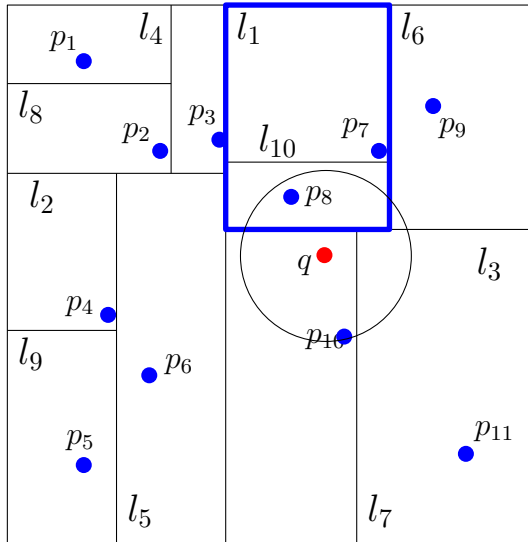
$$NN(q) = p_{10}$$



After the recursive call, we search in the neighboring cells for closer neighbors

Nearest Neighbor Search

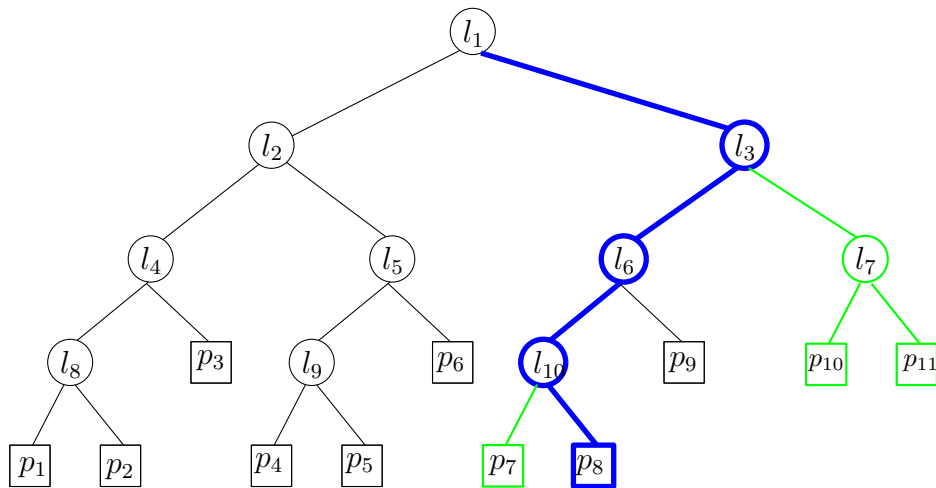
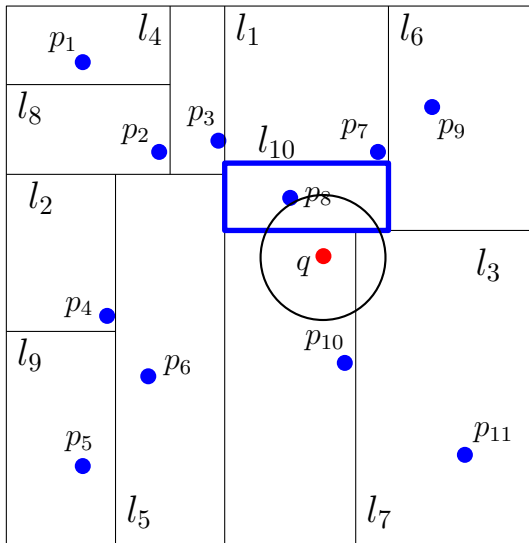
$$NN(q) = p_{10}$$



After the recursive call, we search in the neighboring cells for closer neighbors

Nearest Neighbor Search

$$NN(q) = p_8$$

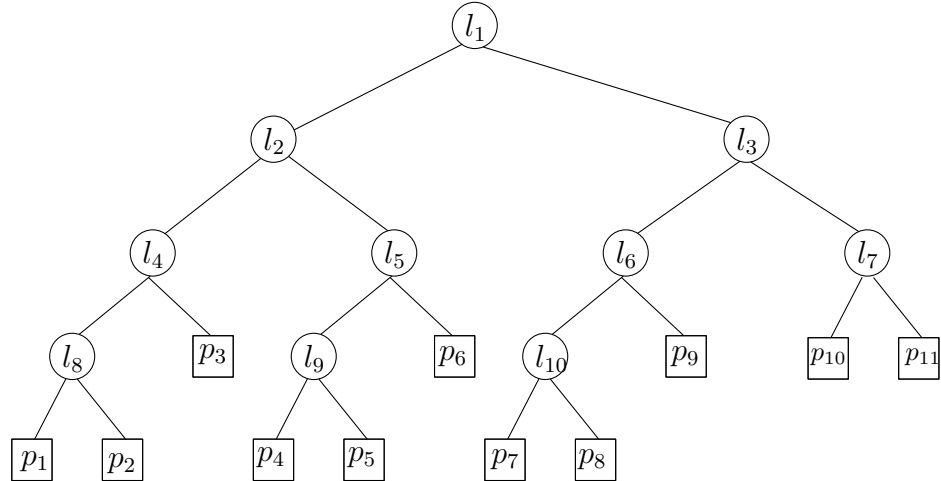
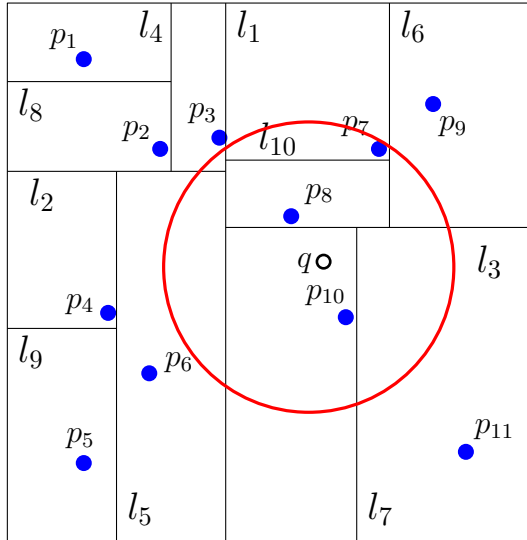


After the recursive call, we search in the neighboring cells for closer neighbors

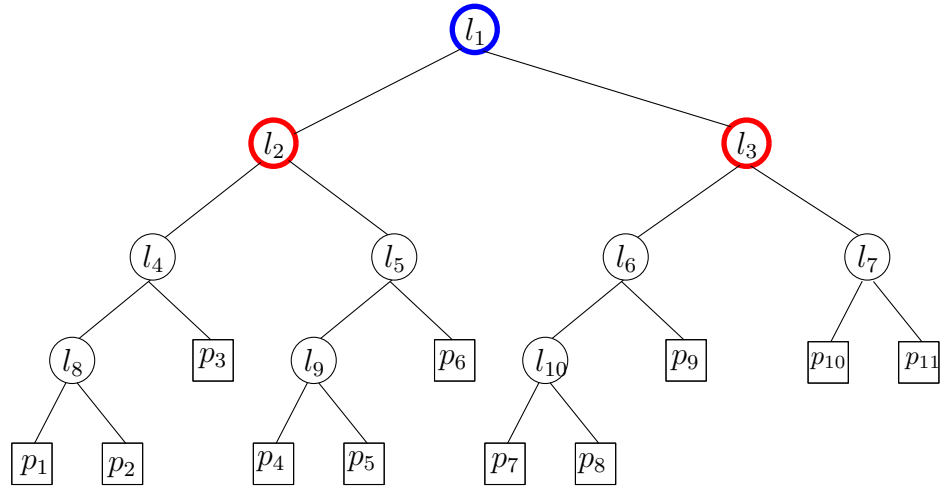
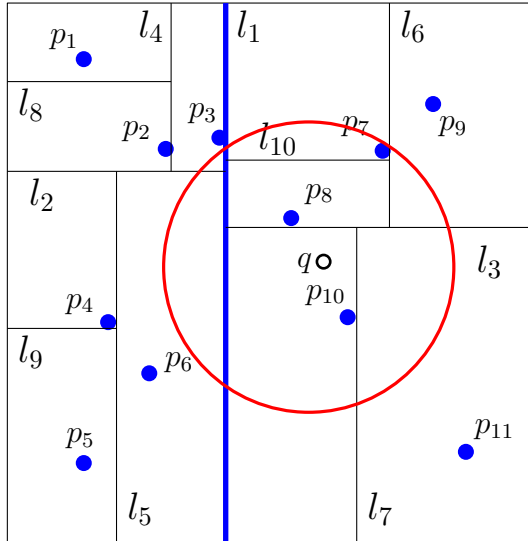
Kd-Trees and range search

Kd-Trees and range search

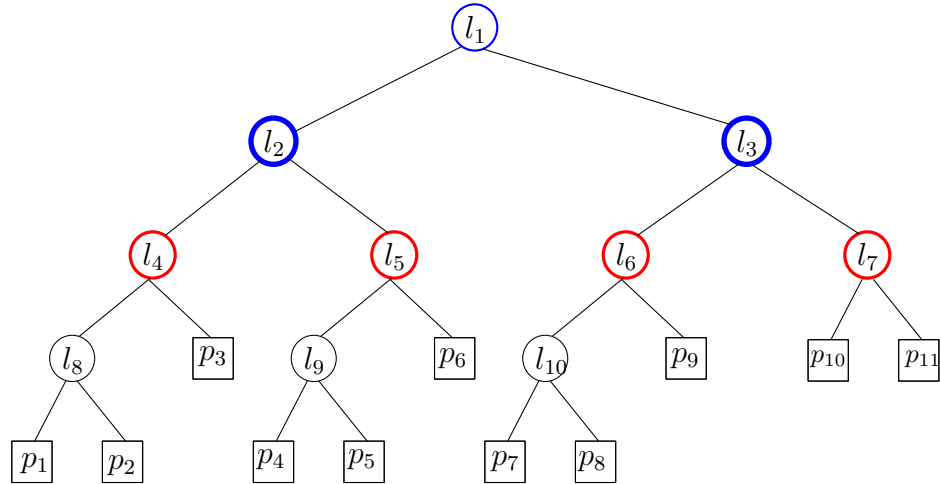
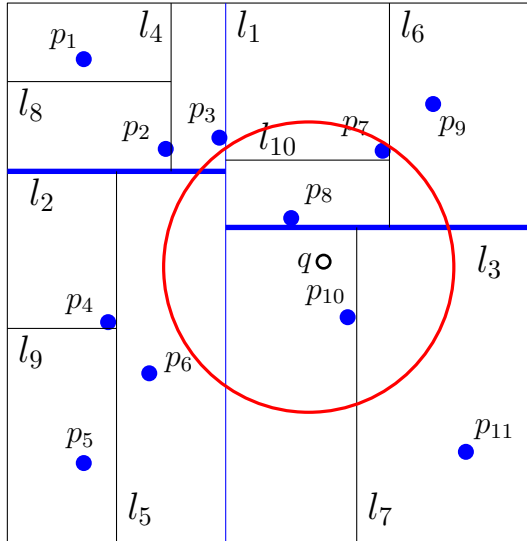
On commence une visite recursive de la racine



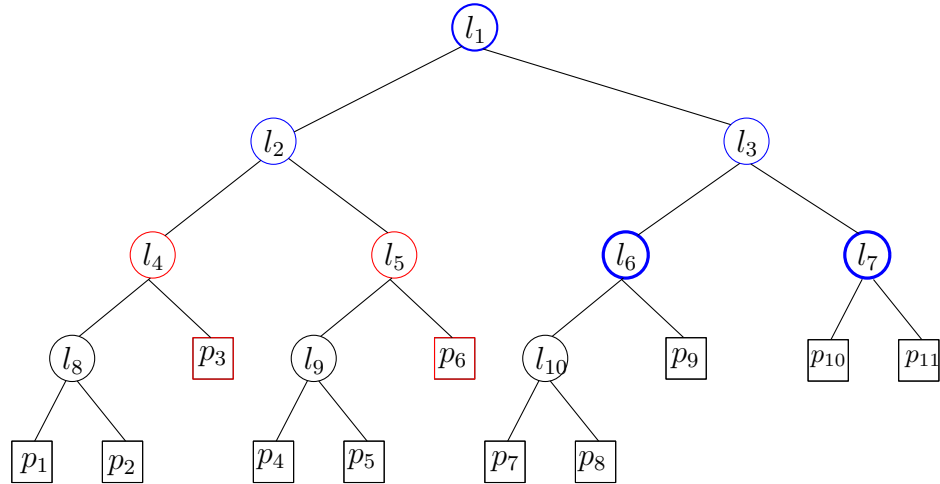
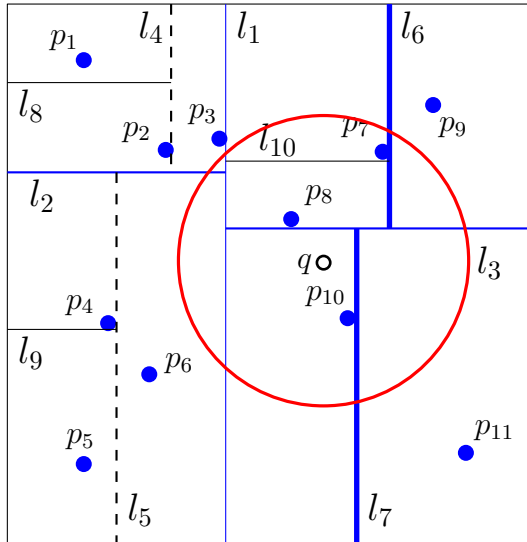
Kd-Trees and range search



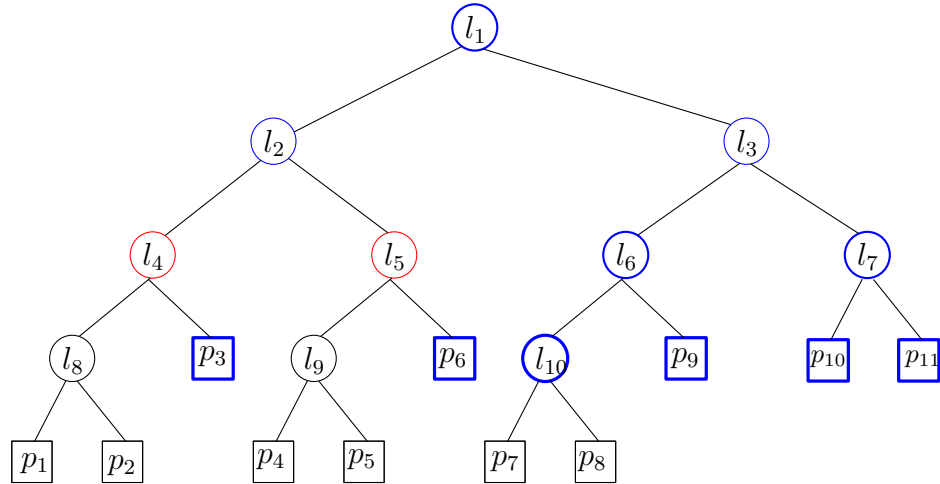
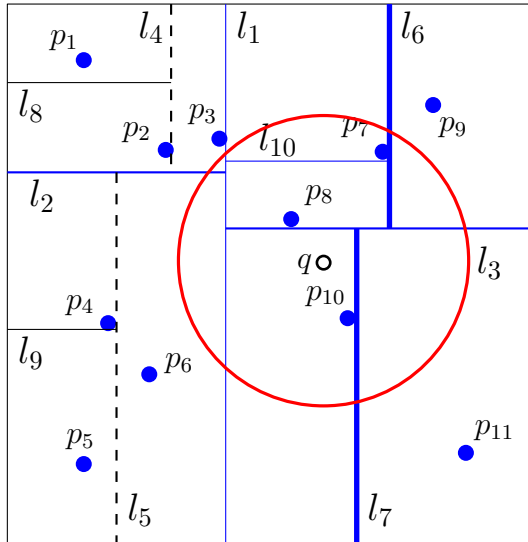
Kd-Trees and range search



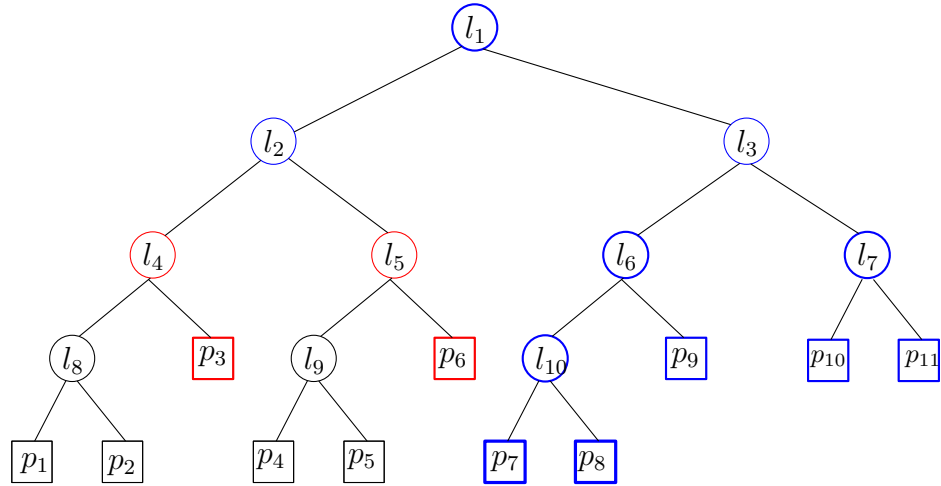
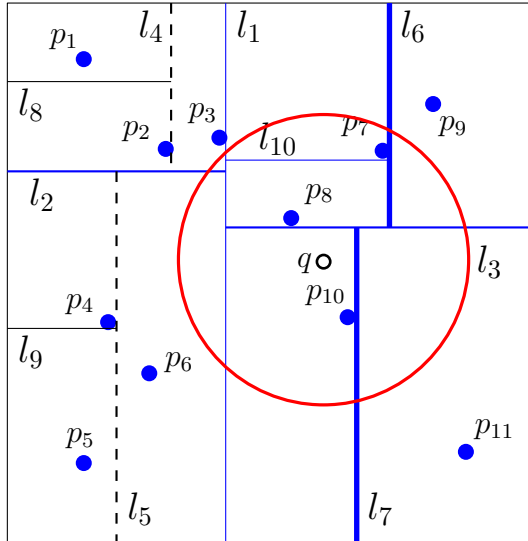
Kd-Trees and range search



Kd-Trees and range search

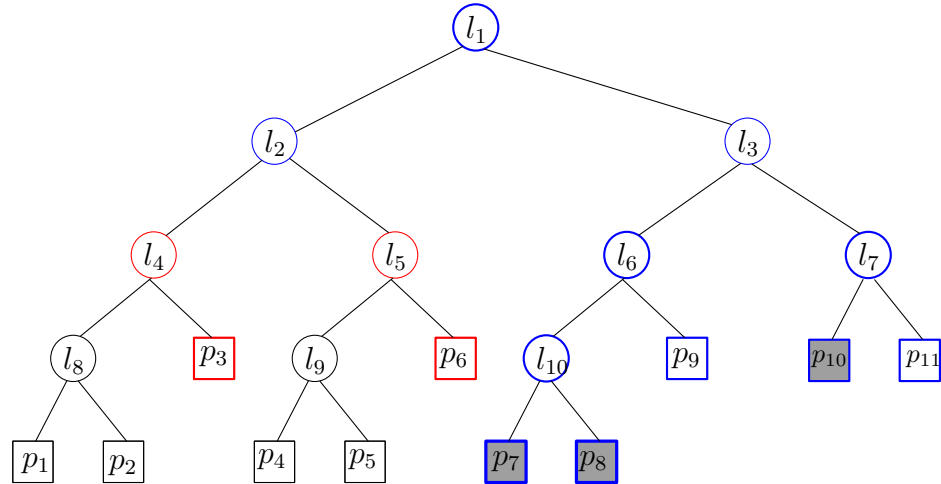
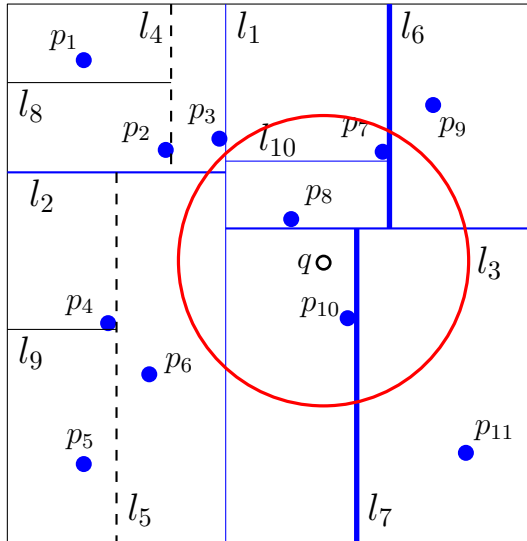


Kd-Trees and range search



On a fini d'explorer tous les noeuds de l'arbre

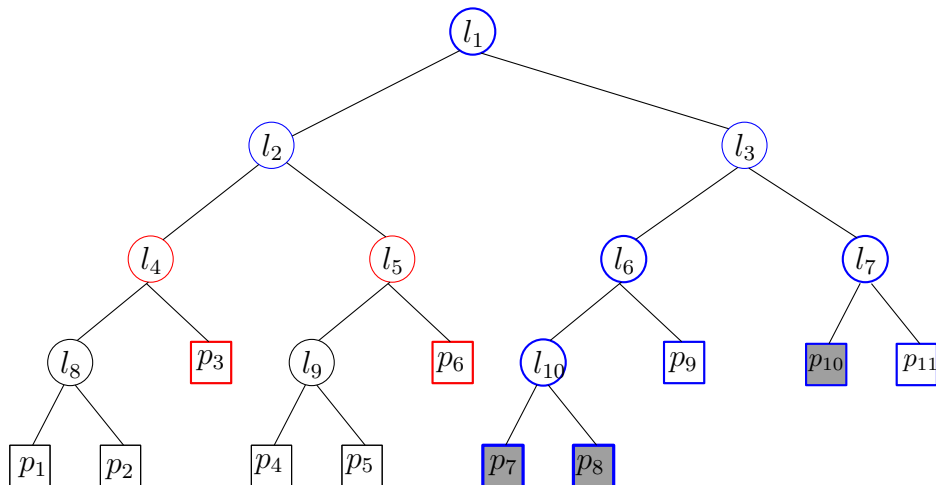
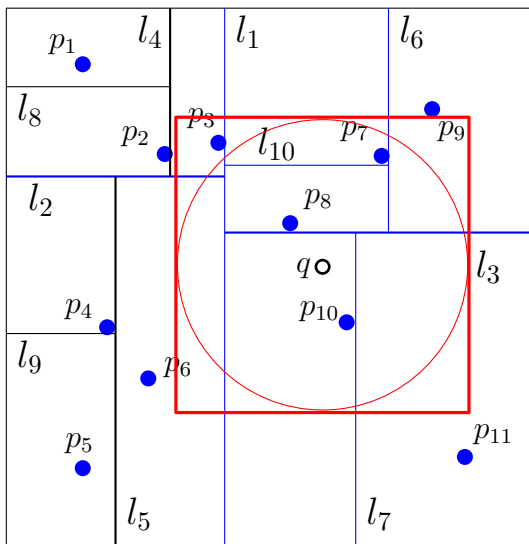
Kd-Trees and range search



On recherche, parmi les noeuds explores, ceux qui contiennent les points proches de q

Kd-Trees et Range search: analyse de complexité

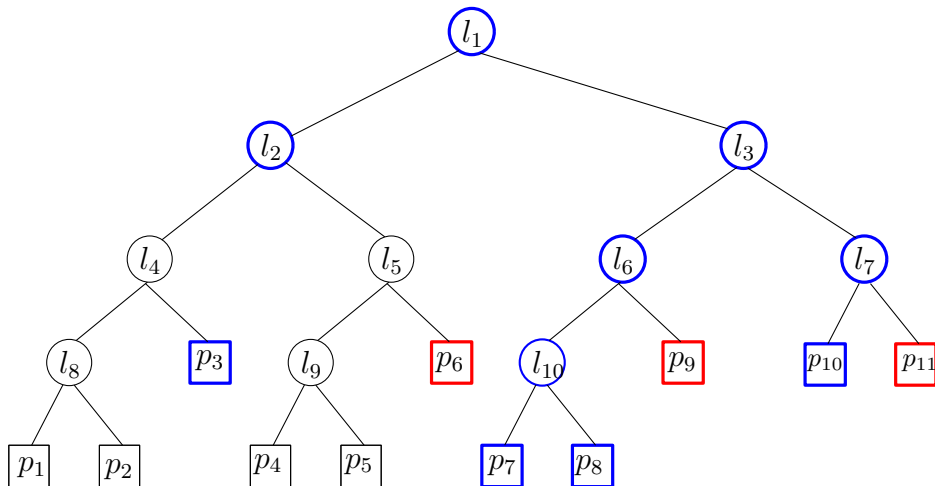
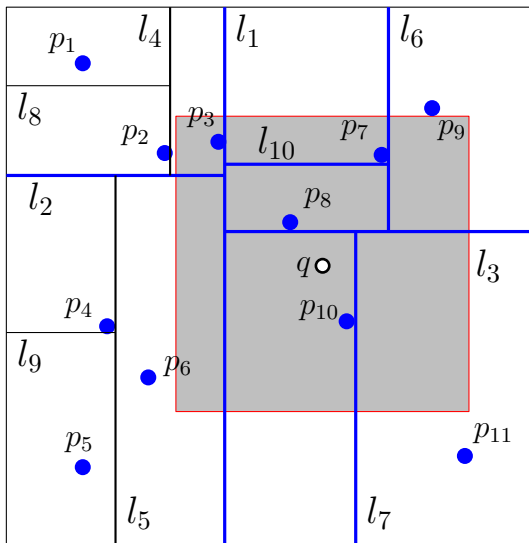
Lemme: les Kd-Trees permettent de répondre aux *Range queries* en 2D en temps $Q(n) = O(\sqrt{n} + k)$, nécessitant espace $O(n)$.



On recherche, parmi les noeuds explorés, ceux qui contiennent les points proches de q

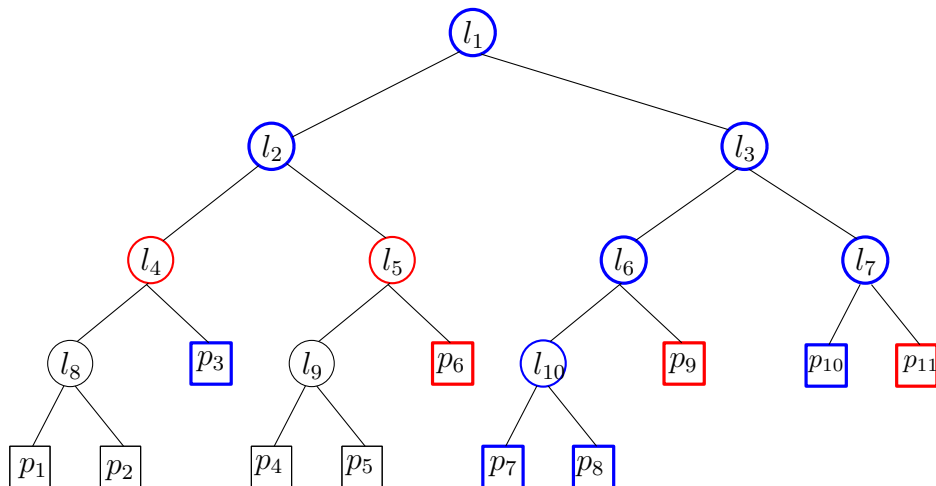
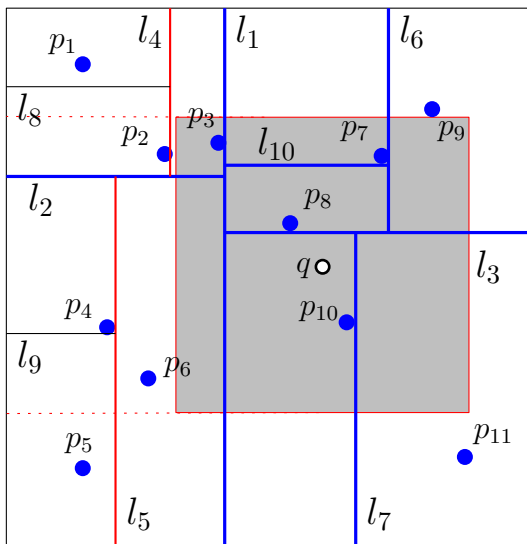
Kd-Trees et Range search: analyse de complexité

Idée: $Q(n)$ est proportionnelle au nombre de noeuds couverts par la région $R(q)$



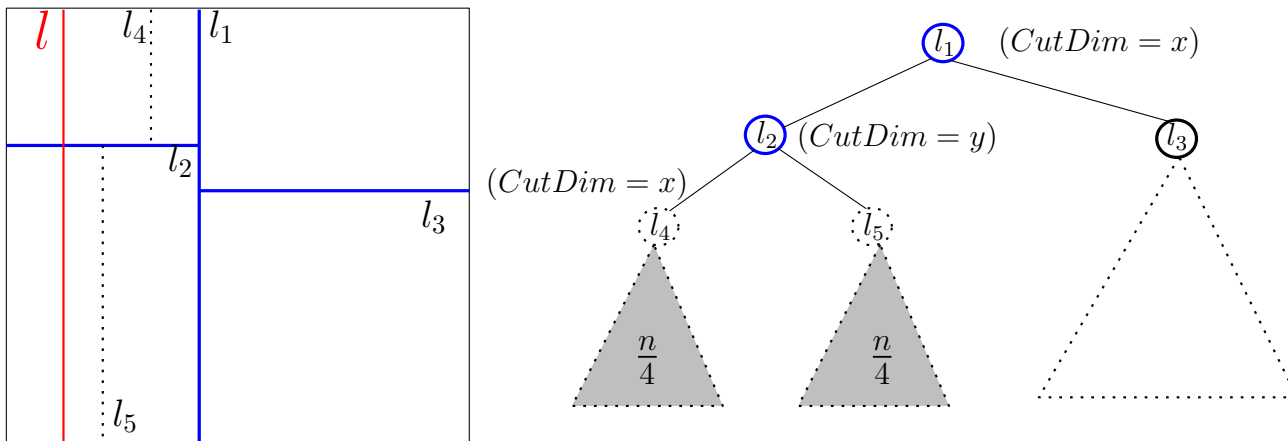
Kd-Trees et Range search: analyse de complexité

Lemme: Pour toute droite (verticale) l , il existe au plus $Int_l(n) = \sqrt{n}$ noeuds intersectés par l .



Kd-Trees et Range search: analyse de complexité

Preuve



Remarque 1: exactement un seul des deux sous-noeuds de n_1 intersekte l (appelons-le l_2).

Remarque 2: les sous arbres enracinés à l_4 et l_5 ont taille $\frac{n}{4}$.

Remarque 3: pour toute intersection de l avec un segment (horizontal) on a deux noeuds intersectés.

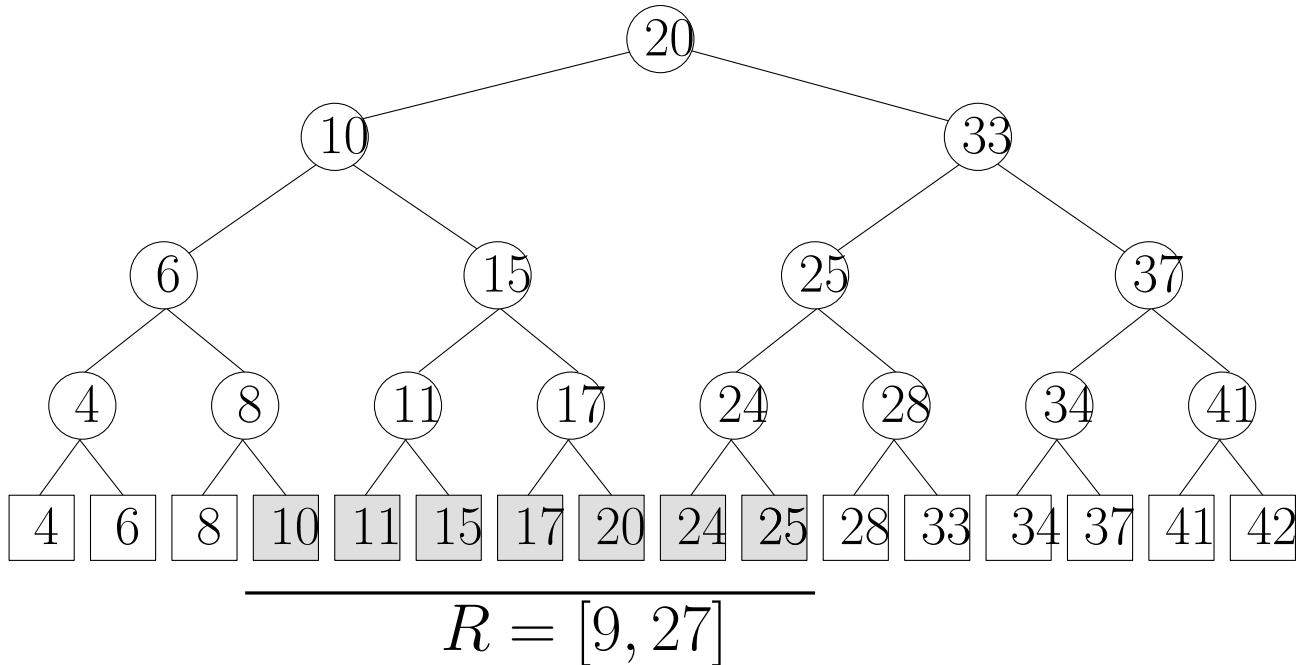
$$Int_l(n) = \begin{cases} O(1) & n = 1 \\ 2 + 2Int_l(\frac{n}{4}) & n > 1 \end{cases} \longrightarrow Int_l(n) = O(\sqrt{n}) \quad \square$$

Range Trees

Range Queries en dim 1

Thm

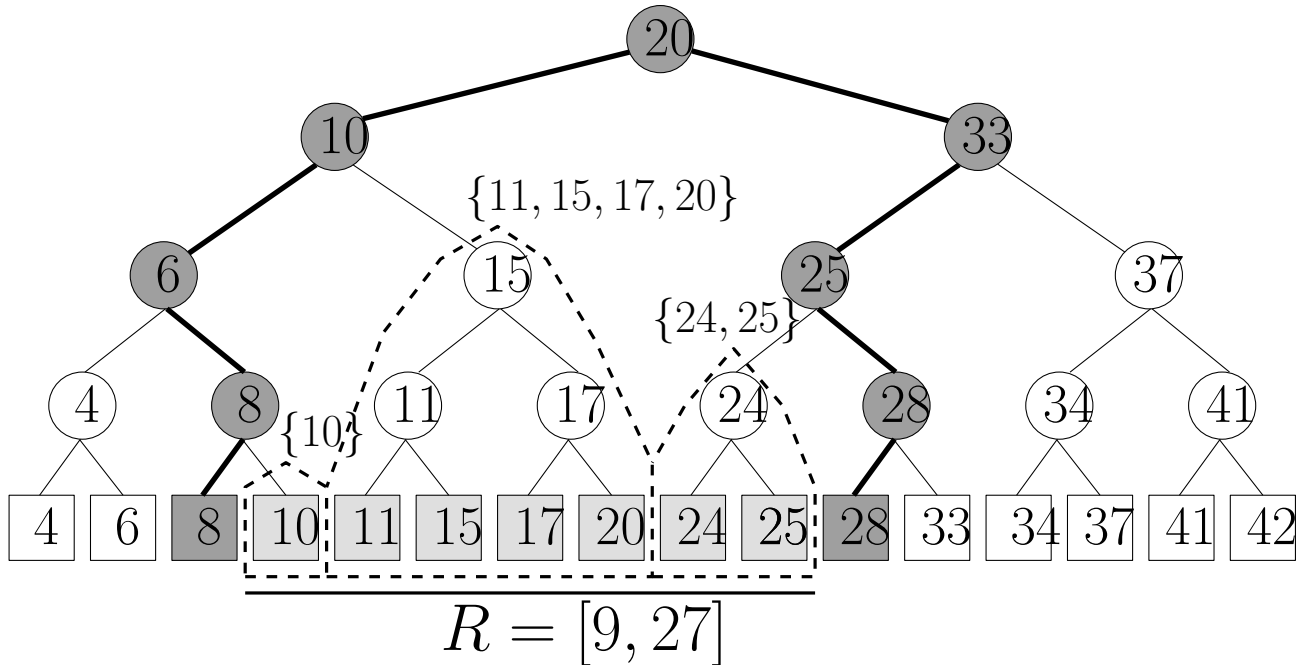
Les range trees permettent de résoudre le range problem orthogonal en dimension 1 en temps $O(k + \log n)$.



Range Queries en dim 1

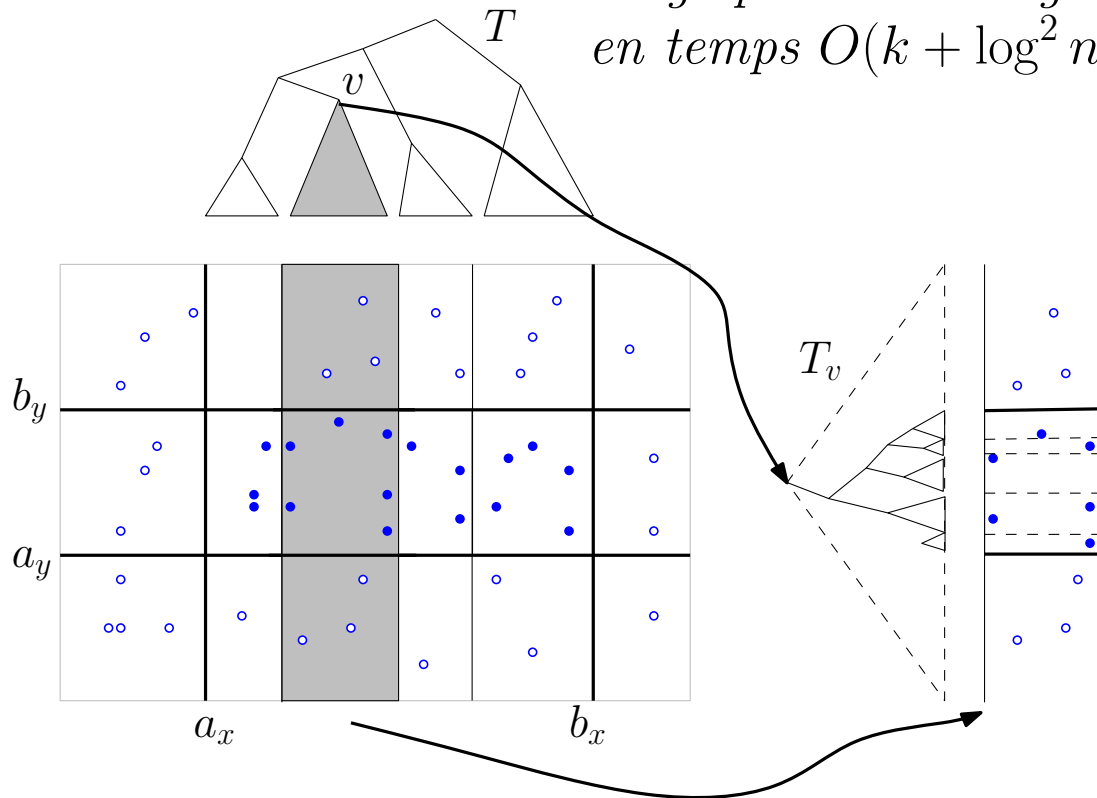
Thm

Les range trees permettent de résoudre le range problem orthogonal en dimension 1 en temps $O(k + \log n)$.



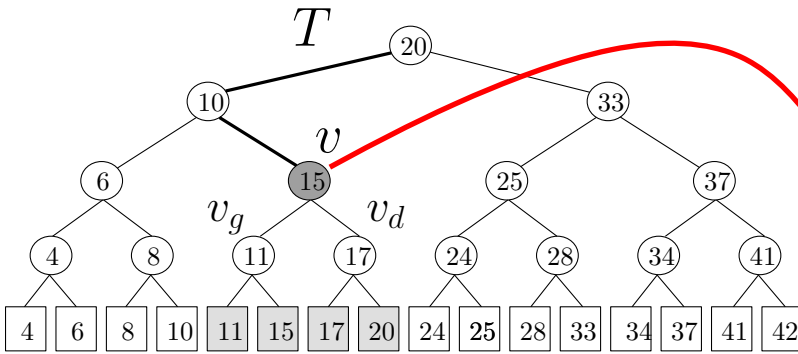
Range Queries en dim 2

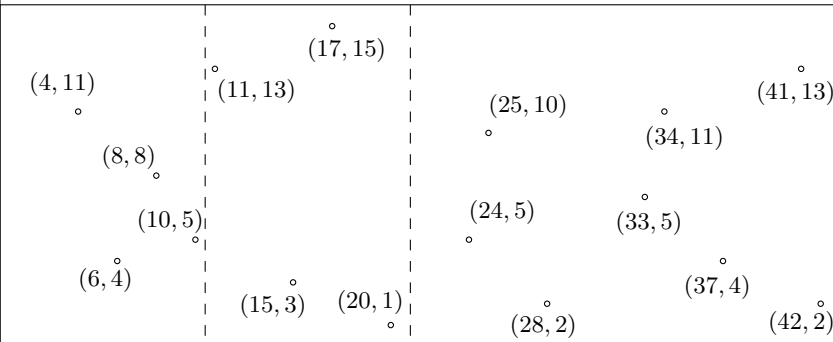
Thm *Les range trees permettent de résoudre le range problem orthogonal en dimension 2 en temps $O(k + \log^2 n)$.*



Fractional Cascading

Thm *On peut résoudre le range problem orthogonal en dimension 2 en temps $O(k + \log n)$.*



$$A_v = \begin{array}{|c|c|c|c|} \hline (20, 1) & (15, 3) & (11, 13) & (17, 15) \\ \hline 1 & 3 & 13 & 15 \\ \hline \end{array}$$


$$A_{v_g} = \begin{array}{|c|c|} \hline (15, 3) & (11, 13) \\ \hline 3 & 13 \\ \hline \end{array}$$

$$A_{v_d} = \begin{array}{|c|c|} \hline (20, 1) & (17, 15) \\ \hline 1 & 15 \\ \hline \end{array}$$

$$\begin{array}{|c|} \hline (11, 13) \\ \hline 13 \\ \hline \end{array}$$

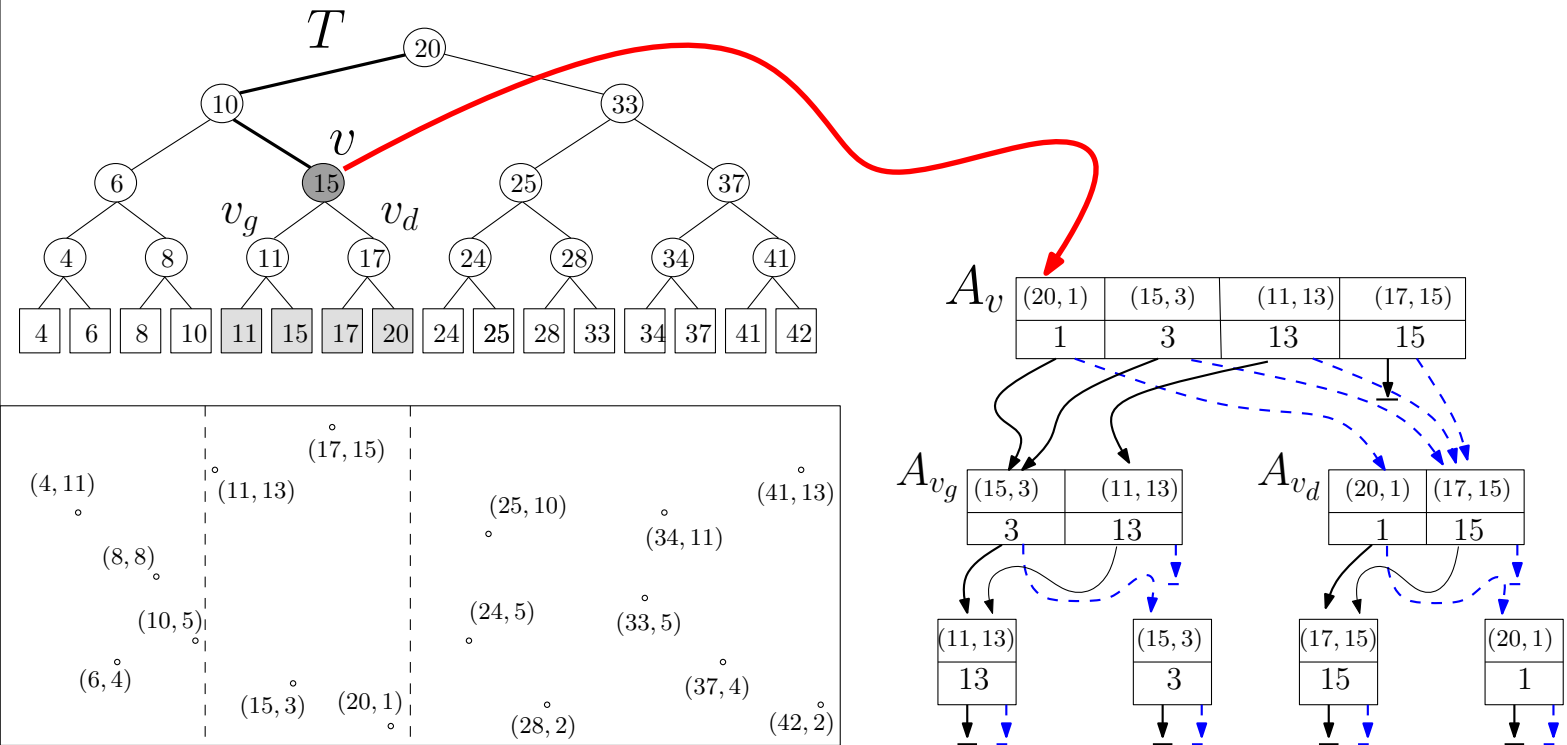
$$\begin{array}{|c|} \hline (15, 3) \\ \hline 3 \\ \hline \end{array}$$

$$\begin{array}{|c|} \hline (17, 15) \\ \hline 15 \\ \hline \end{array}$$

$$\begin{array}{|c|} \hline (20, 1) \\ \hline 1 \\ \hline \end{array}$$

Fractional Cascading

Thm *On peut résoudre le range problem orthogonal en dimension 2 en temps $O(k + \log n)$.*

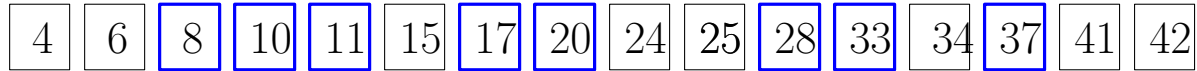


Fractional Cascading

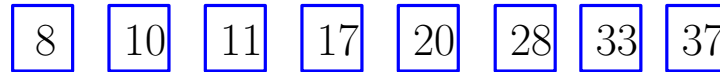
searching in sub-lists

$$A_2 \subset A_1$$

A_1



A_2

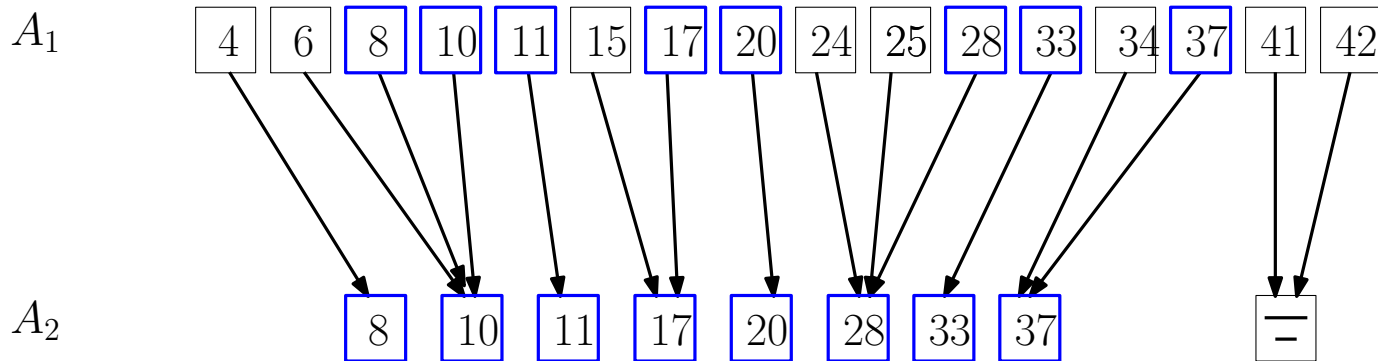


naive approach: $\log_2 |A_1| + \log_2 |A_2|$

Fractional Cascading

searching in sub-lists

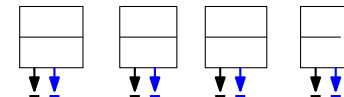
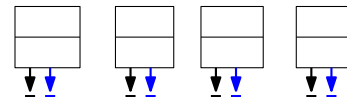
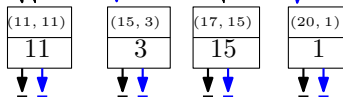
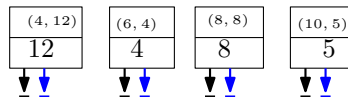
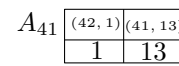
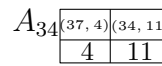
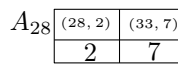
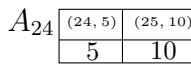
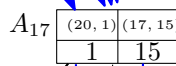
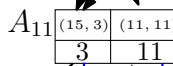
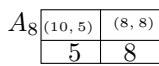
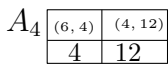
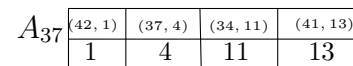
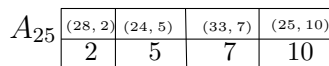
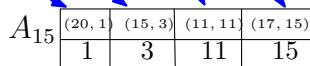
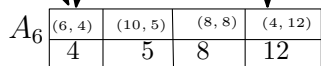
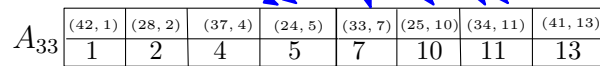
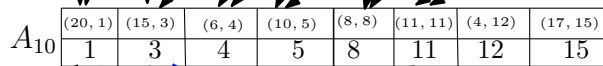
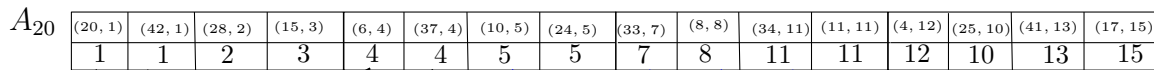
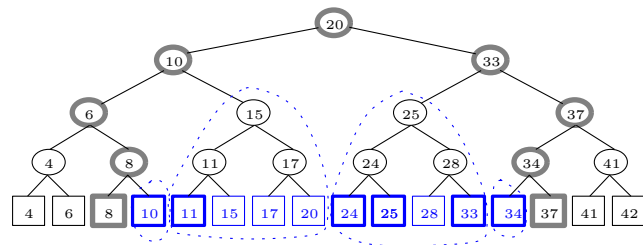
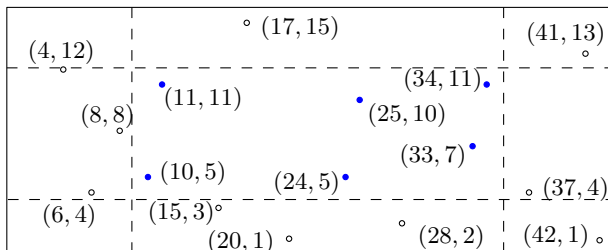
$$A_2 \subset A_1$$



better approach: $\log_2 |A_1| + k$

solution: stores a pointer, from $A_1[i]$ to $A_2[j]$ such that
 j is the smallest index for which $A_1[i] \leq A_2[j]$

Fractional Cascading



Nearest neighbors and image segmentation

Mean-Shift clustering et segmentations d'images (application des Kd-Trees, voir TD)



image originale (50700 pixels)

→
image segmentation

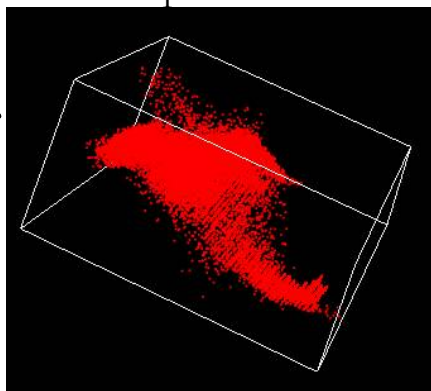


Mean-Shift clustering et segmentations d'images

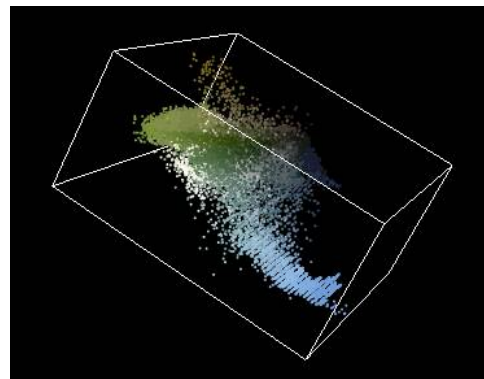
image originale (50700 pixels)



50700 points en 3D
espace Luv

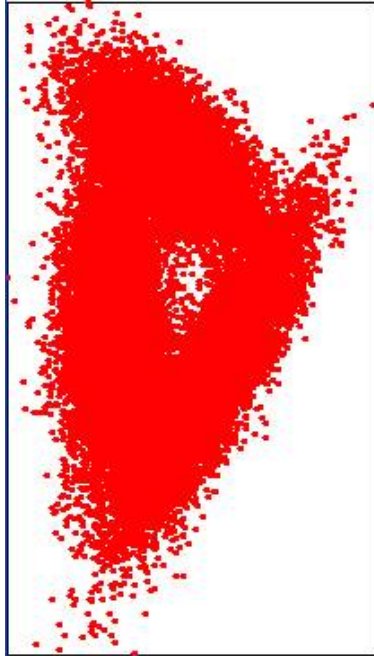


clustering



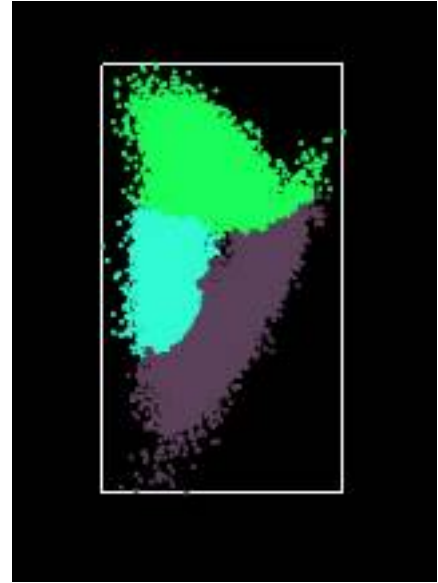
Clustering: en deux mots

n points (exemple en 2D)



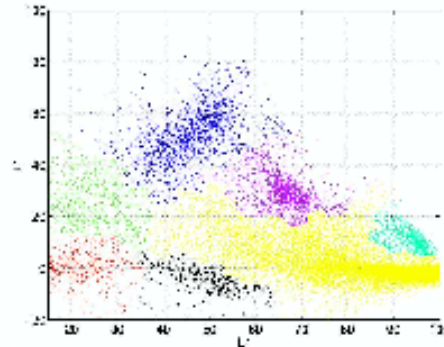
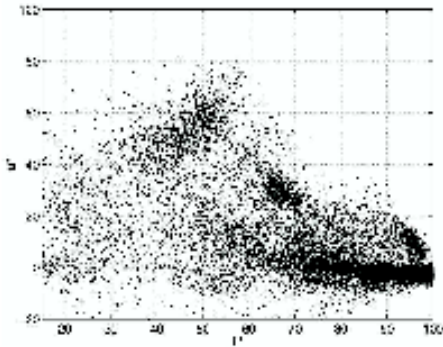
→
clustering

3 clusters

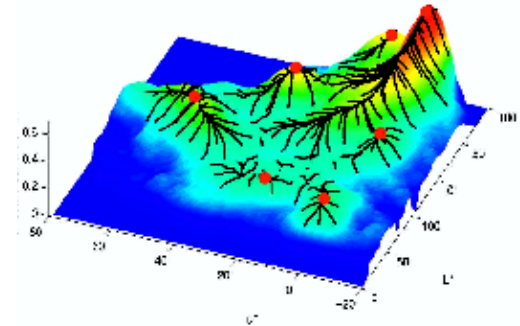


Mean-Shift clustering

n points



7 clusters



- Classification par les bassins d'attraction des maxima de l'estimateur de densité

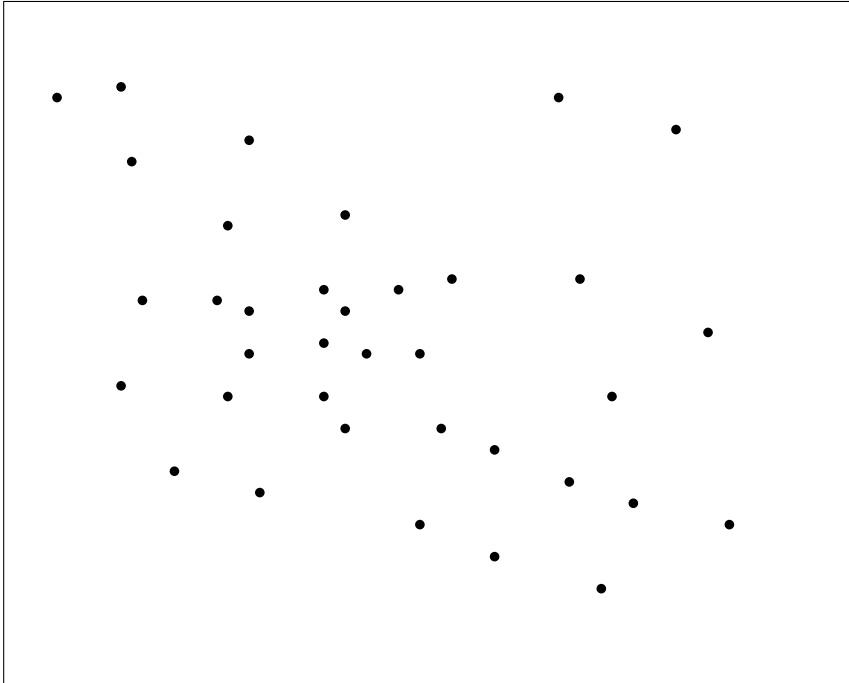
En pratique, on ne connaît pas la densité,
on l'estime par la méthode des noyaux

imaginons qu'on connaisse la fonction densité. Alors,...

- Maxima de l'estimateur = points fixes du mean shift

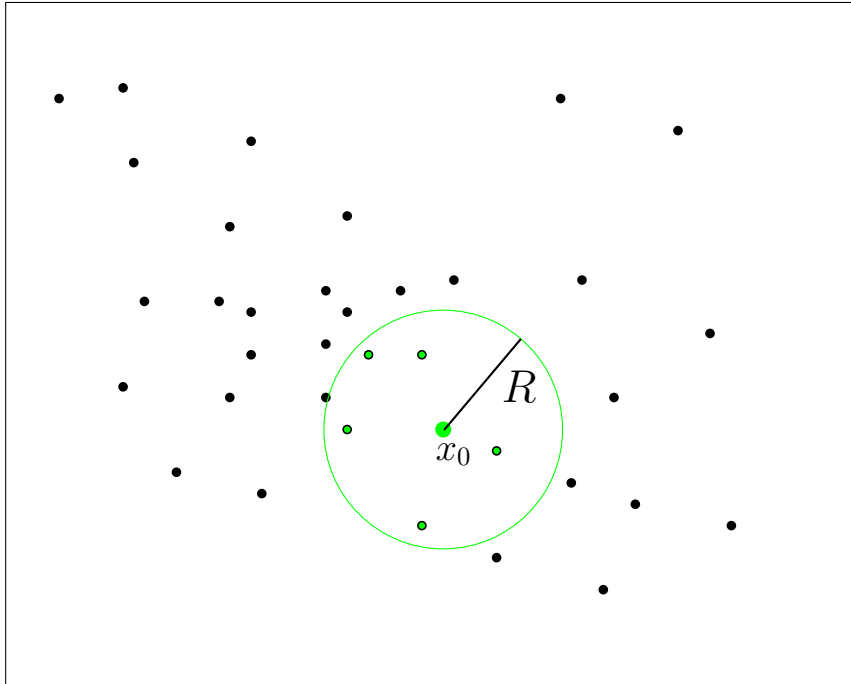
Mean-Shift clustering: detection d'un cluster

n points



Mean-Shift clustering: detection d'un cluster

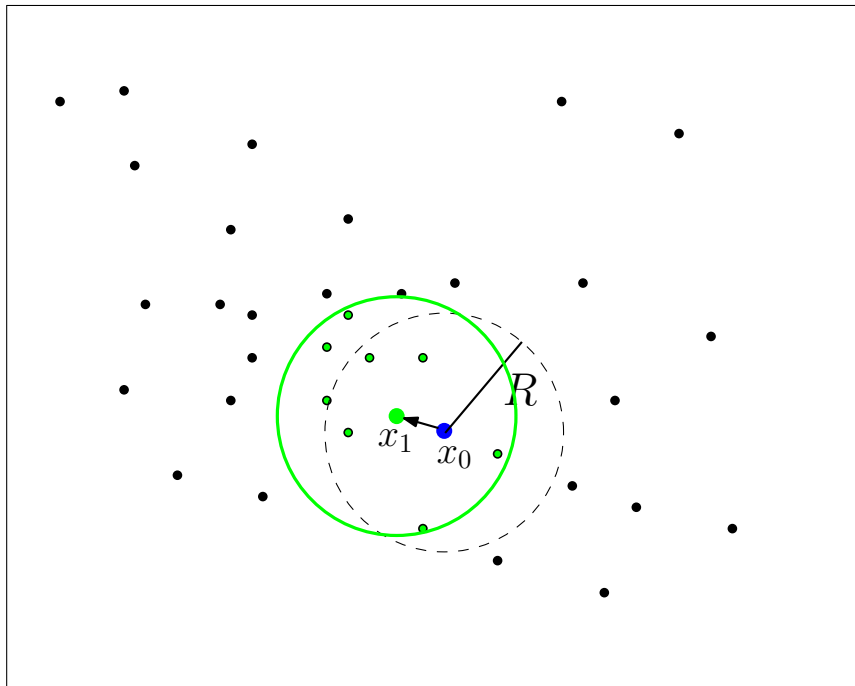
n points 1 seed



Mean-Shift clustering: detection d'un cluster

n points 1 seed R rayon de la fenetre

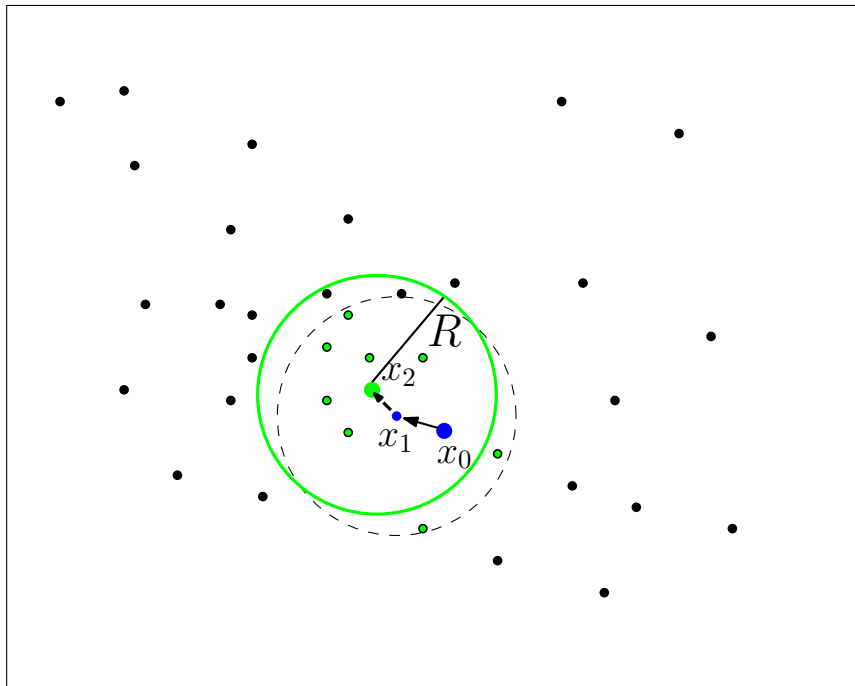
$$x_{i+1} := \text{mean}\{\text{neighbors}(x_i)\}$$



Mean-Shift clustering: detection d'un cluster

n points 1 seed R rayon de la fenetre

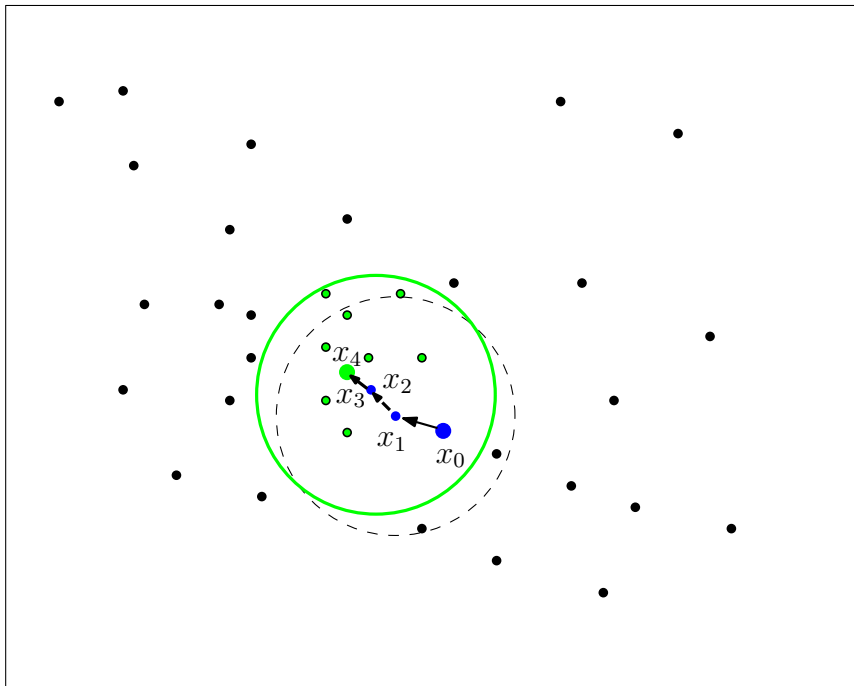
$$x_{i+1} := \text{mean}\{\text{neighbors}(x_i)\}$$



Mean-Shift clustering: detection d'un cluster

n points 1 seed R rayon de la fenetre

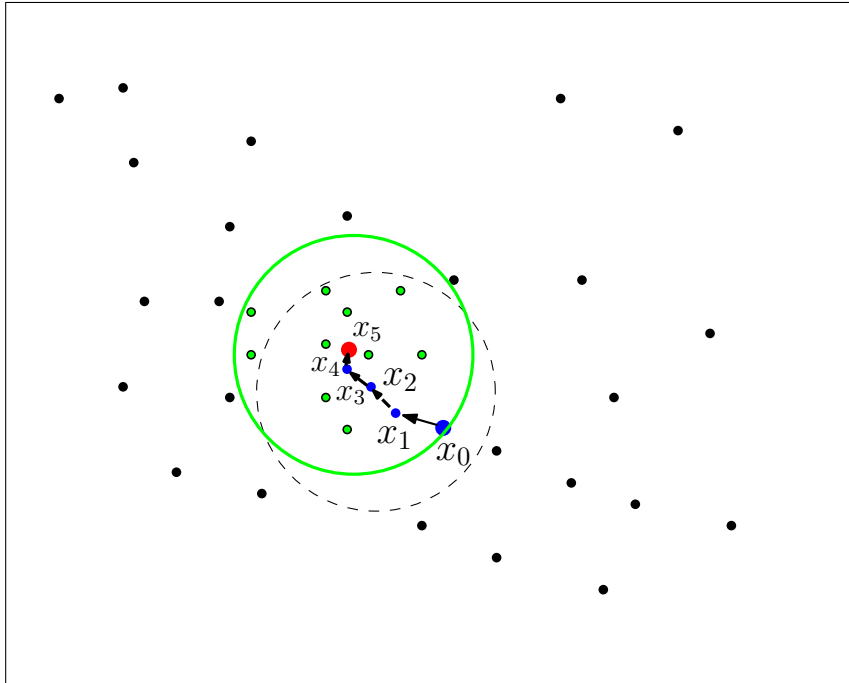
$$x_{i+1} := \text{mean}\{\text{neighbors}(x_i)\}$$



Mean-Shift clustering: detection d'un cluster

n points 1 seed R rayon de la fenetre

$$x_{i+1} := \text{mean}\{\text{neighbors}(x_i)\}$$



cluster detecté

on a convergence lorsque

$$d(x_{i+1}, x_i) \leq Rc$$

x_5 point stationnaire du Mean-Shift

C_5 cluster associé à x_5

$$C_5 = \{x_0\}$$

Mean-Shift clustering: detection d'un cluster

n points

1 seed

R rayon de la fenetre

R_i rayon d'influence

$$x_{i+1} := \text{mean}\{\text{neighbors}(x_i)\}$$

cluster detecté

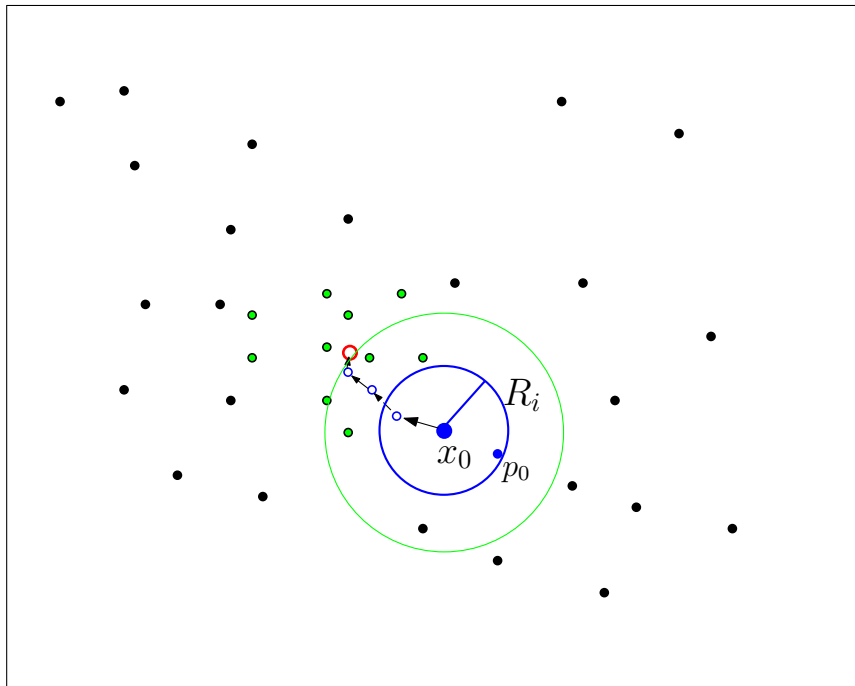
on a convergence lorsque

$$d(x_{i+1}, x_i) \leq Rc$$

x_5 point stationnaire du Mean-Shift

C_5 cluster associé à x_5

$$C_5 = \{x_0, p_0\}$$



Mean-Shift clustering: detection d'un cluster

n points

1 seed

R rayon de la fenetre

R_i rayon d'influence

$$x_{i+1} := \text{mean}\{\text{neighbors}(x_i)\}$$

cluster detecté

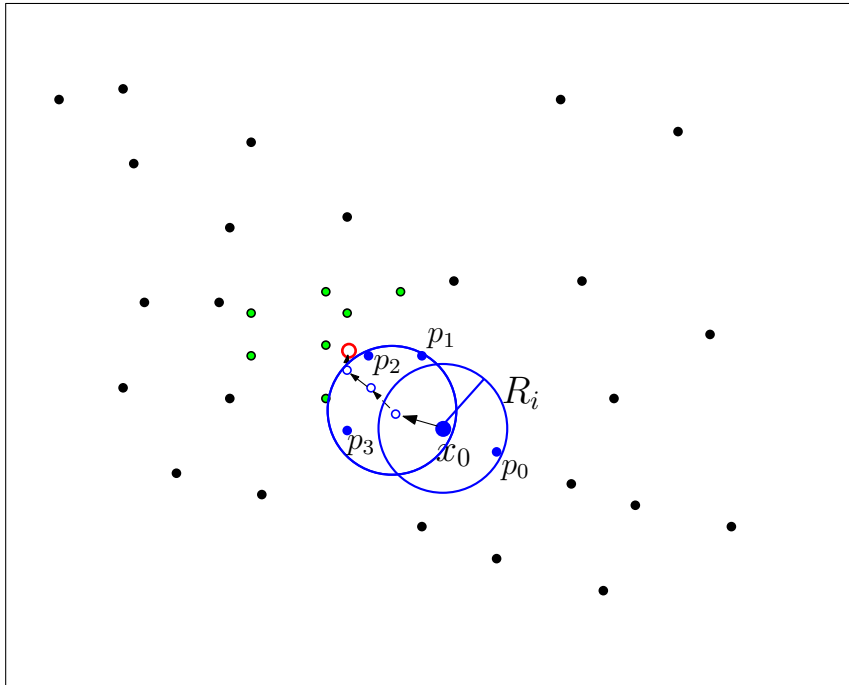
on a convergence lorsque

$$d(x_{i+1}, x_i) \leq Rc$$

x_5 point stationnaire du Mean-Shift

C_5 cluster associé à x_5

$$C_5 = \{x_0, p_0, p_1, p_2, p_3\}$$



Mean-Shift clustering: detection d'un cluster

n points

1 seed

R rayon de la fenetre

R_i rayon d'influence

$$x_{i+1} := \text{mean}\{\text{neighbors}(x_i)\}$$

cluster detecté

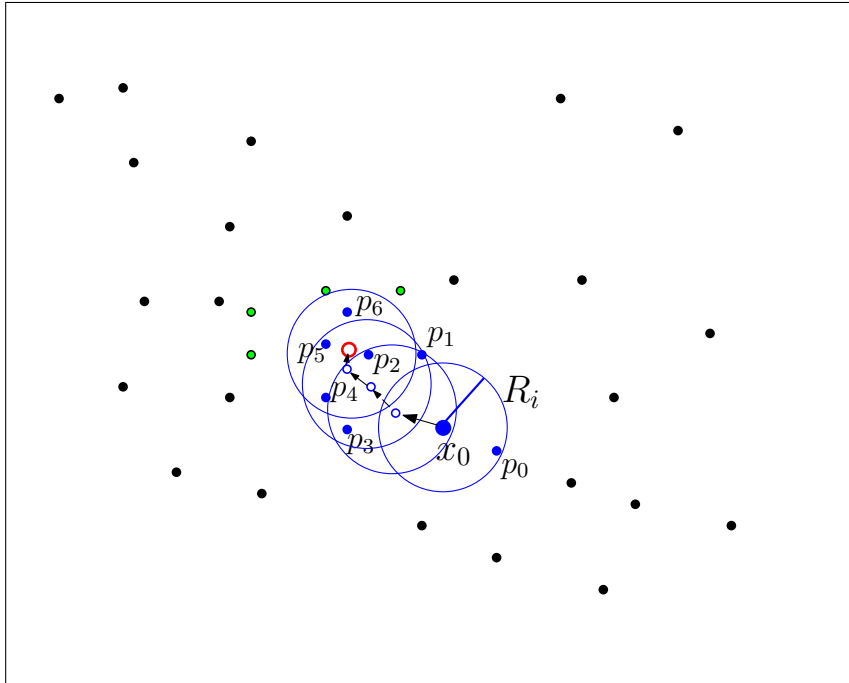
on a convergence lorsque

$$d(x_{i+1}, x_i) \leq Rc$$

x_5 point stationnaire du Mean-Shift

C_5 cluster associé à x_5

$$C_5 = \{x_0, p_0, p_1, p_2, p_3, p_4, p_5, p_6\}$$



Mean-Shift clustering: detection d'un cluster

n points

1 seed

R rayon de la fenetre

R_i rayon d'influence

$$x_{i+1} := \text{mean}\{\text{neighbors}(x_i)\}$$

cluster detecté

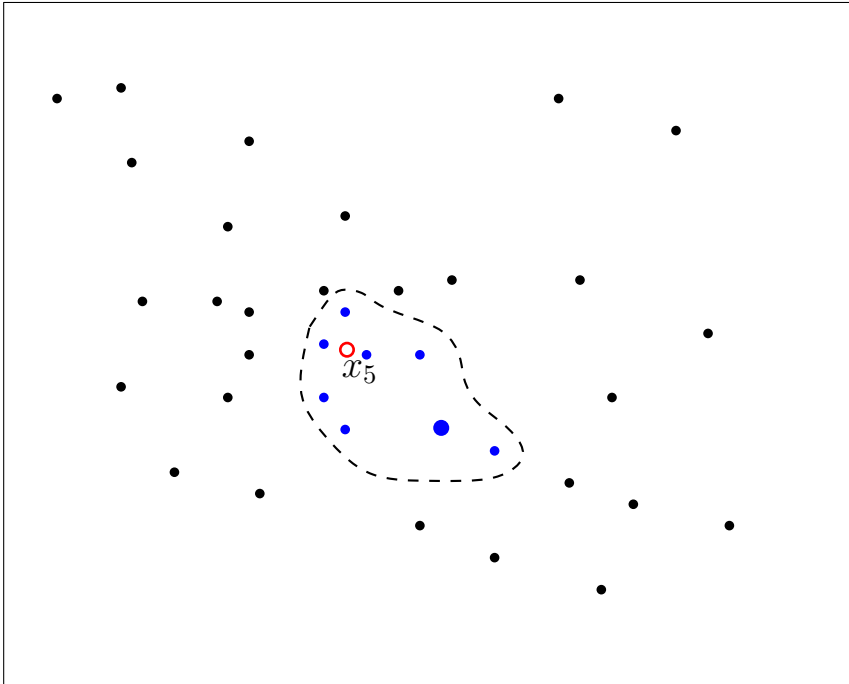
on a convergence lorsque

$$d(x_{i+1}, x_i) \leq Rc$$

x_5 point stationnaire du Mean-Shift

C_5 cluster associé à x_5

$$C_5 = \{x_0, p_0, p_1, p_2, p_3, p_4, p_5, p_6\}$$



Mean-Shift clustering: detection d'un cluster

n points

1 seed

R rayon de la fenetre

R_i rayon d'influence

$$x_{i+1} := \text{mean}\{\text{neighbors}(x_i)\}$$

cluster detecté

on a convergence lorsque

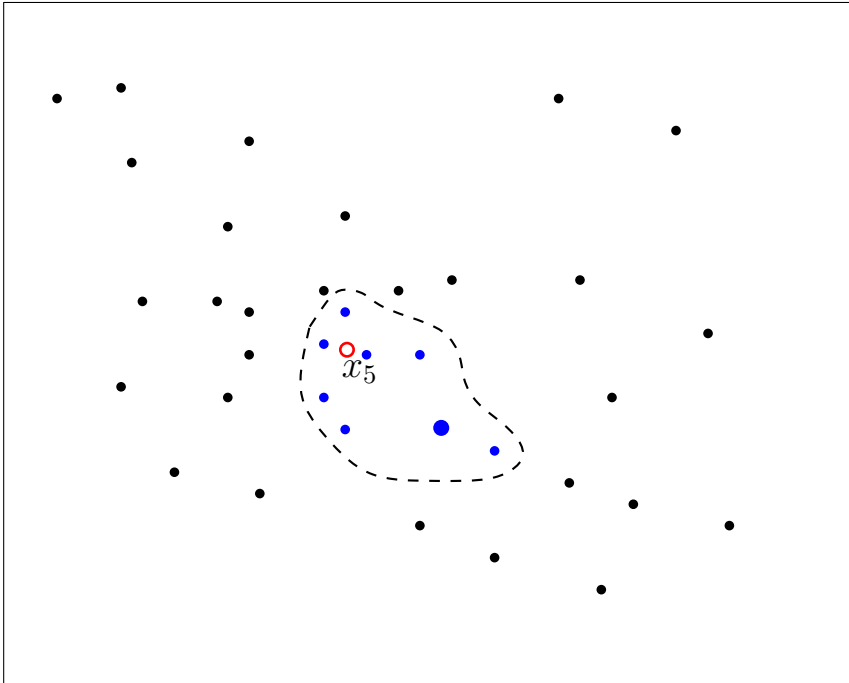
$$d(x_{i+1}, x_i) \leq Rc$$

x_5 point stationnaire du Mean-Shift

C_5 cluster associé à x_5

cluster center

$$C_5 = \{x_0, p_0, p_1, p_2, p_3, p_4, p_5, p_6\}$$



Mean-Shift clustering: detection d'un cluster

n points

1 seed

R rayon de la fenetre

R_i rayon d'influence

$$x_{i+1} := \text{mean}\{\text{neighbors}(x_i)\}$$

cluster detecté

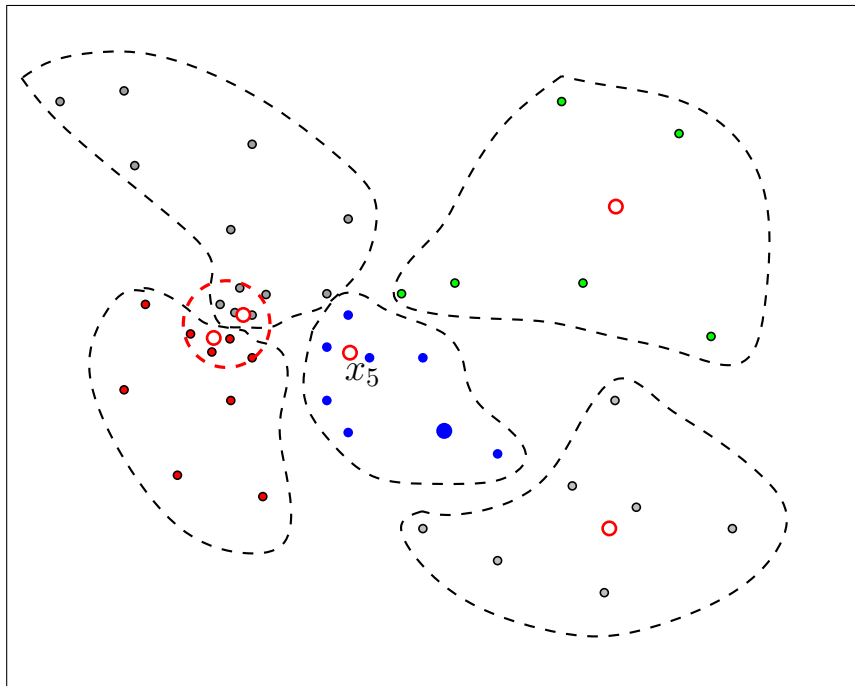
on a convergence lorsque

$$d(x_{i+1}, x_i) \leq Rc$$

x_5 point stationnaire du Mean-Shift

C_5 cluster associé à x_5

cluster center



$$C_5 = \{x_0, p_0, p_1, p_2, p_3, p_4, p_5, p_6\}$$

$$C_{10} = \{p_7, p_8, \dots\}$$

$$C_{\dots} = \{\dots\}$$

Mean-Shift clustering: detection d'un cluster

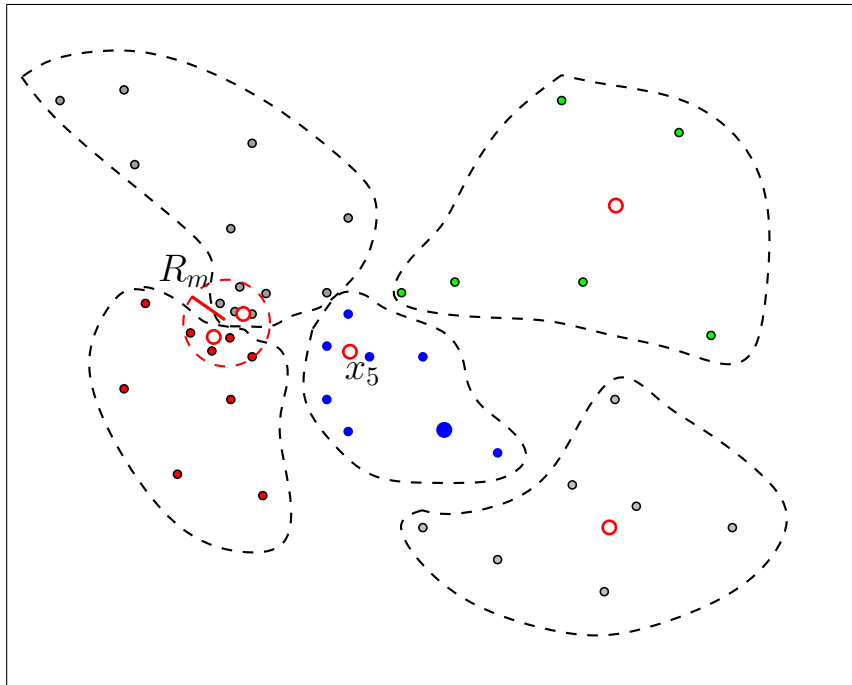
n points

1 seed

R rayon de la fenetre

R_i rayon d'influence

R_m rayon de fusion



fusion de clusters (proches)

x_p, x_q points stationnaires du Mean-Shift

x_p, x_q cluster centers

$$d(x_p, x_q) \leq R_m$$



fusionner C_p et C_q

Mean-Shift clustering: detection d'un cluster

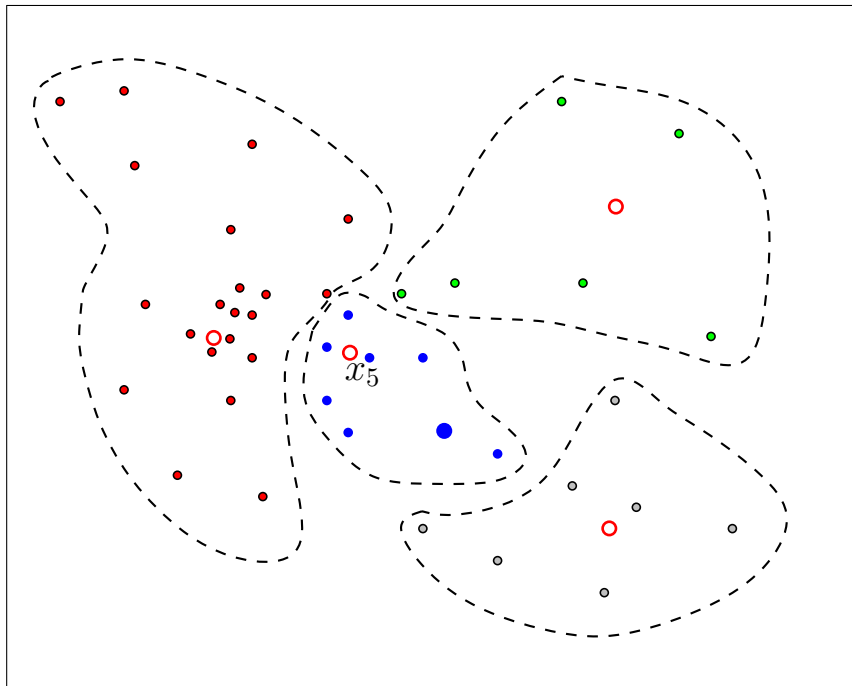
n points

1 seed

R rayon de la fenetre

R_i rayon d'influence

R_m rayon de fusion



fusion de clusters (proches)

x_p, x_q points stationnaires du Mean-Shift

x_p, x_q cluster centers

$$d(x_p, x_q) \leq R_m$$



fusionner C_p et C_q